

*Geometry & Topology Monographs*  
 Volume 1: The Epstein Birthday Schrift  
 Pages 181{248

## Simplicite de groupes d'automorphismes d'espaces a courbure negative

Frederic Haglund  
 Frederic Paulin

**Abstract** We prove that numerous negatively curved simply connected locally compact polyhedral complexes, admitting a discrete cocompact group of automorphisms, have automorphism groups which are locally compact, uncountable, non linear and virtually **simple**. Examples include hyperbolic buildings, Cayley graphs of word hyperbolic Coxeter systems, and generalizations of cubical complexes, that we call *even* polyhedral complexes. We use tools introduced by Tits in the case of automorphism groups of trees, and Davis{Moussong's geometric realisation of Coxeter systems.

**Resume** Nous montrons que de nombreux complexes polyedraux simplement connexes, localement compacts, a courbure negative, admettant un groupe discret cocompact d'automorphismes, ont leur groupe d'automorphismes localement compact, non denombrable, non lineaire et virtuellement **simple**. Parmi les exemples, certains sont des immeubles hyperboliques, des graphes de Cayley de systemes de Coxeter hyperboliques au sens de Gromov, et des generalisations de complexes cubiques, que nous appelons des complexes polyedraux *pairs*. Nous utilisons des outils dus a Tits dans le cas des groupes d'automorphismes d'arbres, et la realisation geometrique de Davis{Moussong des systemes de Coxeter.

**AMS Classification** 20E32, 51E24, 20F55; 20B27, 51M20

**Keywords** Simple group, polyhedral complex, even polyhedron, word hyperbolic group, hyperbolic building, Coxeter group

### 1 Introduction

J. Tits a demontre dans [31] que le groupe des automorphismes (sans inversion) d'un arbre (different de la droite) homogene ou semi-homogene localement fini, est localement compact, non denombrable et simple. Le but de cet article est de demontrer la simplicite de groupes d'automorphismes de nombreux complexes

polyedraux localement finis, ayant des propriétés de courbure négative, comme par exemple des immeubles hyperboliques ou des complexes cubiques.

Un *immeuble hyperbolique* (voir [19]) est un immeuble de type un système de Coxeter  $(W(P); S(P))$  de la forme suivante. Soit  $P$  un polyèdre (compact convexe, pas forcément un simplexe) de l'espace hyperbolique réel  $\mathbb{H}^n$  de dimension  $n$ , avec  $P$  de Coxeter (i.e. ses angles dièdres sont de la forme  $\frac{\pi}{k}$  avec  $k$  un entier au moins 2). Alors  $S(P)$  est l'ensemble des réflexions (orthogonales) sur les faces de codimension 1 de  $P$ , et  $W(P)$  le groupe d'isométries de  $\mathbb{H}^n$  engendré par  $S(P)$ .

Un premier exemple est l'immeuble de Bourdon  $I_{p,q}$  avec  $p \geq 5; q \geq 3$ , qui est l'unique complexe polyédral de dimension 2, dont les polygones sont des copies du  $p$ -gone hyperbolique régulier à angles droits  $P_p$ , et le link de chaque sommet est isomorphe au graphe biparti complet à  $q + q$  sommets (voir [7]). Il existe une numérotation des arêtes de  $I_{p,q}$  (unique une fois numérotées les arêtes d'un polygone fixe) par  $l = f_1; \dots; p, q$  de sorte que le long du bord de chaque polygone les arêtes apparaissent avec l'ordre cyclique ou l'ordre inverse. L'ensemble des polygones de  $I_{p,q}$  est alors un système de chambres sur  $l$ , deux chambres étant  $i$ -adjacentes si et seulement si les polygones correspondants se rencontrent le long d'une arête numérotée  $i$ . Il est facile (voir [19]) de montrer que  $I_{p,q}$  est un immeuble de type  $(W(P_p); S(P_p))$ .

**Theoreme 1.1** *Le groupe des automorphismes preservant le type de l'immeuble de Bourdon  $I_{p,q}$  est un groupe localement compact, non dénombrable, non linéaire au moins si  $p$  est multiple de 4, et simple.*

Dans [23] sont construits de nombreux autres exemples. Soit  $L$  un  $m$ -gone généralisé fini épais classique (i.e. un graphe biparti complet à  $p + q$  sommets avec  $p; q \geq 3$  si  $m = 2$ , ou si  $m \geq 3$ , l'immeuble sphérique de rang 2 d'un groupe de Chevalley fini  $\underline{G}(\mathbb{F}_q)$ , avec  $\underline{G}$  un groupe algébrique simple, de groupe de Weyl le groupe diédral  $D_{2m}$  d'ordre  $2m$ ). Par exemple,  $L$  peut être l'immeuble des drapeaux du plan projectif sur le corps fini  $\mathbb{F}_q$ , avec  $m = 3$ . Soit  $k$  un entier pair au moins 6. Alors dans [23] est construit un 2-complexe polyédral  $A_{k;L}$ , dont les polygones sont des copies du  $k$ -gone hyperbolique  $P_{k;m}$  régulier à angles  $\frac{\pi}{m}$ , et le link de chaque sommet est isomorphe au graphe biparti  $L$ . L'ensemble de ses polygones possède aussi une structure naturelle d'immeuble de type  $(W(P_{k;m}); S(P_{k;m}))$  (voir [19]).

**Theoreme 1.2** *Le groupe des automorphismes de l'immeuble hyperbolique  $A_{k;L}$  est un groupe localement compact, non dénombrable, non linéaire au moins si  $k$  est multiple de 4, et virtuellement simple.*

En fait,  $A_{k;L}$  est la réalisation géométrique au sens de Davis-Moussong (voir [25]) du système de Coxeter  $(W; L)$ , dont la matrice de Coxeter est la matrice d'adjacence du graphe  $L$ , où les 1 et 0 ont été remplacés par des  $\frac{k}{2}$  et 1 respectivement. Le 1-squelette de la réalisation géométrique de Davis-Moussong d'un système de Coxeter  $(W; S)$  s'identifie au graphe de Cayley de  $(W; S)$ , et nous montrons que tout automorphisme du 1-squelette s'étend à cette réalisation géométrique (voir section 5.1). Appelons *mur* du graphe de Cayley l'ensemble des points fixes d'un conjugué d'un élément de  $S$ . Un mur est *propre* si aucune des deux composantes du complémentaire du mur ne reste à distance bornée du mur. Un automorphisme du graphe de Cayley échange strictement un mur s'il fixe le mur et n'échange pas les deux composantes de son complémentaire.

Un système de Coxeter est dit *rigide* s'il n'existe pas d'automorphisme non trivial de son diagramme qui échange les arêtes de poids fini issues d'un de ses sommets. Généralisant [23], nous montrons que le groupe des automorphismes (de graphe) du graphe de Cayley de  $(W; S)$  est non dénombrable si et seulement si  $(W; S)$  est non rigide, et nous le calculons exactement dans le cas rigide (voir théorème 5.12).

**Theorème 1.3** *Si  $(W; S)$  est un système de Coxeter, avec  $W$  ne contenant pas de sous-groupe isomorphe à  $\mathbb{Z} + \mathbb{Z}$ , alors le quotient, par son sous-groupe distingué des éléments fixant l'infini, du sous-groupe  $G^+$  des automorphismes du graphe de Cayley de  $(W; S)$  engendré par les rotateurs stricts de murs propres, est simple. Il est non trivial, donc non dénombrable, si et seulement si  $(W; S)$  n'est pas rigide.*

Un *complexe cubique* de dimension  $n$  est un complexe polyédral  $P$ , dont les polyèdres sont des cubes euclidiens  $[-\frac{1}{2}; \frac{1}{2}]^k$ , tout cube de  $P$  étant contenu dans un cube de dimension (maximale)  $n$ . Il est dit *CAT(0)* s'il est simplement connexe, et si pour tout cube  $c$  de  $P$ , le link  $lk(c)$  de  $c$  vérifie la condition suivante: tout cycle d'arêtes dans  $lk(c)$  est de longueur au moins 3, et si de longueur 3, borde un simplexe de  $lk(c)$ . Pour toute arête  $a$  de  $P$ , il existe un unique sous-complexe (de la subdivision barycentrique) de  $P$ , appelé *mur* ("geometric hyperplane" par M. Sageev [28]), rencontrant  $a$  en son milieu, et dont toute intersection non triviale avec un cube de dimension  $n$  de  $P$  est un hyperplan  $[-\frac{1}{2}; \frac{1}{2}]^k \cap \text{mur} = [-\frac{1}{2}; \frac{1}{2}]^{n-k-1}$  de ce cube. Par exemple, si  $n = 1$ , alors  $P$  est un arbre, et un mur est le milieu d'une arête.

Nous introduisons une notion de *polyèdre pair* (section 4.1) et donc de *complexe polyédral pair* (i.e. dont tous les polyèdres sont pairs), généralisant strictement celle de cube et complexe cubique, avec ses murs. Un polyèdre d'un espace

a courbure constante est pair s'il est symétrique par rapport à l'hyperplan médiateur de chacune de ses arêtes, et si un tel hyperplan ne passe pas par un de ses sommets. Nous donnons en section 4.1 la construction explicite de tous les polyèdres pairs euclidiens ou hyperboliques, à partir des systèmes de Coxeter  $n$ -nis, ainsi que la liste complète des polyèdres hyperboliques pairs de dimension 2 et 3 qui sont eux-mêmes des polyèdres de Coxeter. M. Davis nous a signalé que nos polyèdres pairs sont, du point de vue combinatoire, exactement les *zonotopes de Coxeter* (aussi appelés "Coxeter cell" dans [16]), i.e. les polyèdres duaux de l'arrangement d'hyperplans formé par les hyperplans  $n$ -xes des conjugués des réflexions d'un système de Coxeter  $n$ -ni. Nos complexes polyédraux pairs sont donc, du point de vue combinatoire, des cas particuliers de "zonotopal cell complex" au sens de [17]. Notons qu'il existe des polyèdres pairs non isométriques ayant même combinatoire.

**Theoreme 1.4** *Soit  $P$  un complexe polyédral pair (par exemple cubique), localement  $n$ -ni,  $\text{CAT}(0)$ , admettant un groupe discret cocompact d'automorphismes qui est hyperbolique au sens de Gromov. Alors le groupe d'automorphismes  $G^+$  de  $P$  engendré par les  $n$ -xateurs stricts de murs propres est presque simple (au sens que tout éventuel sous-groupe distingué propre est relativement compact). Si  $P$  est  $\text{CAT}(-1)$  et tout point de  $P$  appartient à une droite géodésique, alors  $G^+$  est simple, et non dénombrable si non trivial.*

Bien sûr,  $G^+$  peut être trivial. Pour tout type de polyèdre euclidien pair possible, nous construisons (section 5.4) un complexe polyédral pair  $\text{CAT}(-1)$ , dont les cellules maximales sont de ce type, et dont le groupe  $G^+$  est non dénombrable. Un arbre homogène ou semi-homogène localement  $n$ -ni admet un groupe discret cocompact d'automorphismes qui est libre, donc hyperbolique au sens de Gromov (voir section 2 pour des rappels sur cette notion.) Nous retrouvons ainsi le résultat de J.Tits. La condition de localité n'est pas vraiment nécessaire (voir section 7). La condition d'hyperbolicité n'est sans doute pas optimale. Mais comme le montre le cas du produit de deux arbres homogènes, il faut une hypothèse d'irréductibilité sur  $P$ . Nous renvoyons à [11] pour un critère ingénieux de simplicité sur les groupes discrets d'automorphismes du produit de deux arbres.

Une généralisation immédiate du théorème B de Niblo-Reeves [26] est la suivante.

**Theoreme 1.5** *Soit  $P$  un complexe polyédral pair  $\text{CAT}(0)$  de dimension  $n$ . Toute action polyédrale sur  $P$  d'un groupe ayant la propriété (T) de Kazhdan a un point fixe global.*

Pour generaliser la situation des exemples ci-dessus, nous introduisons (section 3) une notion abstraite d'ensemble discret  $X$  muni d'un systeme de murs, modelisant les proprietes de l'ensemble des sommets d'un complexe polyedral cubique (ou pair)  $CAT(0)$  et de la famille de ses hyperplans mediateurs des arêtes, ou d'un groupe de Coxeter  $W$  muni de sa famille de murs (voir [27, page 14]). Dans les sections 4.2 a 4.4, nous etudions l'espace a murs canoniquement associe a un complexe polyedral pair.

Sous des hypotheses d'hyperbolicite au sens de Gromov (voir section 2.2 pour les proprietes que nous utiliserons) du graphe d'incidence de cette famille de murs, nous montrons (section 6) un theoreme de simplicité sur des groupes de bijections de  $X$  preservant le systeme de murs, verifiant une condition (P) analogue a celle introduite par J. Tits [31] dans le cas des arbres. Le lemme clef 6.4 sur les commutateurs est analogue au lemme 4.3 de [31]. En fin, en section 7, nous appliquons ce theoreme de simplicité a nos exemples.

Nous remercions F. Choucroun, pour son expose sur l'article de J. Tits, qui a servi de point de depart a ce travail, ainsi que S. Mozes et M. Davis.

## 2 Rappels sur les espaces metriques hyperboliques

Nous renvoyons a [21, 20] pour les definitions, references, historiques et preuves des proprietes rappelees ci-dessous des espaces metriques hyperboliques au sens de Gromov, a [9, 6] pour celles des espaces metriques  $CAT(\kappa)$  au sens d'Alexandrov {Topogonov et a [8] pour celles des complexes polyedraux. Le lecteur connaisseur peut se ramener directement a la proposition 2.1.

### 2.1 Definitions diverses

Une *geodesique* d'un espace metrique  $X$  est une isometrie d'un intervalle  $I$  de  $\mathbb{R}$  dans  $X$ . On parle de *segment*, *rayon* ou *droite geodesique* si  $I$  est de la forme  $[a; b]$ ;  $[a; +\infty[$  ou  $\mathbb{R}$ . Un espace metrique est *geodesique* si par deux de ses points passe un segment geodesique.

Un espace geodesique est *hyperbolique* (au sens de Gromov) s'il existe une constante  $\delta > 0$  (dite *constante d'hyperbolicite*) telle que tout point de tout cote de tout triangle geodesique est a distance au plus  $\delta$  d'un point de l'un des deux autres cotes. Un groupe de type fini  $G$ , muni d'une partie generatrice  $S$ , est *hyperbolique* (au sens de Gromov) si le graphe de Cayley de  $G$  pour  $S$ ,

muni de sa métrique naturelle, est hyperbolique. Une application  $f: X \rightarrow Y$  entre deux espaces métriques est une *quasi-isométrie* s'il existe des constantes  $1; c; c^0 > 0$  telles que pour tous  $x; y$  dans  $X$  et  $z$  dans  $Y$ :

$$\frac{1}{c^0} d(x; y) - c \leq d(f(x); f(y)) \leq c d(x; y) + c \text{ et } d(z; f(X)) \leq c^0.$$

Un espace géodésique quasi-isométrique à un espace hyperbolique est encore hyperbolique, donc l'hyperbolicité d'un groupe ne dépend pas de la partie génératrice choisie.

Deux rayons géodésiques sont *asymptotes* si leur distance de Hausdorff est bornée. Ceci définit une relation d'équivalence sur l'ensemble des rayons géodésiques dans  $X$ . L'ensemble des classes d'équivalence est appelé le *bord* (ou espace à l'infini) de  $X$ , et noté  $\partial X$ . Il existe une topologie naturelle sur  $\overline{X} = X \cup \partial X$ , métrisable compacte lorsque  $X$  est hyperbolique, localement compact, complet. Toute quasi-isométrie entre deux espaces hyperboliques s'étend continûment en un homéomorphisme de  $\partial X$  sur  $\partial Y$ .

Soit  $X$  un espace géodésique et  $\kappa \in \mathbb{R}$ . Soit  $\mathbb{X}^2$  le plan riemannien complet simplement connexe à courbure constante  $\kappa$  ( $\mathbb{X}^2$  est le plan hyperbolique, le plan euclidien, la sphère de dimension 2 si  $\kappa = -1; 0; 1$ ). Soit  $\triangle = [xy] \cup [yz] \cup [zx]$  un triangle géodésique dans  $X$ . Soit  $\overline{\triangle} = [\overline{xy}] \cup [\overline{yz}] \cup [\overline{zx}]$  un triangle géodésique dans  $\mathbb{X}^2$  ayant mêmes longueurs des côtés que  $\triangle$ . Si  $s \in \overline{\triangle}$ , le point sur le côté correspondant de  $\overline{\triangle}$ , à la même distance des extrémités que  $s$ , est noté  $\overline{s}$ . Un triangle géodésique  $\triangle$  dans  $X$  est  $\text{CAT}(\kappa)$  s'il est plus "pinçé" que le triangle correspondant de l'espace modèle, i.e. si, pour tous points  $s; t \in \triangle$ , on a

$$d_X(s; t) \leq d_{\mathbb{X}^2}(\overline{s}; \overline{t}).$$

Un espace géodésique est  $\text{CAT}(\kappa)$  si tout triangle géodésique de  $X$  est  $\text{CAT}(\kappa)$ . Si  $\kappa < 0$ , un espace  $\text{CAT}(\kappa)$  est hyperbolique au sens de Gromov.

Un *complexe polyédral*  $P$  est un complexe cellulaire (voir par exemple [30]) dont les cellules sont des polyèdres (compacts convexes) d'un espace à courbure constante, et dont les applications d'attachements sont cellulaires et localement isométriques sur chaque cellule ouverte. Un *complexe polygonal* est un complexe polyédral de dimension 2. Un complexe polyédral, dont les polyèdres sont des simplexes ne se rencontrant qu'au plus en une face, est précisément (la réalisation géométrique d') un complexe simplicial.

Un *automorphisme* de complexe polyédral de  $P$  est un automorphisme du complexe cellulaire  $P$ . Nous identifions deux automorphismes qui envoient chaque cellule ouverte sur une même cellule ouverte. Un automorphisme est

dit *isométrique* (ou une *isométrie polyédrale*) si sa restriction à chaque polyèdre est isométrique. Par exemple, si  $P$  est un rectangle euclidien non carré, alors  $P$  admet 4 isométries polyédrales, et 8 automorphismes. Si  $P$  est muni de la topologie faible usuelle, le groupe des automorphismes de  $P$  sera muni de la topologie compacte-ouverte. Si  $P$  est localement fini, alors  $\text{Aut } G$  est localement compact, et le stabilisateur de tout polyèdre de  $P$  est un groupe compact profini.

Si  $P$  n'a qu'un nombre fini de classe d'isométrie de polyèdres, alors (voir [8]) il existe une métrique  $d$  (naturelle pour les automorphismes de  $P$ ) géodésique et complète, ainsi de suite. Une *géodésique brisée* de  $P$  est une courbe qui, par morceaux, est contenue et géodésique dans un polyèdre de  $P$ . Sa longueur  $l(\gamma)$  est la somme des longueurs des morceaux géodésiques précédents. Alors  $d(x; y)$  est la borne inférieure des longueurs des géodésiques brisées entre  $x$  et  $y$ .

Sauf mention explicite du contraire, tout complexe polyédral sera muni de cette distance. Toute isométrie polyédrale est une isométrie pour cette distance. La topologie faible et la topologie induite par cette distance coïncident si et seulement si  $P$  est localement fini. Voir [21] pour l'équivalence, dans le cas des complexes cubiques, entre la définition ci-dessus de  $\text{CAT}(0)$  et celle donnée en introduction.

Si  $C$  est un complexe polyédral n'ayant qu'un nombre fini de types d'isométrie de cellules, et  $x \in C$ , nous noterons  $lk(x; C)$  l'espace des germes de segments géodésiques issus de  $x$ . Il possède une structure naturelle de complexe polyédral, dont les cellules sont des polyèdres sphériques.

Un *graphe* est un 1-complexe simplicial connexe. En identifiant chaque arête à  $[-\frac{1}{2}; \frac{1}{2}]$ , on obtient un complexe polyédral. Sa métrique est l'unique métrique géodésique rendant chaque arête isométrique à  $[0; 1]$ . Un *arbre* est un graphe simplement connexe. Un arbre est  $\text{CAT}(-1)$ , i.e.  $\text{CAT}(\epsilon)$  pour tout  $\epsilon \in \mathbb{R}$ .

## 2.2 Groupes d'isométries non élémentaires

Soit  $Y$  un espace métrique complet, géodésique et hyperbolique, tel que par deux points de  $Y$  passe un segment, rayon ou droite géodésique (cette dernière condition est toujours remplie si  $Y$  est localement compact). On note  $@^2 Y$  l'espace des couples de points distincts de  $@Y$ . On note  $\overline{Z}$  l'adhérence dans  $Y$  d'une partie  $Z$  de  $Y$ , et  $@Z = \overline{Z} \setminus @Y$ .

Une isométrie  $g$  de  $Y$  est dite *hyperbolique* si pour un (donc pour tout) point  $x$  dans  $Y$ , l'application de  $\mathbb{Z}$  dans  $Y$  qui à  $k$  associe  $g^k x$  est une quasi-isométrie

sur son image. En particulier,  $g$  admet alors exactement deux points fixes dans  $@Y$ .

Soit  $G$  un sous-groupe du groupe des isométries de  $Y$  (n'agissant peut-être pas proprement discontinûment). Définissons l'ensemble limite  $l(G)$  de  $G$  comme l'adhérence dans  $@Y$  de l'ensemble des points fixes dans  $@Y$  des éléments hyperboliques de  $G$ . Le groupe  $G$  est dit *non élémentaire* si son ensemble limite contient au moins trois points et ne contient pas de point fixe global (cette dernière condition est toujours remplie si  $Y$  est localement compact et  $G$  discret). Si  $G$  est non élémentaire,  $l(G)$  est non dénombrable et sans point isolé; c'est l'ensemble d'accumulation dans  $@Y$  de l'orbite par  $G$  de tout point de  $Y$ ; c'est le plus petit fermé non vide invariant par  $G$  dans  $@X$ ; l'orbite par  $G$  de tout point de  $l(G)$  est dense dans  $l(G)$ . On note  $^2G$  l'ensemble des couples de points distincts de  $l(G)$ .

**Remarque** Par exemple, si  $Y$  est localement compact, si  $G$  contient un sous-groupe agissant proprement discontinûment avec quotient compact sur  $Y$ , alors  $G$  est non élémentaire et  $l(G) = @Y$ .

**Proposition 2.1** *Si  $G$  est non élémentaire, alors l'ensemble des couples de points fixes des éléments hyperboliques de  $G$  est dense dans  $^2G$ .*

*Soit  $H$  un sous-groupe distingué non trivial de  $G$ . Si  $G$  est non élémentaire, alors ou bien  $H$  est contenu dans le noyau de l'action de  $G$  sur  $l(G)$ , ou bien  $H$  est non élémentaire, d'ensemble limite égal à celui de  $G$ .*

**Preuve** La première assertion est due à [21, Corollaire 8.2.G].

Pour la seconde assertion, supposons que  $h \in H$  n'agisse pas trivialement sur l'ensemble limite de  $G$ . Montrons tout d'abord que  $H$  contient au moins un élément hyperbolique.

Soit  $a \in l(G)$  tel que  $ha \notin a$ . Par invariance,  $ha$  est dans  $l(G)$ . Soit  $\epsilon$  une constante d'hyperbolicité de  $X$ . Soit  $U$  un voisinage ouvert suffisamment petit de  $a$  dans  $Y$  [ $@Y$ ], de sorte que  $U$  et  $hU$  soient disjoints, et séparés d'une distance grande devant  $\epsilon$ . Soit  $g$  un élément hyperbolique de  $G$ , dont les points fixes repulsif  $g^- \in l(G)$  et attractifs  $g^+ \in l(G)$  sont dans  $U$  et  $hU$  respectivement. Soit  $\gamma$  une géodésique entre  $g^-$  et  $g^+$ . Soit  $y$  un point de  $\gamma \setminus U$ . En particulier,  $hy$  appartient à  $hU$ .

Si  $n$  est assez grand, alors  $g^n y$  est proche de  $g^+$ , donc appartient à  $hU$ . Donc  $h^{-1}g^n y$  appartient à  $U$ , et si  $n$  est assez grand,  $g^{-n}h^{-1}g^n y$  est beaucoup plus



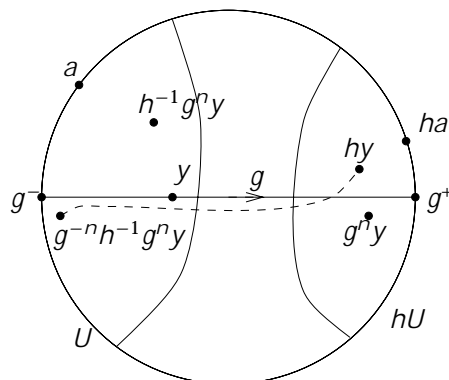


Figure 1: Construction d'un element hyperbolique dans  $H$

proche de  $g^-$  que  $y$ . Donc il existe une constante  $K$  (ne dependant que de  $g$ ) telle que  $y$  est a distance au plus  $K$  d'un segment geodesique entre  $g^-n h^-1 g^n y$  et  $hy$ . Quitte a avoir pris  $U$  suffisamment petit, on a

$$\inf d(y; hy); d(y; g^-n h^-1 g^n y) > 2K + 1000 :$$

Par [21, Lemma 8.1.A], on en deduit que  $h(g^-n h^-1 g^n)^{-1}$  est hyperbolique. Comme  $H$  est distingué, ceci montre notre affirmation preliminaire.

Maintenant, comme les conjugues d'un element hyperbolique  $h$  de  $H$  sont encore dans  $H$ , que l'orbite par  $G$  d'un point fixe de  $h$  est contenue et dense dans  $G$ , on en deduit que  $H = G$ . En particulier  $H$  contient au moins trois points. Si  $H$  avait un point  $a$  de  $H$ , celui-ci serait unique [21, 8.2.D]. Comme  $H$  est distingué dans  $G$ , le point  $a$  serait fixe par  $G$ , ce qui est impossible.  $\square$

**Lemme 2.2** *Supposons  $@Y$  non vide sans point isole. Si  $Y$  est localement compact, le noyau de l'action de  $G$  sur le bord de  $Y$  est relativement compact dans le groupe des isometries de  $Y$  (donc compact si  $G$  est ferme dans le groupe des isometries de  $Y$ ). Si  $Y$  est CAT(-1) et tout point de  $Y$  appartient a une droite geodesique, alors  $G$  agit delement sur le bord.*

**Preuve** Pour la premiere assertion, soient  $x; y; z$  trois points distincts de  $@Y$  et  $p$  une quasi-projection de  $x$  sur une geodesique entre  $y$  et  $z$ . Une isometrie de  $Y$  qui fixe (point par point) le bord de  $Y$  bouge  $p$  d'une distance inferieure a une constante. Le resultat decoule alors du theoreme d'Ascoli.

Pour la seconde assertion, soit  $g \in G$  fixant le bord de  $Y$ . Soit  $x \in Y$  et  $a; b \in @Y$  les extremités d'une droite geodesique  $D$  passant par  $x$ . Soient

$a^b; b^b$  deux points proches et distincts de  $a; b$  respectivement. Soit  $p; p^b$  l'unique projection de  $a^b; b^b$  sur  $D$ . Alors par unicite,  $p$  et  $p^b$  sont liés par l'isometrie  $g$ , et  $x \in [p; p^b]$  aussi, par unicite du segment geodesique entre deux points.  $\square$

### 3 Espaces a murs

Soit  $X$  un ensemble. Un *mur* de  $X$  est une partition de  $X$  en deux sous-ensembles, appeles les *demi-espaces* de nis par le mur. Un mur *separe* deux points  $x$  et  $y$  de  $X$  si et seulement si  $x$  appartient a l'un des demi-espaces de nis par le mur et  $y$  appartient a l'autre. Un *systeme de murs sur  $X$*  est un ensemble  $M$  de murs de  $X$  tel que:

- (M) Pour tous  $x$  et  $y$  distincts dans  $X$ , l'ensemble  $M(x; y)$  des murs de  $M$  separant  $x$  et  $y$  est fini non vide.

Un *espace a murs* est un couple  $(X; M)$ , ou  $X$  est un ensemble et  $M$  un systeme de murs sur  $X$ . Tout singleton de  $X$  est alors l'intersection des demi-espaces qui le contiennent.

Dans un espace a murs  $(X; M)$ , on dit qu'un point  $z$  est *entre* deux points  $x$  et  $y$  si  $M(x; y)$  est la reunion (necessairement disjointe) de  $M(x; z)$  et  $M(z; y)$ . Le *graphe associe* a  $(X; M)$  est le graphe ayant  $X$  pour ensemble de sommets, et une arête entre deux sommets  $x$  et  $y$  si et seulement si les seuls points de  $X$  entre  $x$  et  $y$  sont  $x$  et  $y$ . On note  $G = G(X; M)$  ce graphe, qui est connexe d'apres l'axiome (M). Un mur  $M$  de  $X$  est dit *transverse* a une arête de  $G(X; M)$  lorsqu'il separe ses extremités.

Un espace a murs  $(X; M)$  est dit *hyperbolique* si son graphe associe est un espace metrique hyperbolique au sens de Gromov, et s'il veri e la condition (H) suivante de non trivialite et de compatibilite entre la structure metrique de  $G$  et le systeme de demi-espaces de ni par  $M$ :

- (H) Pour tout  $x \in G$ , l'ensemble des parties de  $G$  [  $x$  de la forme  $\overline{A}$ , ou  $A$  est un demi-espace de  $(X; M)$  tel que  $\overline{A}$  contient  $x$  dans son interieur, est une base de voisinages de  $x$  dans  $G$  [  $x$ .

#### 3.1 Automorphismes d'espaces a murs et propriete (P) de Tits

Soit  $(X; M)$  un espace a murs. Un *automorphisme* de  $(X; M)$  est une bijection de  $X$  preservant  $M$ . Il induit un automorphisme du graphe  $G$ , encore

note . Si  $(X; \mathcal{M})$  est hyperbolique, alors induit un homeomorphisme du bord hyperbolique  $@G$  de  $G$ , toujours note .

Si  $\text{Aut}(X; \mathcal{M})$  est le groupe des automorphismes de  $(X; \mathcal{M})$ , et  $\text{Aut}(G)$  le groupe des automorphismes de graphe de  $G$ , alors l'application  $\mathcal{V}$  est une injection de  $\text{Aut}(X; \mathcal{M})$  dans  $\text{Aut}(G)$ , en general non surjective (voir toutefois la preuve du theoreme 5.1). Nous identi erons  $\text{Aut}(X; \mathcal{M})$  avec son image dans  $\text{Aut}(G)$ . Lorsque  $G$  est localement ni, nous munirons  $\text{Aut}(G)$  de la topologie compacte{ouverte et  $\text{Aut}(X; \mathcal{M})$  de la topologie induite.

Un automorphisme *xe strictement* un mur  $M$  s'il *xe* les sommets de toute arête transverse a  $M$ . Un automorphisme d'un espace a murs *xe strictement* un demi-espace  $A$  s'il *xe*  $A$  et *xe strictement* le mur  $M = fA; X n Ag$ .

**Lemme 3.1** *Un automorphisme xant strictement un mur  $M$  preserve chacun des demi-espaces de  $X$  de nis par  $M$ .*

**Preuve** Remarquons d'abord que si  $M$  separe deux points  $x; y$ , alors tout chemin entre  $x$  et  $y$  dans  $G$  contient une arête de  $G$  transverse a  $M$ .

Notons  $M = fA; X n Ag$  et  $V(M)$  l'ensemble des sommets d'arêtes de  $G$  transverses a  $M$ . Si  $x$  appartient au demi-espace  $A$ , soit  $\rho$  un point de  $V(M)$  a distance minimale de  $x$ . Par minimalite,  $\rho$  est dans  $A$ . Si *xe strictement*  $M$ , alors il *xe* point par point  $V(M)$ . Il envoie un chemin de longueur minimale entre  $x$  et  $\rho$  sur un chemin de même longueur entre  $(\rho) = \rho$  et  $(x)$ . Si  $(x)$  n'est pas dans  $A$ , alors le chemin  $( )$  doit contenir une arête transverse a  $M$ , ce qui contredit le fait que *xe* preserve la distance combinatoire a  $V(M)$ .  $\square$

On appelle *chaîne* une suite  $(A_i)_{i \in \mathbb{Z}}$  de demi-espaces qui est strictement décroissante pour l'inclusion. Un automorphisme *xe strictement* cette chaîne s'il *xe strictement* chaque mur  $M_i = fA_i; X n A_i g$ . Par le lemme precedent, il preserve alors chaque demi-espace  $A_i$ .

Soit  $G$  un groupe d'automorphismes de  $(X; \mathcal{M})$ . Si  $M = fA; X n Ag$  est un mur de  $\mathcal{M}$ , soit  $G_M$  le sous-groupe de  $G$  xant strictement  $M$ . Par le lemme precedent, le groupe  $G_M$  preserve les ensembles  $X n A$  et  $A$ . Nous notons  $G_A$  (resp.  $G_{X n A}$ ) le groupe des permutations de  $A$  (resp.  $X n A$ ) induit par  $G_M$ . Le produit des restrictions donne un morphisme injectif

$$G_M \rightarrow G_A \times G_{X n A}$$

Soit  $C = (A_i)_{i \in \mathbb{Z}}$  une chaîne. Soit  $G_C$  le sous-groupe de  $G$  xant strictement  $C$ . Pour tout  $i$ , le groupe  $G_C$  preserve l'ensemble  $A_i n A_{i+1}$ , et nous notons

$G_{C;i}$  le groupe des permutations de cet ensemble induit par  $G_C$ . Le produit direct des restrictions  $G_C \upharpoonright G_{C;i}$  est un morphisme

$$G_C \upharpoonright \prod_{i \in \mathbb{Z}} G_{C;i}$$

**Lemme 3.2** *Ce morphisme est injectif.*

**Preuve** Il s'agit de montrer que pour toute chaîne  $C = (A_i)_{i \in \mathbb{Z}}$  de  $(X; \mathcal{M})$ , la réunion des  $A_i \cap A_{i+1}$  vaut tout  $X$ . Supposons par l'absurde qu'il existe un point  $x$  n'appartenant pas à cette réunion. Supposons que  $x$  appartient à  $A_0$  (si  $x \in X \setminus A_0$ , le raisonnement est le même, quitte à renverser l'ordre de  $\mathbb{Z}$ ). Soit  $x_0 \in X \setminus A_1$ . Alors  $x_0$  appartient à  $X \setminus A_i$  et  $x$  appartient à  $A_i$  pour tout  $i \geq 1$ . Donc le mur  $M_i = fX \cap A_i; A_i g$  sépare  $x_0$  et  $x$  pour tout  $i \geq 1$ , ce qui contredit la continuité de  $\mathcal{M}(x; x_0)$ .  $\square$

La définition suivante est alors analogue à la propriété homonyme de [31].

**Définition 3.3** On dit qu'un groupe  $G$  d'automorphismes de  $(X; \mathcal{M})$  vérifie la propriété (P) si pour tout mur  $M$  et toute chaîne  $C$ , les morphismes précédents sont surjectifs, i.e. des isomorphismes.

**Lemme 3.4** *Soit  $G$  un groupe d'automorphismes d'un espace à murs, ayant la propriété (P). Alors le sous-groupe de  $G$  engendré par les isométries strictes de murs coïncide avec le sous-groupe de  $G$  engendré par les isométries strictes de demi-espaces.*

**Preuve** Le second groupe est contenu dans le premier, par définition. Il s'agit donc de montrer que tout élément  $g$  de  $G$  échange strictement un mur  $M = fA^-; A^+ g$  est produit de deux éléments  $g^-; g^+$  échangeant strictement les demi-espaces  $A^-; A^+$  respectivement. Par la propriété (P), le morphisme  $G_M \upharpoonright G_{A^-} \times G_{A^+}$  est surjectif. Il s'agit de prendre pour  $g^-; g^+$  des préimages de  $(g_{A^-}; id)$  et  $(id; g_{A^+})$  respectivement.  $\square$

Considérons la propriété suivante d'un espace à murs  $(X; \mathcal{M})$ .

(M<sup>0</sup>) Pour tous demi-espaces  $A; B$  de  $(X; \mathcal{M})$ , avec  $B$  rencontrant  $A$  et son complémentaire, tout automorphisme échangeant strictement le mur  $M = fA; X \cap A g$  préserve  $B$ .

Dans le cas d'un arbre, cette condition est vide (donc n'apparaît pas dans [31]).

**Lemme 3.5** *Si un espace à murs  $(X; \mathcal{M})$  vérifie la condition  $(M^\theta)$ , alors le groupe de tous ses automorphismes vérifie la propriété (P).*

**Preuve** Soit  $M = fA^-; A^+g$  un mur de  $(X; \mathcal{M})$ . Soit  $h$  la restriction à  $A$  d'un automorphisme  $\bar{h}$  de  $(X; \mathcal{M})$  fixant strictement  $M$ . Comme  $A^- \cap A^+ = X$ , soit  $g$  la bijection de  $X$  valant  $h$  sur  $A$ . Montrons que  $g$  préserve  $M$ , ce qui impliquera la surjectivité de  $\text{Aut}(X; \mathcal{M})_M \rightarrow \text{Aut}(X; \mathcal{M})_{A^-} \times \text{Aut}(X; \mathcal{M})_{A^+}$ . Soit  $N = fB; X \cap Bg$  un mur de  $(X; \mathcal{M})$ . Si  $B$  est contenu dans  $A$ , alors  $g(B) = h(B) \subset A$ , donc  $g(B) = \bar{h}(B)$  est un demi-espace de  $(X; \mathcal{M})$ . D'où  $g(N)$  est encore un mur de  $(X; \mathcal{M})$ . Si  $B$  rencontre à la fois  $A^-$  et  $A^+$ , alors les deux automorphismes  $\bar{h}^-$  et  $\bar{h}^+$  préservent  $B$  par la propriété  $(M^\theta)$ . Donc  $\bar{h}$  préserve  $B \setminus A$ . D'où  $g$  préserve  $B$ , et  $g(N) = N$  est encore un mur de  $(X; \mathcal{M})$ .

Soit  $C = (A_i)_{i \in \mathbb{Z}}$  une chaîne de  $(X; \mathcal{M})$ , et soit  $h_i$  la restriction à  $A_i \cap A_{i+1}$  d'un automorphisme  $\bar{h}_i$  de  $(X; \mathcal{M})$  fixant strictement  $M_i$ . Comme  $X = \bigcup_{i \in \mathbb{Z}} A_i \cap A_{i+1}$  (voir la preuve du lemme 3.2), il existe une bijection  $g$  de  $X$  valant  $h_i$  sur  $A_i \cap A_{i+1}$ . Soit  $B$  un demi-espace de  $(X; \mathcal{M})$ . On montre comme précédemment que si  $B$  est contenu dans un  $A_i \cap A_{i+1}$ , alors  $g(B)$  est encore un demi-espace, et que, par la propriété  $(M^\theta)$ , si  $B$  rencontre au moins deux  $A_i \cap A_{i+1}$ , alors  $g(B) = B$ . Donc  $g$  est un automorphisme de  $(X; \mathcal{M})$ . Ceci montre la surjectivité de  $\text{Aut}(X; \mathcal{M})_C \rightarrow \prod_{i \in \mathbb{Z}} \text{Aut}(X; \mathcal{M})_{C,i}$ .  $\square$

Un mur d'un espace à murs hyperbolique est dit *propre* si le bord à l'infini dans  $\bar{G}$  de chacun des demi-espaces qu'il détermine n'est pas égal à tout  $@G$ . Une chaîne  $C = (A_i)_{i \in \mathbb{Z}}$  est *propre* si chaque mur  $M_i = fA_i; X \cap A_i g$  est propre. Dans la condition (H), nous pouvons de plus supposer que les murs déterminant les demi-espaces  $A$  sont propres. Si  $G$  est un groupe d'automorphismes de  $(X; \mathcal{M})$ , nous noterons  $G^+$  le sous-groupe de  $G$  engendré par lesérateurs stricts de murs propres.

**Lemme 3.6** *Soit  $(X; \mathcal{M})$  un espace à murs hyperbolique, de graphe associé  $G$  localement fini, et  $G$  un groupe d'automorphismes de  $(X; \mathcal{M})$ , fermé vu comme sous-groupe du groupe des automorphismes de  $G$ , ayant la propriété (P), agissant de manière non élémentaire sur  $G$  et d'ensemble limite égal à  $@G$ . Si  $G^+$  est non trivial, alors  $G^+$  est non dénombrable.*

**Preuve** Soit  $M$  un mur propre, d'érateur strict non trivial. Soit  $G_M^+$  le sous-groupe de  $G$  fixant strictement le mur  $M$  et fixant l'un des demi-espaces, disons  $A$ , définis par  $M$ . Le sous-groupe  $G_M^+$  est fermé dans  $G$ , donc dans

$\text{Aut}(G)$ . On en déduit que  $G_M^+$  est localement compact. Pour montrer qu'il est non dénombrable, il suffit de montrer qu'il n'a pas de point isolé, et comme c'est un groupe topologique, que l'identité n'est pas isolée.

Soit  $g$  un élément non trivial de  $G_M^+$ , qui existe par la propriété (P) quitte à échanger  $A$  et  $X \cap A$ , et  $K$  une partie compacte arbitraire de  $G$ . Puisque  $M$  est propre, soit  $x$  un point de  $@X \cap @A$ . Soit  $U$  un ouvert, contenu dans  $\overline{X \cap (\bar{A} \setminus K)}$ , contenant  $x$ . Puisque  $G$  est non élémentaire, il existe un élément hyperbolique  $h$  dans  $G$  dont le point fixe attractif est contenu dans  $U$  et le point fixe répulsif dans  $@X \cap @(X \cap A)$ . Si  $n$  est assez grand, alors  $h^n(\overline{X \cap A})$  est contenu dans  $U$ . Posons  $g_n = h^n g h^{-n}$ , qui appartient à  $G$  et même à  $G_M^+$ . Comme  $g$  vaut l'identité sur  $A$ , l'élément  $g_n$  vaut l'identité sur  $h^n(A)$ , donc sur  $K$ . Puisque  $g$  est non trivial,  $g_n$  l'est aussi. On en déduit que l'identité n'est pas isolée dans  $G_M^+$ .  $\square$

### 3.2 L'exemple classique des systèmes de Coxeter

Adoptons un premier point de vue algébrique (on trouvera dans [5, Chapitre IV, Section 1, Exemple 16], [27] toutes les justifications des affirmations ci-dessous). Soient  $(W; S)$  un système de Coxeter,  $T$  l'ensemble de ses réflexions (i.e. des conjugués dans  $W$  des éléments de  $S$ ), et  $\ell(w)$  la longueur minimale d'une écriture de  $w \in W$  comme mot sur  $S$ . Pour  $t \in T$ , posons:

$$A_t^+ = \{w \in W; \ell(w) < \ell(tw)\} \text{ et } A_t^- = \{w \in W; \ell(w) > \ell(tw)\}.$$

Alors  $A_t^+$  contient  $1_W$  et  $A_t^-$  contient  $t$ . De plus,  $\ell(w)$  et  $\ell(tw)$ , n'ayant pas la même parité, sont toujours différents. Donc  $fA_t^+; A_t^-g$  est un mur de  $W$  (les demi-espaces  $A_t^\pm$  sont appelées moitiés dans [5]). Notons  $\mathcal{M}(W; S) = \mathcal{M}$  l'ensemble des murs ainsi obtenus (en correspondance biunivoque avec  $T$ ). Montrons que  $\mathcal{M}(W; S)$  vérifie l'axiome (M).

Pour  $w^\partial; w^{\partial\partial} \in W$ , l'ensemble des murs séparant  $w^\partial$  de  $w^{\partial\partial}$  correspond à l'ensemble des réflexions  $t$  de la forme  $s_1 \dots s_{i-1} s_i s_{i-1} \dots s_1$ , pour une écriture géodésique  $w^{\partial-1} w^{\partial\partial} = s_1 \dots s_n$ , avec  $n = \ell(w^{\partial-1} w^{\partial\partial})$ . Il y a  $n$  telles réflexions, autrement dit  $\text{card } \mathcal{M}(w^\partial; w^{\partial\partial}) = \ell(w^{\partial-1} w^{\partial\partial})$ . En particulier, l'axiome (M) est vérifié, et le graphe de l'espace à murs  $(W; \mathcal{M})$  s'identifie au graphe de Cayley de  $(W; S)$ . Cette identification est  $W$ -équivariante (l'image par  $w$  de  $A_t^+$  est  $A_{t^\theta}^+$ , où  $t^\theta = w^{-1} t w$  et  $\theta = +$  si  $w \in A_t^+$ ,  $\theta = -$  sinon).

On peut aussi définir le système de murs  $\mathcal{M}$  sur  $W$  en considérant diverses actions de  $W$  sur des complexes polyédraux.

Si  $W$  agit sur un espace  $P$  et si  $t$  est une réflexion, appelons *mur* de  $t$  dans  $P$ , et notons  $M(t; P)$ , l'ensemble des points fixes de  $t$  dans  $P$ . Pour  $P$ , prenons successivement le graphe de Cayley de  $(W; S)$  (note  $G(W; S)$ ), la réalisation géométrique standard de  $(W; S)$  (notée  $jWj$ , voir [27]), et en sa réalisation géométrique au sens de Davis-Moussong (notée  $jWj_0$ ). Chacun de ces trois complexes est un "appartement" au sens de Davis, voir [15] pour les définitions et propriétés concernant ces espaces  $W$ -homogènes; le complexe  $jWj_0$  est introduit dans [15], et muni d'une métrique CAT(0) dans [25].

Notons que  $jWj$  est un complexe simplicial de dimension  $\text{card } S - 1$  sur lequel  $W$  agit, de manière simplement transitive sur les simplexes de dimension maximale. On identifie les éléments de  $W$  aux centres de ces simplexes maximaux.

(Rappelons brièvement la construction de  $jWj_0$ . Soit  $\Delta_S$  le simplexe standard d'ensemble de sommets  $S$ , dont les faces s'identifient aux parties de  $S$ . Si  $T$  est une partie de  $S$ , on note  $W_T$  le sous-groupe spécial de  $W$  engendré par  $T$ . Soit  $N = N(W; S)$  le sous-complexe simplicial de  $\Delta_S$ , appelé *nerf ni* de  $(W; S)$ , dont les simplexes sont les parties  $T$  de  $S$  telles que  $W_T$  soit fini. En particulier,  $N$  contient tous les sommets de  $\Delta_S$ . Soit  $C(W; S) = x_0 N^\theta$  le cône simplicial (de sommet  $x_0$ ) sur la subdivision barycentrique  $N^\theta$  de  $N$ . Pour tout sommet  $s$  de  $N$ , on note  $F_s$  l'étoile de  $s$  dans  $N^\theta$ , naturellement contenu dans  $C(W; S)$ . On considère alors le quotient

$$W \backslash C(W; S) =$$

où  $\sim$  est la relation d'équivalence engendrée par  $(w; x) \sim (w^\theta; x^\theta)$  s'il existe  $s \in S$  tel que  $w^\theta = ws$  et  $x^\theta = x \in F_s$ . On montre (voir [25]) que ce quotient admet une structure de subdivision barycentrique d'un complexe polyédral euclidien CAT(0)  $jWj_0$ , d'ensemble de sommets l'image de  $W \backslash F_g$ , que l'on identifie avec  $W$ .)

Pour chacune des trois actions considérées,

le mur  $M$  d'une réflexion de  $W$  sépare  $P$  en deux composantes connexes, appelées *demi-espaces* de  $P$  définis par  $M$ ;

dans  $P$ , il y a un plongement  $W$ -équivariant de  $G(W; S)$ , étendant celui de  $W$  (c'est le 1-squelette de  $jWj_0$  par construction, et le graphe dual de  $jWj$ );

si  $t$  est une réflexion, son mur dans  $P$  évite  $W$ , et deux éléments de  $W$  sont dans une même composante connexe de  $P - M(t; P)$  si et seulement s'ils le sont dans  $G(W; S) - M(t; G(W; S))$ .

C'est pourquoi, pour chaque réflexion  $t$ , les intersections de  $W$  avec les deux demi-espaces de  $P$  définis par  $M(t; P)$  donnent un mur de  $W$  indépendant de  $P$ . D'autre part, on vérifie que, si  $P = G(W; S)$ , l'ensemble de murs ainsi obtenu est  $\mathcal{M}(W; S)$ .

Puisque le graphe de l'espace à murs  $(W; \mathcal{M})$  s'identifie au graphe de Cayley de  $(W; S)$ , il est hyperbolique (au sens de Gromov) si et seulement si  $W$  est un groupe hyperbolique. Nous vérifierons dans la section suivante que la condition (H) est satisfaite. Pour information, par un théorème de G. Moussong [25], les conditions suivantes sont équivalentes:

- (1)  $W$  est un groupe hyperbolique;
- (2)  $W$  ne contient pas de sous-groupe isomorphe à  $\mathbb{Z} \times \mathbb{Z}$ ;
- (3) il n'existe pas de partie  $T$  de  $S$  telle que  $(W_T; T)$  soit un système de Coxeter à rang au moins 3, ni de paires de parties  $T_1; T_2$  de  $S$ , disjointes, avec  $W_{T_1}; W_{T_2}$  commutants et invariants.

**Cas particuliers** (Complexes de Benakli-Haglund, voir [4, 23]) Soit  $k$  un entier pair au moins 4, et  $L$  un graphe fini (sans boucle ni arête double), de maille (i.e. la plus petite longueur d'un cycle) au moins 5 si  $k = 4$ , et 4 si  $k = 6$ . Soit  $(W(k; L); S(k; L))$  le système de Coxeter de matrice de Coxeter la matrice d'adjacence du graphe  $L$ , avec les 1 et 0 remplacés respectivement par  $\frac{k}{2}$  et  $-1$ . Il vérifie clairement la condition (3) ci-dessus.

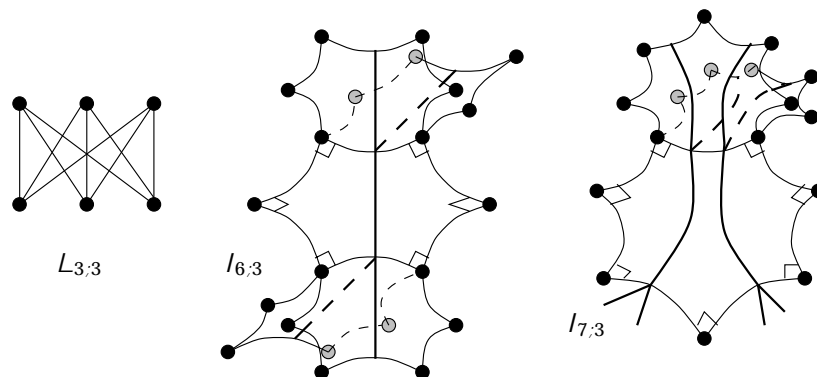
Nous noterons  $A(k; L)$  la réalisation géométrique au sens de Davis-Moussong de ce système de Coxeter. Alors (voir [23])  $A(k; L)$  est un complexe polygonal CAT(-1), dont les polygones sont des  $k$ -gones hyperboliques, le link de chaque sommet étant isomorphe à  $L$ .

Si  $p$  est un entier pair et  $L_{q; q}$  est le graphe biparti complet sur  $q + q$  sommets, alors l'immeuble de Bourdon  $I_{p; q}$  est isomorphe, en tant que complexe polygonal, à  $A(p; L_{q; q})$ .

**Un autre exemple d'espace à murs** Par contre, si  $p = 2m + 1$  est impair et  $q \geq 5$ , l'immeuble de Bourdon  $I_{p; q}$  n'est isomorphe ni à un complexe polygonal  $A(k; L)$  ni à un complexe cubique (sauf à passer à une subdivision). Supposons  $p \geq 7$ . Pour chaque côté  $A$  du  $p$ -gone régulier à angles droits  $P$ , numérotions cycliquement  $A = A_1; A_2; \dots; A_p$  les côtés de  $P$ . Considérons les deux segments de perpendiculaire commune aux paires de côtés respectivement  $A; A_{p-1=2}$  et  $A; A_{p+1=2}$ . Notons  $s_1; s_2$  ces segments.

Nous appellerons *mur* de  $I_{p; q}$  toute partie  $M$  de  $I_{p; q}$  ainsi obtenue. Pour tout  $i = 1; 2$  et pour toute identification isométrique d'un polygone de  $I_{p; q}$  avec



Figure 2: L'immeuble de Bourdon: son link, cas  $p$  pair, cas  $p$  impair

$P$ , on considère la réunion  $M$  de toutes les géodésiques de  $I_{p,q}$  passant par le segment  $i$ . Nous notons  $X_{p,q}$  l'ensemble des sommets de  $I_{p,q}$ , et  $\text{mur}$  de  $X_{p,q}$  la partition de  $X_{p,q}$  obtenue en prenant l'intersection de  $X_{p,q}$  avec les deux composantes connexes du complémentaire d'un mur de  $I_{p,q}$ . (Comme  $I_{p,q}$  est simplement connexe, et qu'un mur sépare localement en deux composantes connexes, il sépare globalement en deux composantes connexes.)

Il est facile de montrer que l'espace à murs  $(X_{p,q}; M_{p,q})$  ainsi défini vérifie l'axiome (M). Le graphe associé  $G$  s'identifie avec le squelette de  $I_{p,q}$ , mais les deux sommets de chaque arête de  $I_{p,q}$  sont séparés par exactement deux murs. Ce système de demi-espace est différent de celui obtenu par subdivision en complexe cubique. Comme  $I_{p,q}$  est CAT(-1), son squelette est un espace métrique hyperbolique, de même bord que  $I_{p,q}$ . La condition (H) est facile à vérifier.

Le groupe  $\text{Aut } I_{p,q}$  des automorphismes de complexe polygonal de l'immeuble de Bourdon  $I_{p,q}$  s'identifie naturellement à  $\text{Aut}(X_{p,q}; M_{p,q})$ . En effet, tout automorphisme de  $I_{p,q}$  est une isométrie pour la distance de  $I_{p,q}$ , et donc envoie tout segment de perpendiculaire commune entre deux arêtes à distance cyclique  $q-1=2$  ou  $q+1=2$  sur le bord d'un polygone de  $I_{p,q}$  sur un tel autre segment. Donc il préserve l'ensemble des sommets  $X_{p,q}$  de  $I_{p,q}$ , ainsi que l'ensemble  $M_{p,q}$  des demi-espaces, et  $\text{Aut } I_{p,q}$  est contenu dans  $\text{Aut}(X_{p,q}; M_{p,q})$ .

Comme les seuls cycles de longueur  $p$  dans le squelette de  $I_{p,q}$  sont les bords des polygones, il en découle que  $\text{Aut } I_{p,q}$  est égal à  $\text{Aut}(X_{p,q}; M_{p,q})$ .

## 4 Complexes polyedraux pairs a courbure negative ou nulle

### 4.1 Polyedres pairs

Un polyedre (compact convexe)  $C$  d'une variete riemannienne (complete, simplement connexe) a courbure constante  $\kappa \leq 0$  est *pair* si

pour toute arête  $a$  de  $C$ , l'unique reflexion  $\sigma_a$  de l'espace ambiant echangeant les extremités de  $a$  preserve  $C$ , mais ne fixe aucun sommet de  $C$ .

Par exemple, si  $C$  est un polygone regulier, il est pair si et seulement s'il a un nombre pair de cotes. Un cube euclidien regulier de dimension quelconque est pair. Plus generalement, le produit de deux polyedres euclidiens pairs est un polyedre euclidien pair. Voir figure 3 pour d'autres exemples. Nous donnons ci-dessous une caracterisation constructive de tous les polyedres pairs.

Soit  $\mathbb{X}$  l'espace a courbure constante  $\kappa \leq 0$  de dimension  $n$ . Si  $\kappa = 0$ , nous prendrons  $\mathbb{X} = \mathbb{R}^n$ . Si  $\kappa < 0$ , nous utiliserons le modele de la boule de Poincare pour l'espace hyperbolique  $\mathbb{X}$  a courbure constante  $\kappa$ . Le groupe des isometries de  $\mathbb{X}$  fixant l'origine s'identifie alors avec  $O(n)$ . Notons  $\Gamma : \mathbb{R}^n \rightarrow \mathbb{X}$  l'exponentielle riemannienne en l'origine (l'identite si  $\kappa = 0$ ). Soit  $W$  un groupe fini engendre par des reflexions sur des hyperplans vectoriels de  $\mathbb{R}^n$ . L'application  $\Gamma$  permet alors de definir les notions de *chambres*, *murs* ... dans  $\mathbb{X}$  pour l'action isometrique de  $W$  sur  $\mathbb{X}$ .

**Proposition 4.1** *Un polyedre (compact convexe)  $C$  d'un espace  $\mathbb{X}$  a courbure constante  $\kappa \leq 0$  est pair si et seulement s'il existe un point  $x$  dans  $\mathbb{X}$ , un systeme de Coxeter fini  $(W; S)$  et une representation (injective, envoyant chaque element de  $S$  sur une reflexion)  $\rho$  de  $W$  dans le groupe des isometries de  $\mathbb{X}$  fixant  $x$  telle que  $C$  est l'enveloppe convexe de l'orbite par  $W$  d'un point  $y$  de l'interieur d'une chambre. De plus, le 1-squelette de  $C$  est isomorphe au graphe de Cayley de  $(W; S)$ .*

**Preuve** Supposons tout d'abord que  $C$  est pair. Notons  $W$  le groupe engendre par les reflexions dans  $\mathbb{X}$  par rapport aux hyperplans mediateurs des arêtes de  $C$ . Puisque  $C$  est invariant par  $W$ , le groupe  $W$  est fini et admet au moins un point fixe, le *centre metrique*  $x$  de la cellule  $C$  (c'est le centre de l'unique plus petite boule de  $\mathbb{X}$  contenant  $C$ ). Nous supposerons que  $x$  est l'origine de  $\mathbb{X}$ .

Fixons  $y$  un sommet de  $C$ , et notons  $S$  l'ensemble des réflexions dans  $\mathbb{X}$  par rapport aux hyperplans médiateurs des arêtes de  $C$  ayant  $y$  pour sommet. Par connexité du squelette de  $C$ , le groupe  $W$  est engendré par  $S$ . Puisque c'est vrai au niveau de l'espace tangent en  $x$  (voir [5] par exemple), le groupe  $W$  agit simplement transitivement sur les chambres dans  $\mathbb{X}$  (qui sont les composantes connexes du complémentaire des hyperplans médiateurs des arêtes). Tout sommet de  $C$  est contenu dans une chambre, et la chambre contenant  $y$  ne contient pas d'autre sommet de  $C$ . Donc le groupe  $W$  agit simplement transitivement sur les sommets de  $C$ . Le sommet  $y$  de  $C$  est joint par une arête précisément aux sommets  $sy$  avec  $s$  dans  $S$ . Par définition du graphe de Cayley, le squelette de  $C$  s'identifie donc au graphe de Cayley de  $(W; S)$ . Comme  $C$  est l'enveloppe convexe de ses sommets,  $C$  est bien l'enveloppe convexe de l'orbite de  $y$  par  $W$ .

Reciproquement, soit  $C$  l'enveloppe convexe de l'orbite par  $W$  d'un point  $y$  de l'intérieur d'une chambre pour une représentation comme dans l'énoncé d'un système de Coxeter fini  $(W; S)$ . Montrons que  $C$  est pair. Puisque toutes les images de  $y$  par  $W$  sont à la même distance de  $x$ , par convexité stricte des sphères, les sommets de  $C$  sont exactement les images de  $y$  par  $W$ . Le même argument de convexité stricte montre que le point  $y$  est strictement au-dessus de l'hyperplan  $\alpha$  ne passant par les  $sy$  pour  $s$  dans  $S$ . Donc les segments de droites entre  $y$  et les  $sy$  sont des arêtes de  $C$ .  $\square$

**Proposition 4.2** *Soit  $C$  un polyèdre pair d'un espace à courbure constante négative ou nulle. Alors  $C$  est simple, i.e. les links de ses sommets sont des simplexes (sphériques). Si  $C$  est euclidien, alors les longueurs des arêtes des links de faces de  $C$  sont dans  $[\frac{\pi}{2}; \pi]$  (et en particulier ses angles dièdres sont obtus).*

**Preuve** Comme le type combinatoire des polyèdres pairs ne dépend pas de la courbure, nous pouvons supposer  $C$  euclidien. Si la dimension  $n$  de  $C$  est égale à celle de l'espace ambiant (ce que nous pouvons toujours supposer), le groupe fini engendré par des réflexions  $W$  construit ci-dessus est *essentiel* (i.e. il n'existe aucun vecteur tangent au centre métrique de  $C$  non nul). Si  $v$  est un sommet de  $C$ , alors les sommets du link de  $v$  sont en bijection avec les murs de la chambre contenant  $v$ . Or (voir [5, Ch. V, section 3, Prop. 7]) les chambres sont des cônes simpliciaux. Donc le link de  $v$  (qui est de dimension  $n - 1$ ) a exactement  $n - 1$  sommets, et est donc un simplexe.

Si  $a; b$  sont deux arêtes de  $C$ , le plan  $P$  qui les contient rencontre perpendiculairement les hyperplans médiateurs de  $a; b$  en deux droites  $\alpha; \beta$ . Les arêtes

$a; b$  et les droites  $;$  de nissent un quadrilatere dont deux angles sont droits et l'un des deux autres est l'angle diedre entre les hyperplans mediateurs de  $a; b$ . L'angle diedre entre deux murs d'une même chambre est dans  $[0; \frac{\pi}{2}]$ , donc l'angle entre deux arêtes de  $C$  est dans  $[\frac{\pi}{2}; \pi]$ . La longueur de toute arête du link de tout sommet  $s$  de  $C$  est donc dans  $[\frac{\pi}{2}; \pi]$ . Par les formules de trigonometrie spherique, il en decoule que l'angle en un sommet d'une 2{face du link de  $s$  est au moins  $\frac{\pi}{2}$ , donc que la longueur des arêtes des links de face de dimension 1 est au moins  $\frac{\pi}{2}$ . Le resultat en decoule par recurrence sur la dimension de la face.  $\square$

Nous donnons ci-dessous la liste complete des polyedres hyperboliques pairs qui sont des polyedres de Coxeter, en dimension 2 et 3. Dans le tableau suivant,  $m$  est un entier, avec  $m = 5$  ou  $m = 7$ . A tout polyedre pair  $P$  de dimension  $n$ , et a tout sommet  $x_0$  de celui-ci, est associe par la proposition 4.1 un systeme de Coxeter  $(W; S)$  de rang  $n$ , dont nous donnons le type et le diagramme de Coxeter. Les arêtes de  $P$  issues de  $x_0$  sont en bijection avec les elements de  $S$ . Si  $P$  est de dimension 3, nous donnons les angles diedres  $(\frac{\pi}{2}; \frac{\pi}{3}; \frac{\pi}{n})$  des arêtes issues de  $x_0$  correspondant aux elements de  $S = \{a; b; c\}$ . Par la formule de Gauss{Bonnet, un polygone hyperbolique pair est determine a isometrie pres par  $(m; \frac{\pi}{2}; \frac{\pi}{3})$  dans  $\mathbb{N} \setminus \{0\}; 1g \in [0; \frac{(p-1)\pi}{p}] \cup [\pi; \frac{(p+1)\pi}{p}]$ , avec  $2m$  son nombre de côtes,  $\frac{\pi}{2}$  l'angle en chacun de ses sommets, et  $\frac{\pi}{3}$  la longueur d'un de ses côtes (et donc des côtes a distance paire de celui-ci).

Rang 2				Rang 3			
$(W; S)$				$(W; S) \quad (\frac{\pi}{2}; \frac{\pi}{3}; \frac{\pi}{n})$			
$A_1$	$A_1$	$\frac{\pi}{n}; n$	3	$A_1$	$W = \frac{a \quad b \quad m \quad c}{\quad \quad \quad \quad}$	$(\frac{\pi}{2}; \frac{\pi}{3}; \frac{\pi}{n}); n = 3; 4; 5$	
$A_2$	$\frac{4}{\quad}$	$\frac{\pi}{n}; n$	2	ou $W = A_2; B_2; G_2$	$\frac{a \quad b \quad c}{\quad \quad \quad}$	ou $I_2(m)$	
$B_2$	$\frac{6}{\quad}$	$\frac{\pi}{n}; n$	2	$A_3$	$\frac{a \quad b \quad 4 \quad c}{\quad \quad \quad}$	$(\frac{\pi}{2}; \frac{\pi}{n}; \frac{\pi}{2}); n = 3$	
$G_2$	$\frac{m}{\quad}$	$\frac{\pi}{n}; n$	2	$B_3$	$\frac{a \quad b \quad 5 \quad c}{\quad \quad \quad}$	$(\frac{\pi}{2}; \frac{\pi}{n}; \frac{\pi}{3}); n = 3; 4; 5$	
$I_2(m)$		$\frac{\pi}{n}; n$	2	$H_3$		$(\frac{\pi}{2}; \frac{\pi}{n}; \frac{\pi}{2}); n = 3$	
						$(\frac{\pi}{2}; \frac{\pi}{n}; \frac{\pi}{3}); n = 3; 4; 5$	

**Proposition 4.3** *A isometrie pres, un polyedre hyperbolique pair de dimension 2 ou 3 qui est un polyedre de Coxeter est donne a isometrie pres par le*

tableau precedent (avec un parametre libre  $\in ]0; +1[$  en rang 2).

**Preuve** Soit  $(W; S)$  un systeme de Coxeter de rang 3. Soit  $Z$  la cellulation duale de la subdivision barycentrique de la cellulation de la sphere  $\mathbb{S}^2$  decrite ci-dessous:

la cellulation de la sphere  $\mathbb{S}^2$  par  $4; 6; 8; 12; 2m$  bigones si  $(W; S)$  est de type  $A_1$  avec  $W$  le groupe de Coxeter de rang 2 de type  $A_1$   $A_1; A_2; B_2; G_2; I_2(m)$  respectivement;

la cellulation bord du tetraedre, cube, dodecaedre si  $(W; S)$  est de type  $A_3; B_3; H_3$  respectivement.

Notons que si  $P$  est un polyedre hyperbolique pair construit a partir de  $(W; S)$  comme dans la proposition 4.1, alors son bord est isomorphe a la cellulation  $Z$ .

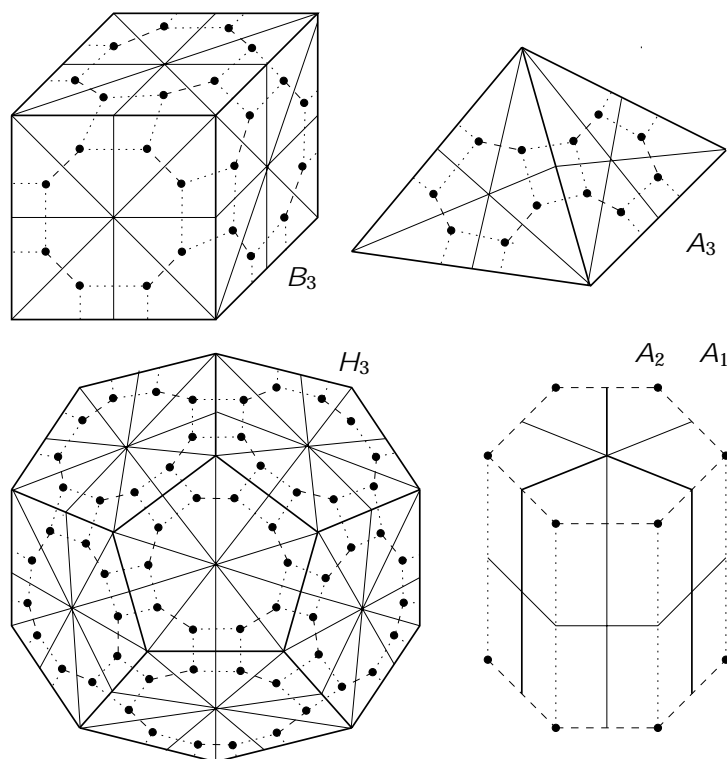


Figure 3: Polyedres de Coxeter hyperboliques pairs de dimension 3

Par le theoreme d'Andreev [1], si  $\alpha$  est une application de l'ensemble des arêtes de  $Z$  dans  $]0; \frac{\pi}{2}[$ , alors il existe un polyedre hyperbolique (compact), unique a

isométrie pres, dont la cellulation du bord est isomorphe à  $Z$ , avec angle dièdre (z) le long d'une arête  $z$  si et seulement si

- (1) la somme des angles le long d'un cycle de longueur 3 dans  $\mathcal{C}$  qui ne borde pas un triangle de  $\mathcal{C}$  est strictement inférieure à  $2\pi$ ,
- (2) la somme des angles le long d'un cycle de longueur 3 dans  $\mathcal{C}$  qui borde un triangle de  $\mathcal{C}$  est strictement supérieure à  $2\pi$ ,
- (3) la somme des angles le long d'un cycle de longueur 4 dans  $\mathcal{C}$  qui ne borde pas la réunion de deux triangles de  $\mathcal{C}$  est strictement inférieure à  $2\pi$ .

Comme il n'existe pas de cycle de longueur 3 dans  $\mathcal{C}$  qui ne borde pas un triangle, et que les seuls triangles sphériques de Coxeter ont pour angles  $\frac{\pi}{2}; \frac{\pi}{2}; \frac{\pi}{n}g$ ,  $n \geq 2$  ou  $\frac{\pi}{2}; \frac{\pi}{3}; \frac{\pi}{n}g; n = 3; 4; 5$ , le résultat en découle par examination des divers cas possibles. L'unicité découle de l'unicité dans le théorème d'Andreev, en remarquant que ces polyèdres ont une symétrie supplémentaire (i.e. qui n'est pas dans  $W$ ), par rapport à un hyperplan passant par des sommets.  $\square$

De finissons maintenant la notion de parallélisme d'arêtes. Soit  $C$  un polyèdre pair de dimension quelconque. Si  $a$  est une arête de  $C$ , nous noterons  $M(a; C)$  l'ensemble des points de  $C$  vus par  $a; C$ . C'est un convexe compact de codimension 1 dans  $C$ , séparant  $C$  en deux composantes connexes. Il ne peut rencontrer une arête  $b$  de  $C$  qu'en son milieu, et perpendiculairement: dans ce cas  $M(a; C) = M(b; C)$ . Deux arêtes  $a; b$  de  $C$  sont dites *parallèles dans*  $C$  si  $M(a; C) = M(b; C)$ . La relation de parallélisme dans  $C$  est une relation d'équivalence sur les arêtes de  $C$ .

## 4.2 L'espace à murs d'un complexe polyédral pair

Soit  $P$  un complexe polyédral, n'ayant qu'un nombre fini de types d'isométrie de cellules. Nous dirons que  $P$  est un *complexe polyédral pair* si toute cellule  $C$  de  $P$  est paire. Par exemple, un arbre, ou plus généralement un complexe cubique (voir [21, 28, 26]) est un complexe polyédral pair.

La réunion des relations de parallélisme sur les arêtes d'une même cellule de  $P$  engendre une relation d'équivalence sur l'ensemble de toutes les arêtes de  $P$ , que nous appellerons *parallélisme entre arêtes* dans  $P$ . (Voir [28, section 2.4] pour le cas des complexes cubiques.) De finissons alors le *mur de*  $P$  *transverse à une arête*  $a$  comme l'union des  $M(b; C^b)$ , avec  $b$  une arête parallèle à  $a$  contenue dans une cellule (maximale pour l'inclusion)  $C^b$  de  $P$ .

Puisque  $P$  n'a qu'un nombre fini de types d'isométrie de cellules, et les compacts  $M(b; C^b)$  ne contenant aucun sommet de  $P$ , car  $C^b$  est pair, il vient:

tout mur de  $P$  est ferme, (localement compact si le link de toute cellule de  $P$  de dimension  $> 0$  est compact) et évite l'ensemble  $X$  des sommets de  $P$ ;

l'ensemble des murs de  $P$  est localement fini.

Comme dans le cas des complexes cubiques [28, Theo. 4.10], le premier résultat est le suivant.

**Lemme 4.4** *Soit  $P$  un complexe polyédral pair  $CAT(0)$  et  $M$  le mur de  $P$  transverse à une arête  $a$ . Alors  $M$  est convexe dans  $P$ , et sépare  $P$  en deux composantes connexes.*

**Preuve** Soit  $V(M)$  l'union des cellules de  $P$  contenant une arête parallèle à  $a$ . Donnons d'abord une description du revêtement universel de  $V(M)$ .

Soit  $\mathcal{C}(a)$  l'ensemble des suites de la forme  $(a_0; a_1; \dots; a_n; C)$ , où les  $(a_i)_{0 \leq i \leq n}$  sont des arêtes de  $P$ , avec  $a_0 = a$ ,  $a_i$  parallèle à  $a_{i+1}$  dans une cellule de  $P$ , et  $C$  est une cellule de  $P$  contenant  $a_n$ . Si  $a_i; a_{i+1}$  et  $a_{i+2}$  sont trois arêtes parallèles à  $a$  dans une même cellule  $C^\flat$ , nous dirons qu'il y a entre  $(a_0; \dots; a_i; a_{i+1}; a_{i+2}; \dots; a_n; C)$  et  $(a_0; \dots; a_i; a_{i+2}; \dots; a_n; C)$  une *homotopie élémentaire* (à extrémités fixes). Les homotopies élémentaires engendrent une relation d'équivalence sur  $\mathcal{C}(a)$ : nous noterons  $[a_0; \dots; a_n; C]$  la classe d'équivalence de  $(a_0; \dots; a_n; C)$  pour cette relation.

Soit  $\overline{V}(M)$  le complexe polyédral obtenu à partir de l'union disjointe des cellules de la forme  $[a_0; \dots; a_n; C]$  en identifiant deux points de la forme  $([a_0; \dots; a_n; C^\flat]; x^\flat)$  et  $([a_0; \dots; a_n; C^\flat]; x^\flat)$  lorsque  $x^\flat = x^\flat (2C^\flat \setminus C^\flat)$ . Notons  $\rho: \overline{V}(M) \rightarrow V(M)$  l'application polyédrale naturelle. Alors  $\rho$  est surjective et un isomorphisme sur chaque cellule. Via  $\rho$ , le complexe  $\overline{V}(M)$  hérite d'une structure de complexe polyédral, n'ayant qu'un nombre fini de types d'isométrie de cellules (pour laquelle  $\rho$  est une isométrie sur chaque cellule). Montrons que sur  $\overline{M} = \rho^{-1}(M)$ , l'application  $\rho$  est une isométrie.

D'abord,  $\overline{M}$  est localement convexe dans  $\overline{V}(M)$ . En effet,  $\overline{V}(M)$  possède une réflexion  $\sigma_a$  (obtenue sur chaque cellule  $\overline{C}$  de  $\overline{V}(M)$  image de  $[a_0; \dots; a_n; C]$  en conjuguant  $a_n; C$  par  $\rho|_{\overline{C}}$ ). L'ensemble des points fixes de l'isométrie  $\sigma_a$  est précisément  $\overline{M}$ . Or la métrique de  $\overline{V}(M)$  est localement convexe. Il en résulte que  $\overline{M}$  est localement convexe dans  $\overline{V}(M)$ .

Ensuite, l'image d'une géodésique  $\gamma$  de  $\overline{M}$  par  $\rho$  est une géodésique de  $P$  contenue dans  $M$ . En effet, on remarque d'abord que  $\gamma$  est une géodésique locale de  $\overline{V}(M)$ , puis que  $\rho$  est une isométrie locale au voisinage de  $\overline{M}$ . Donc

$\rho(\bar{\cdot})$  est une géodesique locale de  $P$ . Mais comme  $P$  est CAT(0), ceci implique que  $\rho(\bar{\cdot})$  est une géodesique globale de  $P$ .

Puisque  $\overline{M}$  est évidemment connexe,  $M$  est convexe dans  $P$ , et  $\rho$  induit une isométrie de  $\overline{M}$  sur  $M$ .

En fait,  $\rho: \overline{V}(M) \rightarrow V(M)$  est un homéomorphisme. En effet, notons d'abord qu'un point  $\bar{x}$  de  $\overline{V}(M)$  est dans une cellule minimale  $\overline{C}_{\bar{x}}$  de  $\overline{V}(M)$  rencontrant  $\overline{M}$ . Si  $\bar{x}^\flat$  désigne la projection orthogonale de  $\bar{x}$  sur  $\overline{M} \setminus \overline{C}_{\bar{x}}$ , alors toute géodesique de  $\overline{M}$  issue de  $\bar{x}^\flat$  fait avec  $[\bar{x}^\flat, \bar{x}]$  un angle au moins égal à  $\frac{\pi}{2}$ . Maintenant, si deux points  $\bar{x}$  et  $\bar{y}$  de  $\overline{V}(M) - \overline{M}$  sont identifiés par  $\rho$ , il apparaît dans  $P$  un triangle de sommets  $\rho(\bar{x}) = \rho(\bar{y})$ ,  $\rho(\bar{x}^\flat)$  et  $\rho(\bar{y}^\flat)$ , avec des angles à la base supérieurs ou égaux à  $\frac{\pi}{2}$ . Comme  $P$  est CAT(0), cela n'est possible que si  $\rho(\bar{x}^\flat) = \rho(\bar{y}^\flat)$ . Donc  $\bar{x}^\flat = \bar{y}^\flat$ , et  $\overline{C}_{\bar{x}} = \overline{C}_{\bar{y}}$ . Or  $\rho$  est un plongement sur chaque cellule: donc  $\bar{x} = \bar{y}$ .

Après avoir vérifié que  $\overline{M}$  sépare  $\overline{V}(M)$  en deux composantes connexes, on en déduit que  $M$  sépare  $P$  en deux composantes connexes (parce qu'il sépare son voisinage  $V(M)$ , et que  $P$  est simplement connexe).  $\square$

Le résultat suivant découle aussi de la preuve du lemme précédent.

**Lemme 4.5** *Pour toute cellule  $C$  de  $P$  maximale pour l'inclusion, le mur de  $P$  transverse à une arête  $a$  de  $C$  est la réunion de tous les segments géodesiques rencontrant  $M(a; C)$  en un intervalle d'intérieur non vide.*  $\square$

Soient  $X = X_P$  l'ensemble des sommets de  $P$  et  $M$  un mur de  $P$  transverse à une arête; notons  $P^+(M)$  et  $P^-(M)$  les deux composantes connexes de  $P - M$ . Comme  $X \setminus M = \emptyset$ , la paire  $(X \setminus P^+(M); X \setminus P^-(M))$  est une partition de  $X$ . Nous noterons encore  $M$  ce mur de  $X$ , et  $M = M_P$  l'ensemble des murs de  $X$  ainsi de suite.

**Proposition 4.6** *Soit  $P$  un complexe polyédral pair CAT(0). Alors  $(X_P; M_P)$  est un espace à murs.*

**Preuve** Vérifions que  $M$  satisfait l'axiome (M).

Soient  $x$  et  $y$  deux sommets de  $P$ , et  $\gamma$  la géodesique de  $P$  qui les joint. Tout mur de  $M(x; y)$  correspond à un mur de  $P$  séparant topologiquement  $x$  et  $y$ , donc coupant  $\gamma$ . L'ensemble des murs de  $P$  étant localement fini, on en déduit que  $M(x; y)$  est fini.

D'autre part,  $\gamma$  part de  $x$  par l'intérieur d'une (unique) cellule  $C$ , elle doit traverser un des murs  $M(a; C)$  (avec  $a$  une arête issue de  $x$ ) avant de retoucher  $\partial C$ : donc  $M(x; y)$  est non vide.  $\square$



Avant de poursuivre l'étude de cet exemple fondamental, il convient de faire quelques remarques.

**Remarque 1** Le système de murs d'un système de Coxeter  $(W; S)$  de  $n$  dans la section 3 peut s'obtenir par la présente construction, en prenant pour  $P$  la réalisation géométrique au sens de Davis-Moussong  $jWj_0$  de  $(W; S)$ . Par construction même (voir [25]), une cellule de  $jWj_0$  est paire, le groupe engendré par les réflexions orthogonales le long des arêtes de la cellule étant isomorphe à un sous-groupe spécial  $n$  de  $(W; S)$ ; d'autre part,  $jWj_0$  est bien CAT(0) (voir [25]).

**Remarque 2** De nombreux complexes polyédraux CAT(0) admettent des subdivisions régulières cubiques qui restent CAT(0) lorsqu'on munit les cubes de leurs métriques euclidiennes standard. Par exemple, si  $P$  est un complexe polygonal CAT(0) sans triangle tel que le link d'un sommet de  $P$  ne contient aucun circuit de longueur 3, alors la subdivision de chaque  $k$ -gone de  $P$  en  $k$  carrés, identifiés au carré euclidien unité, fournit un complexe carré encore CAT(0). Voir par exemple l'exemple à la fin de la section 3.2, où le système de murs est toutefois différent de celui obtenu par subdivision cubique. Ce genre de subdivision permet d'appliquer nos résultats de simplicité à des complexes polyédraux CAT(0) non nécessairement pairs (comme l'immeuble de Bourdon avec  $\rho$  impair).

**Remarque 3** On pourrait penser que tout complexe polyédral pair CAT(0) peut être subdivisé en cubes, tout en restant CAT(0), et donc qu'il suffit d'étudier les complexes cubiques. Mais il n'en est rien, comme le montre l'exemple suivant en dimension 2.

Soient  $\ell$  et  $m$  deux entiers supérieurs ou égaux à 3. Considérons un ensemble  $S_{\ell; m}$  de  $\ell m$  points, repartis en  $\ell$  colonnes de  $m$  points chacune. Relions deux points de  $S_{\ell; m}$  si et seulement s'ils n'appartiennent pas à la même colonne. Nous noterons  $K_{\ell; m}$  le graphe ainsi obtenu (dont le graphe complémentaire est donc une union disjointe de  $\ell$  graphes complets sur  $m$  sommets). Comme  $\ell \geq 3$ , ce graphe contient des circuits de longueur 3. Fixons d'autre part un entier  $k \geq 4$ . Nous pouvons considérer le système de Coxeter  $(W_{k; \ell; m}; S_{\ell; m})$  dont le graphe de Coxeter a des arêtes de poids infini entre points d'une même colonne, et des arêtes de poids  $k$  entre points n'appartenant pas à la même colonne. Alors la réalisation géométrique de Davis-Moussong de  $(W_{k; \ell; m}; S_{\ell; m})$  est (la subdivision barycentrique d'un) complexe polygonal  $W_{k; \ell; m}$  homogène  $X$ , dont les polygones sont hyperboliques réguliers à  $2k$  côtes, d'angle aux sommets  $\frac{2}{3}$ , et tel que le link de chaque sommet est isomorphe à  $K_{\ell; m}$  (voir

[23]). Donc  $X$  est un complexe polyédral pair CAT(0). Une subdivision en carrés de  $X$  donne alors des angles aux sommets égaux à  $\frac{\pi}{2}$ , donc des circuits de longueur égale à  $\frac{3}{2} < 2$  dans le link métrique des sommets, ce qui empêche  $X$  d'être CAT(0).

### 4.3 Le graphe associé à l'espace à murs d'un complexe polyédral pair

Soit un nouveau  $P$  un complexe polyédral pair CAT(0) et  $M = \mathcal{M}_P$  son système de murs sur l'ensemble  $X = X_P$  de ses sommets. Nous étudions maintenant les géodésiques du squelette  $G$  de  $P$ , pour la métrique géodésique sur  $G$  rendant chaque arête isométrique au segment unité (qui n'est pas forcément celle induite par  $P$ ). Nous allons voir que cette métrique sur  $G$  vérifie des propriétés analogues à la métrique des mots d'un système de Coxeter.

Si  $c = (a_0; a_1; \dots; a_n)$  est un chemin combinatoire de  $G$  empruntant les  $n + 1$  arêtes  $a_0; a_1; \dots; a_n$ , nous noterons  $M(c)$  la suite  $M(a_0); M(a_1); \dots; M(a_n)$  des murs traversés par  $c$ .

**Lemme 4.7** *Soit  $c$  un chemin combinatoire de  $G$  d'extrémités  $x$  et  $y$ .*

- a) *Un mur  $M$  sépare  $x$  de  $y$  si et seulement s'il apparaît un nombre impair de fois dans la suite  $M(c)$ .*
- b) *Si la suite  $M(c)$  est sans répétition, alors  $c$  est une géodésique de  $G$ .*

**Preuve** a) D'une part, tout mur séparant  $x$  de  $y$  est traversé par  $c$ . D'autre part, si un mur  $M$  est traversé un nombre pair de fois par  $c$ , c'est donc que  $x$  et  $y$  sont dans la même composante connexe de  $P - M$ .

b) Il résulte du a) que, pour un tel chemin, l'ensemble des murs traversés par  $c$  est  $M(x; y)$ , et la longueur de  $c$  est le cardinal de  $M(x; y)$ . Si  $c^d$  est un autre chemin d'extrémités  $x$  et  $y$ , sa longueur est égale au nombre de murs qu'il traverse, donc au moins égale au nombre de murs qu'il traverse un nombre impair de fois. Donc  $c^d$  est au moins aussi long que  $c$ .  $\square$

**Lemme 4.8** *Soit  $O$  l'ouvert des points de  $P$  qui ne sont sur aucun mur de  $P$ . Alors toute composante connexe de  $O$  contient un et un seul sommet de  $P$ .*

**Preuve** Puisque deux sommets distincts de  $P$  sont toujours séparés par un mur, il y a au plus un sommet de  $P$  par composante connexe de  $O$ .

Pour la réciproque, il suffit de considérer le cas où  $P$  est réduit à une cellule  $C$ . Par la proposition 4.1, ceci découle du fait qu'un groupe de Coxeter agit simplement transitivement sur ses chambres.  $\square$

Le résultat suivant montre qu'on peut accompagner une géodésique de  $P$  par une géodésique de son 1-squelette.

**Lemme 4.9** Soient  $x^\partial$  et  $y^\partial$  deux points du polyèdre  $P$  n'appartenant à aucun mur de  $P$ , et  $\gamma$  la géodésique qui les joint dans  $P$ . Alors il existe un chemin combinatoire  $c$  de  $G$  tel que  $M(c)$  est sans répétition, contenu dans la réunion  $V(\gamma)$  des cellules de  $P$  touchant  $\gamma$ , et d'extrémités  $x$  et  $y$  de  $O$  par:  $x^\partial$  et  $x$  (resp.  $y^\partial$  et  $y$ ) sont dans la même composante connexe de  $O$ .

**Preuve** D'abord, par le lemme 4.5, la géodésique  $\gamma$  rencontre un nombre fini de murs, en des points distincts  $z_1, z_2, \dots, z_n$ . Pour prouver le lemme, il suffit de l'établir lorsque  $n = 1$ . En effet, pour  $n$  quelconque, on découpe  $\gamma$  en  $n$  segments géodésiques successifs  $\gamma_i$ , contenant  $z_i$ , d'extrémités  $x_i^\partial$  et  $x_{i+1}^\partial$  contenues dans aucun mur de  $P$ . On applique le lemme pour  $n = 1$  à chacun de ces segments, ce qui fournit  $n$  chemins combinatoires  $c_1, \dots, c_n$ , les extrémités de  $c_i$  étant  $x_i$  et  $x_{i+1}$ , seuls sommets de  $P$  appartenant à la même composante connexe de  $O$  que  $x_i^\partial$  et  $x_{i+1}^\partial$  respectivement. Ainsi, les  $c_i$  se raccordent pour former un chemin  $c$  de  $x$  à  $y$ . De plus, la suite des murs traversés par  $c_i$  est sans répétition. En effet, d'après le lemme 4.7 b), l'ensemble des murs traversés est l'ensemble des murs séparant  $x_i$  de  $x_{i+1}$ , ou encore l'ensemble des murs séparant  $x_i^\partial$  de  $x_{i+1}^\partial$ , c'est-à-dire précisément l'ensemble des murs passant par  $z_i$ . Un mur étant convexe, il ne peut contenir  $z_i$  et  $z_j$  pour  $i \neq j$  (sinon, il contiendrait tous les points entre  $z_i$  et  $z_j$ ). Ceci achève de prouver que la suite des murs traversés par  $c$  est sans répétition. En fin,  $c \subset V(\gamma) \cup \dots \cup V(\gamma_n) \cup V(\gamma)$ .

Considérons donc une géodésique  $\gamma$  entre deux points  $x^\partial$  et  $y^\partial$  n'appartenant à aucun mur, de sorte que  $\gamma$  quitte  $O$  en un seul point  $z$ .

Juste avant  $z$  (resp. juste après  $z$ ), la géodésique  $\gamma$  est dans l'intérieur d'une unique cellule  $C_-$  (resp.  $C_+$ ). Les points de  $\gamma$  avant (resp. après)  $z$  sont dans une même composante connexe de  $O$ , celle de  $x$  (resp. de  $y$ ). Donc  $x \in C_-$  et  $y \in C_+$ . En revanche,  $x^\partial$  n'est pas nécessairement dans  $C_-$  (ni  $y^\partial$  dans  $C_+$ ).

Si  $C$  désigne la plus petite cellule contenant  $z$ , on a  $C \subset C_-$  (resp.  $C \subset C_+$ ), mais pas nécessairement égalité. Cependant, nous allons montrer que  $x \in C$  et  $y \in C$  (même lorsque  $C$  est une face stricte de  $C_-$  ou  $C_+$ ).

Raisonnons par récurrence sur  $\dim(C_-) - \dim(C)$ . Si ce nombre est nul, il n'y a rien à prouver. Sinon  $C$  est contenu dans le bord de  $C_-$ , et nous pouvons

projeter radialement à partir du centre métrique de  $C_-$  sur  $@C_-$  la partie de  $@C_-$  contenue dans  $C_-$ . Nous obtenons une géodésique par morceaux  $\gamma_z$  de  $@C_-$  aboutissant à  $z$ . Mis à part  $z$ , aucun point de  $\gamma_z$  n'est sur un mur de  $C_-$ , sinon, par convexité des murs, le point de  $@C_-$  correspondant serait sur le même mur. La partie de  $\gamma_z$  juste avant  $z$  (notée  $\gamma_z^-$ ) est une géodésique aboutissant à  $z$  dans une face stricte de  $C_-$ : on peut lui appliquer l'hypothèse de récurrence, assurant que l'unique sommet  $x_z$  de  $P$  contenu dans la composante connexe de  $O$  contenant  $\gamma_z^-$  est un sommet de  $C$ . D'autre part, un point de  $@C_- \setminus \gamma_z$  (différent de  $z$ ) et sa projection sur  $\gamma_z$  ne sont séparés par aucun mur (par convexité, un tel mur, qui passe par le centre métrique de  $C_-$ , devrait contenir le point de  $@C_-$ ). Ce qui prouve que  $x = x_z$  et achève la récurrence.

Les deux sommets  $x$  et  $y$  appartenant à une même cellule  $C$  (rencontrant en  $z$ , et engendrée par ce point), nous pouvons considérer une géodésique  $c$  du 1{squelette de  $C$  entre  $x$  et  $y$ . Nous avons déjà  $c \in V(\cdot)$ . Il reste à prouver que la suite des murs de  $P$  traversés par  $c$  est sans répétition. Raisonnons par l'absurde: si c'est le cas, il existe deux arêtes  $a$  et  $b$  de  $c$  traversant un même mur  $M$  de  $C$ , et dont les milieux sont les extrémités d'une composante connexe  $c_0$  de  $c - M$ . Alors, en remplaçant  $c_0$  par  $_{a,C}(c_0)$ , on obtient un chemin du 1{squelette de  $C$  de même longueur et mêmes extrémités que  $c$ , mais avec deux allers-retours dans les arêtes  $a$  et  $b$ . Ceci contredit le fait que  $c$  est géodésique.  $\square$

Le corollaire suivant nous permet d'identifier par la suite le 1{squelette de  $P$  au graphe de l'espace à murs  $(X_P; M_P)$ .

**Corollaire 4.10** *Deux sommets de  $P$  sont liés par une arête de  $P$  si et seulement s'ils sont liés dans  $G(X_P; M_P)$ .*

**Preuve** La condition est bien sûr nécessaire. Réciproquement, soient  $x$  et  $y$  deux sommets de  $P$  à distance combinatoire  $n > 1$ . Il s'agit de montrer que  $x$  et  $y$  ne sont pas liés dans  $G(X; M)$ , autrement dit qu'il existe un sommet  $z$  de  $P$  entre  $x$  et  $y$  (au sens des murs). Considérons la géodésique de  $P$  entre  $x$  et  $y$ . Appliquons-lui le lemme 4.9. Nous trouvons un chemin  $c$  de  $G$  entre  $x$  et  $y$ , tel que la suite des murs traversés par  $c$  est sans répétition. En particulier, d'après le lemme 4.7 b), le chemin  $c$  est géodésique. Comme  $n > 1$ , le chemin  $c$  contient un point  $z$  différent de ses extrémités, qui découpe  $c$  en deux sous-chemins  $c_-$  et  $c_+$ . Si  $c$  est constitué des arêtes  $a_1; \dots; a_n$ , avec

$z = a_i \setminus a_{i+1}; i < n$ , on obtient, grâce au lemme 4.7 b):

$$\begin{aligned} M(x; y) &= fM(a_1); \dots; M(a_i); M(a_{i+1}); \dots; M(a_n)g; \\ M(x; z) &= fM(a_1); \dots; M(a_i)g \\ M(z; y) &= fM(a_{i+1}); \dots; M(a_n)g; \end{aligned}$$

Donc  $M(x; y)$  est bien l'union (disjointe) de  $M(x; z)$  et  $M(z; y)$ : le point  $z$  est entre  $x$  et  $y$  dans  $(X; M)$ .  $\square$

Le resultat suivant est analogue a celui des complexes de Coxeter (voir [27]) et des complexes cubiques (voir [28]).

**Proposition 4.11** *Un chemin combinatoire du 1 {squelette est une geodesique si et seulement si la suite des murs qu'il traverse est sans repetition.*

**Preuve** Compte tenu du lemme 4.7 b), il ne reste que le sens "seulement si" a demontrer. Commencons par un analogue combinatoire de la convexite des murs de  $P$ .

**Lemme 4.12** *Soient  $M$  un mur de  $P$ ,  $V(M)$  la reunion des cellules touchant  $M$ ,  $x$  et  $y$  deux sommets de  $V(M)$ . Alors il existe une geodesique de  $G$  d'extremities  $x$  et  $y$  contenue dans  $V(M)$ .*

**Preuve** D'abord, d'apres les hypotheses de finitude sur les types d'isometrie des cellules de  $P$ , il existe un  $\epsilon > 0$  tel que toute cellule de  $P$  passant a distance inferieure ou egale a  $\epsilon$  de  $M$  coupe  $M$ .

Soit alors  $C_x$  une cellule de  $P$  contenant  $x$  et touchant  $M$ . Le centre metrique  $\hat{C}_x$  de  $C_x$  est dans  $M$ , mais le segment de  $x$  a  $\hat{C}_x$  ne touche aucun mur de  $P$  entre ses extremities (sinon  $x$  serait dans ce mur). Nous pouvons donc trouver sur ce segment un point  $x^\epsilon$  distinct de  $\hat{C}_x$ , mais  $\epsilon$  proche de celui-ci, donc  $\epsilon$  proche de  $M$ . Il faut noter que  $x$  et  $x^\epsilon$  sont dans la même composante connexe de  $O$ . De même, il existe un point  $y^\epsilon$  n'appartenant a aucun mur, dans la même composante connexe de  $O$  que  $y$ , et  $\epsilon$  proche de  $M$ . Par convexite (de l'espace  $P$  et de  $M$  dans  $P$ ), la geodesique de  $x^\epsilon$  a  $y^\epsilon$  reste a distance inferieure ou egale a  $\epsilon$  de  $M$ . Par definition de  $\epsilon$ , cela entraîne que  $V(x^\epsilon) \subset V(M)$ . Donc la geodesique de  $G$  fournie par le lemme 2 entre  $x$  et  $y$  reste dans  $V(M)$ .  $\square$

Pour montrer la proposition, considerons un chemin  $c$  qui traverse (au moins) deux fois un mur  $M$  de  $P$ , et prouvons que  $c$  n'est pas geodesique. Nous pouvons trouver un sous-chemin  $c_0$  de  $c$  qui ne traverse pas  $M$ , mais dont

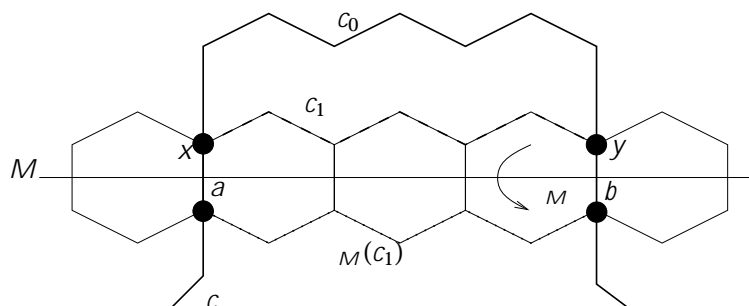


Figure 4: Comment raccourcir les chemins par réflexion

les extrémités sont des sommets  $x$  et  $y$  d'arêtes  $a$  et  $b$  transverses à  $M$  et contenues dans  $c$ .

En appliquant le lemme 4.12, nous remplaçons  $c_0$  par une géodésique  $c_1$  de  $G$  contenue dans  $V(M)$  et d'extrémités  $x$  et  $y$ . Le chemin  $c^d$  ainsi obtenu a les mêmes extrémités que  $c$ , il n'est pas plus long, et il contient comme sous-chemin  $(a; c_1; b)$ . Or  $V(M)$  possède une réflexion  $M$  par rapport à  $M$ : le chemin  $M(c_1)$  a les mêmes extrémités que  $(a; c_1; b)$ , mais il est plus court de deux unités. Ceci prouve que ni  $c^d$ , ni a fortiori  $c$ , ne sont géodésiques.  $\square$

Compte tenu de la proposition 4.11, la preuve du théorème 1.5 est exactement la même que celle du théorème B de [26].

#### 4.4 Hyperbolicité de l'espace à murs d'un complexe polyédral pair

Soit  $P$  un complexe polyédral pair CAT(0), dont la métrique est hyperbolique au sens de Gromov (par exemple,  $P$  est CAT(-1)). Comme  $P$  n'a qu'un nombre fini de types d'isométrie de cellules, le diamètre des cellules est uniformément majoré. Donc l'inclusion du squelette  $G$  dans  $P$  est une quasi-isométrie (quasi-surjective), et  $G$  est hyperbolique.

Nous allons montrer que la condition (H) est remplie dans  $(X_P; M_P)$ , en établissant son analogue dans  $P$ . Comme d'habitude, nous notons  $\overline{P}$  le compactifié de Gromov de  $P$  (donc  $\overline{P} = P \cup \partial P$ ), et si  $E$  est une partie de  $P$ , nous notons  $\overline{E}$  son adhérence dans  $\overline{P}$ . Compte tenu des lemmes 4.5 et 4.4, le premier lemme suivant est clair.

**Lemme 4.13** Soient  $M$  un mur de  $P$ ,  $x$  un point de  $M$  et  $\rho_x: \overline{P} \rightarrow Ik(x; P)$  la projection qui a un rayon de  $P$  d'origine  $x$  associe la direction qu'il prend en partant de  $x$ . Alors  $\overline{M}$  sépare  $\overline{P}$  en deux composantes connexes, images réciproques par  $\rho_x$  des deux composantes connexes de  $Ik(x; P) - Ik(x; M)$ .  $\square$

**Lemme 4.14** Il existe une constante  $D > 0$  telle que deux points de  $P$  a distance supérieure ou égale à  $D$  sont séparés par au moins un mur de  $P$ .

**Preuve** Puisque  $P$  n'a qu'un nombre fini de types d'isométrie de cellules, il existe un entier  $N$  bornant le nombre de murs susceptibles de traverser une cellule donnée de  $P$ . Soient  $x$  et  $y$  deux points quelconques de  $P$ , et considérons deux sommets  $x_0$  et  $y_0$  contenus dans une même cellule que  $x$  et  $y$  respectivement. Le nombre des murs séparant  $x_0$  de  $x$  ou  $y_0$  de  $y$  est inférieur à  $2N$ . D'autre part, d'après l'étude de la distance combinatoire sur  $G$ , nous savons que le nombre de murs séparant  $x_0$  de  $y_0$  vaut la distance entre  $x_0$  et  $y_0$  dans  $G$ . Cette distance tend vers l'infini avec la distance dans  $P$  entre  $x$  et  $y$ , par quasi-isométrie entre  $P$  et  $X$ , et puisque le diamètre des cellules est uniformément borné. En particulier, il existe un nombre  $D > 0$  tel que, si  $d_P(x; y) > D$ , alors  $x_0$  et  $y_0$  sont séparés par au moins  $2N + 1$  murs de  $P$ . L'un de ces murs ne sépare ni  $x_0$  de  $x$ , ni  $y_0$  de  $y$ . Donc il sépare  $x$  de  $y$ .  $\square$

Si  $x_0$  est un point base de  $P$ ,  $\gamma$  un point de  $\partial P$  et  $r_0$  l'unique rayon géodésique de  $P$  joignant  $x_0$  à  $\gamma$ , nous notons  $\mathcal{M}(r_0)$  l'ensemble des murs  $M$  de  $P$  tels que  $\overline{M}$  sépare  $x_0$  de  $\gamma$ .

**Lemme 4.15** Pour tout rayon géodésique  $r$  de  $P$ , l'ensemble  $\mathcal{M}(r)$  est fini.

**Preuve** Considérons la suite de points  $(x_k)_{k \geq 0}$  du rayon  $r$  définie par:  $x_0$  est l'origine de  $r$ , et  $x_k$  est le point de  $r$  à distance  $kD$  de  $x_0$  où  $D$  est la constante du lemme 4.14 précédent. Il existe donc pour  $k > 0$  un mur  $M_k$  séparant  $x_{k-1}$  de  $x_k$ . Pour  $k < k'$ , on a nécessairement  $M_k \notin \mathcal{M}(r)$  (sinon, par convexité, ce mur contiendrait les points  $x_{k+1}$  et  $x_{k-1}$ ).

Le mur  $M_k$  et le point  $x_k$  ne sont pas adhérents. En effet, si  $m_k$  désigne le point d'intersection de  $M_k$  avec le sous-segment de  $r$  entre  $x_{k-1}$  et  $x_k$ , la projection de  $m_k$  dans  $Ik(m_k; P)$  correspond à la géodésique  $[m_k; x_k]$ , non tangente à  $M$ . Le lemme 4.13 entraîne bien que  $x_k \notin \overline{M}$ . La portion de  $r$  de  $x_0$  à  $x_{k-1}$  ne coupe pas  $M_k$  (sinon, par convexité,  $M_k$  contiendrait  $x_{k-1}$ ). De même, la portion de  $r$  de  $x_k$  à l'infini ne coupe pas  $M_k$ . Mais  $M_k$  sépare  $x_{k-1}$  de  $x_k$ . Donc  $M_k \notin \mathcal{M}(r)$ .  $\square$

Soient  $M$  un mur de  $P$  et  $x$  un point de  $@P$  non adhérent à  $M$  dans  $\bar{P}$ . Nous noterons  $V(x; M)$  la composante connexe de  $\bar{P} - \bar{M}$  contenant  $x$ .

**Proposition 4.16** *La famille  $(V(x; M))_{M \in \mathcal{M}(r_0)}$  est une base de voisinages de  $x$  dans  $\bar{P}$ .*

**Preuve** Remarquons tout d'abord que  $V(x; M)$  est bien un voisinage de  $x$ . Pour montrer que la famille est une base de voisinages, raisonnons par l'absurde. Par définition de la topologie de  $G$  [  $@G$ , supposons que les distances  $d_P(x_0; V(x; M))$  restent bornées pour  $M \in \mathcal{M}(r_0)$ .

En fait,  $x_0$  n'appartient à aucun des voisinages  $V(x; M)$  pour  $M \in \mathcal{M}(r_0)$ . Donc  $d_P(x_0; V(x; M))$  est atteinte sur le bord de  $V(x; M)$ , c'est-à-dire sur  $M$ . Nous sommes donc en train de supposer que tous les murs de  $\mathcal{M}(r)$  rencontrent une certaine boule fermée  $B$  de centre  $x_0$  et de rayon  $R$ .

Si  $P$  est supposé localement compact, nous obtenons immédiatement une contradiction entre la localité de l'ensemble des murs et le fait que  $\mathcal{M}(r)$  est infini.

Donnons un raisonnement général, où l'on ne suppose plus les liens de sommet de  $P$  compacts. Dans ce cas les boules de  $P$  de rayons trop grands peuvent rencontrer une infinité de murs. Cependant, par finitude du nombre de types d'isométrie de cellules de  $P$ , il existe un  $\epsilon_0 > 0$  (qu'on peut choisir strictement inférieur à  $R$ ) et un entier  $N_0 > 0$  tels que toute  $\epsilon_0$ -boule fermée de  $P$  rencontre un nombre de murs strictement inférieur à  $N_0$ .

Pour un entier  $N \leq N_0$ , posons  $t_N = ND(\frac{R}{\epsilon_0} + 1)$  et  $s_N = ND\frac{R}{\epsilon_0}$  (le nombre  $D$  est celui qui apparaît dans le lemme 4.14). Appelons  $x_N$  (resp.  $y_N$ ) le point du rayon  $r$  à distance  $s_N$  (resp.  $t_N$ ) de l'origine  $x_0$ . Montrons tout d'abord que toute géodésique de  $P$  joignant un point  $u$  de la boule  $B$  à un point  $v$  de  $r$  entre  $x_N$  et  $y_N$  passe par la  $\epsilon_0$ -boule fermée de  $P$  de centre  $x_N$ .

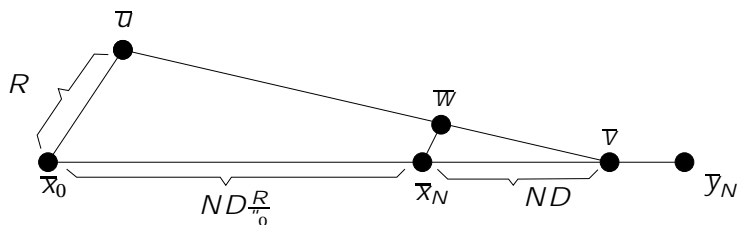


Figure 5: Triangle de comparaison



En e et, considerons le triangle geodesique de  $P$  dont les sommets sont  $x_0$  et les extremités  $u; v$  de . Soient  $\overline{x_0}; \overline{u}; \overline{v}$  les sommets correspondants d'un triangle euclidien de comparaison. Si  $\overline{x_N} \in [\overline{x_0}; \overline{v}]$  est le point correspondant a  $x_N$ , alors:

$$d(\overline{x_0}; \overline{u}) = R; d(\overline{x_0}; \overline{v}) = ND \frac{R}{r_0}; d(\overline{x_N}; \overline{v}) = ND:$$

Soit  $w$  le point de  $[\overline{u}; \overline{v}]$  situe sur la parallele au cote  $[\overline{x_0}; \overline{u}]$  passant par  $\overline{x_N}$ . Alors par le theoreme de Thales, il vient

$$\frac{d(w; \overline{x_N})}{ND} = \frac{R}{ND \frac{R}{r_0}}.$$

Par l'inegalite CAT(0), la distance de  $x_N$  au point  $w$  de correspondant a  $w$  est donc inferieure a  $r_0$ .

Pour achever la demonstration de la proposition, decoupons le sous-segment de  $r$  entre  $x_N$  et  $y_N$  en  $N$  intervalles de longueur  $D$ . Par le lemme 4.14, on trouve  $N$  murs deux a deux distincts separant les extremités de ces intervalles. Ces  $N$  murs sont dans  $M(r_0)$  (voir preuve du lemme 4.15). Ils passent par un point du sous-segment de  $r$  entre  $x_N$  et  $y_N$ , et d'autre part ils coupent la boule  $B$  par hypothese. Par convexite des murs et ce qui precede, chacun de ces murs coupe la  $r_0$ -boule fermee de  $P$  de centre  $x_N$ . Ainsi cette boule est coupee par  $N$  murs, avec  $N \leq N_0$ , en contradiction avec les definitions de  $r_0$  et  $N_0$ .  $\square$

L'image reciproque par l'inclusion canonique de  $G$  dans  $P$  est une quasi-isometrie, se prolongeant en un homeomorphisme entre les bords. On obtient ainsi un plongement  $\tilde{\gamma}: \overline{G} \rightarrow \overline{P}$ . De plus l'image reciproque par  $\tilde{\gamma}$  d'un voisinage d'un point de  $@P$  est un voisinage du point correspondant sur  $@G$ . La proposition precedente entraîne donc que  $(X; M)$  verifie l'axiome (H).

Nous resumons les resultats 4.6, 4.10, 4.16 dans l'annonce suivant.

**Theoreme 4.17** *Soit  $P$  un complexe polyedral pair CAT(0), hyperbolique au sens de Gromov. Alors  $(X_P; M_P)$  est un espace a murs hyperbolique, dont le graphe associe est le 1-squelette de  $P$ .*

Un mur  $M$  de  $P$  est dit *propre* si  $@P \cap @A$  est non vide pour chacune des composantes connexes  $A$  de  $P \cap M$ . Ceci equivaut au fait que le mur correspondant de l'espace a murs  $(X_P; M_P)$  est propre.

**Lemme 4.18** *Supposons que chaque arête de  $P$  soit contenue dans une droite geodesique. Alors tout mur de  $P$  est propre.*

**Preuve** Soit  $M$  un mur transverse à une arête  $d$ , et  $A; B$  les deux composantes connexes de  $P \setminus M$ . Soit  $D$  une droite géodésique contenant  $d$ , et  $a; b$  l'extrémité du rayon géodésique  $D \setminus A; D \setminus B$  respectivement. Alors puisque  $P$  est CAT(0) et que l'angle entre  $M$  et  $d$  est droit au point d'intersection, le point  $a$  n'appartient pas à  $@B$ , ni  $b$  à  $@A$ . Donc  $M$  est propre.  $\square$

## 5 Groupes d'automorphismes d'un complexe polyédral pair

Nous considérons  $P$  un complexe polyédral pair CAT(0). Nous notons  $(X; M) = (X_P; M_P)$  son espace à murs associé et  $G$  le 1{squelette de  $P$ .

### 5.1 Automorphismes de l'espace à murs d'un complexe polyédral pair

Le but de cette section est de montrer que le groupe des automorphismes de  $P$  et celui de  $(X; M)$  coïncident.

Si  $f$  est un automorphisme isométrique de  $P$ ,  $C$  une cellule de  $P$  et  $a$  une arête de  $C$ , alors  $f(M(a; C)) = M(f(a); f(C))$ . Aussi, tout automorphisme isométrique de  $P$  agit sur l'ensemble des murs de  $P$ . Plus généralement, un isomorphisme (non nécessairement isométrique) entre deux cellules paires préserve le parallélisme entre arêtes. En effet, deux arêtes  $a$  et  $b$  d'une cellule paire  $C$  sont parallèles si et seulement si il existe une géodésique combinatoire  $\gamma$  du 1{squelette de  $C$  joignant une extrémité de  $a$  à une extrémité de  $b$ , de sorte que  $a$  suivie de  $\gamma$ , ainsi que  $\gamma$  suivie de  $b$ , soit encore géodésique, mais  $(a; \gamma; b)$  n'est plus géodésique. D'autre part, deux sommets  $x$  et  $y$  sont du même côté d'un mur  $M$  si et seulement si une géodésique de  $x$  à  $y$  ne contient pas d'arête transverse à  $M$ .

Ainsi, le parallélisme des arêtes est une notion ne faisant appel qu'à la combinatoire de  $C$ , et même seulement de son 1{squelette. Si  $f$  est un isomorphisme (polyédral) d'une cellule paire  $C$  sur une autre cellule paire  $C'$ , et si  $M$  est un mur de  $C$ , alors les arêtes de  $C'$  images par  $f$  des arêtes de  $C$  transverses à  $M$  sont toutes transverses à un même mur de  $C'$ , qu'on notera  $f(M)$ . Et deux sommets  $x$  et  $y$  de  $C$  sont du même côté de  $M$  si et seulement si  $f(x)$  et  $f(y)$  sont du même côté de  $f(M)$ .

Les résultats précédents restent valables pour  $P$  tout entier. Il y a donc un morphisme canonique (d'ailleurs clairement injectif) du groupe  $\text{Aut}(P)$  des automorphismes (polyédraux) de  $P$  dans  $\text{Aut}(X; M)$ .

**Theoreme 5.1** Soit  $P$  un complexe polyedral pair  $CAT(0)$ . Alors le morphisme de  $\text{Aut}(P)$  dans  $\text{Aut}(X_P; M_P)$  ci-dessus est un isomorphisme.

**Preuve** Si  $G(X; M)$  est le graphe associe a  $(X; M)$ , alors nous avons defini un morphisme injectif  $\text{Aut}(X; M) \rightarrow \text{Aut} G(X; M)$ . Comme  $G(X; M)$  s'identifie avec le 1{squelette combinatoire  $G$  de  $P$ , si  $\text{Aut} P \rightarrow \text{Aut} G$  est l'application de restriction d'un automorphisme de  $P$  a son 1{squelette, alors le diagramme suivant est commutatif:

$$\begin{array}{ccc} & \text{Aut}(X; M) & \\ \% & \rightarrow & \& \\ \text{Aut} P & \rightarrow & \text{Aut} G \end{array}$$

Pour etablir que tous ces morphismes injectifs sont des isomorphismes, il suffit de montrer que  $\text{Aut} P \rightarrow \text{Aut} G$  est surjective, i.e. que l'on peut construire un automorphisme (polyedral) de  $P$  a partir d'un automorphisme de son 1{squelette  $G$ .

**Lemme 5.2** Soient  $C$  une cellule de  $P$  et  $a$  une arête de  $P$  telle que l'intersection  $a \cap C$  est reduite a un sommet  $x_0$ . Alors le mur transverse a  $a$  ne coupe pas  $C$ .

**Preuve** Supposons, par l'absurde, qu'il existe une cellule  $C$ , une arête  $a$  et un sommet  $x_0$  tels que  $a \cap C = \{x_0\}$  et  $M = M(a)$  coupe  $C$ . Soient  $y_0$  le sommet de  $C$  symetrique de  $x_0$  par rapport a  $M$ , et  $\rho$  le point ou la geodesique qui joint  $x_0$  a  $y_0$  (dans  $C$ ) coupe  $M$ . Alors  $\rho$  est le point de  $M \cap C$  le plus proche de  $x_0$ .

En fait, pour toute cellule  $D$  dont  $C$  est une face,  $\rho$  est encore le point de  $M \cap D$  le plus proche de  $x_0$ : donc  $\rho$  est un minimum local (strict) pour la fonction qui a un point  $q$  de  $M$  associe sa distance a  $x_0$  dans  $P$ . Mais il en va de même pour le point  $\rho'$ , milieu de l'arête  $a$ . Or  $\rho' \neq \rho$ , puisque  $a \not\subset C$ , ce qui donne deux minimaux locaux sur  $M$  a la fonction "distance a  $x_0$ ", en contradiction avec la convexite de cette fonction et celle de  $M$  dans  $P$ .  $\square$

**Corollaire 5.3** Le 1{squelette d'une cellule  $C$  est convexe dans  $G$ , le 1{squelette de  $P$ .

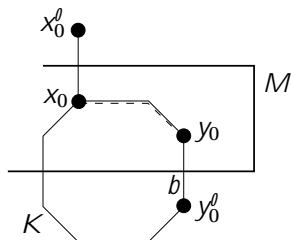
**Preuve** Soient  $x_0, y_0$  deux sommets de  $C$ , et  $\gamma$  un chemin de  $G$  entre  $x_0$  et  $y_0$ , qui sort de  $C$ . D'apres le lemme precedent, la suite des murs traverses par  $\gamma$  contient un mur ne coupant pas  $C$ . Or l'ensemble des murs qui separe  $x_0, y_0$  est contenu dans l'ensemble des murs coupant  $C$ . Donc, d'apres la proposition 4.11,  $\gamma$  ne peut être geodesique.  $\square$

Notons  $E$  l'ensemble des cellules de  $P$  et  $F$  l'ensemble des sous-graphes convexes de  $G$  isomorphes au graphe de Cayley d'un système de Coxeter fini.

Comme le squelette d'une cellule paire est le graphe de Cayley d'un système de Coxeter fini (Proposition 4.1), le corollaire ci-dessus montre que l'application  $i: C \setminus G \rightarrow C \setminus G$  est une application (injective) de  $E$  dans  $F$ . Pour retrouver les cellules de  $P$  à partir de son squelette, nous allons montrer que  $i(E) = F$ .

**Lemme 5.4** Soient  $K$  un élément de  $F$  et  $a$  une arête de  $P$  telle que l'intersection  $a \setminus K$  est réduite à un sommet  $x_0$ . Alors le mur  $M$  transverse à l'arête  $a$  ne recoupe pas  $K$ .

**Preuve** Raisonnons par l'absurde. Soit  $b$  une arête de  $K$  transverse à  $M$ . Notons  $y_0$  l'extrémité de  $b$  du même côté de  $M$  que  $x_0$ , puis  $x'_0$  et  $y'_0$  les images de  $x_0$  et  $y_0$  par la réflexion  $\sigma_M$  du voisinage  $V(M)$  de  $M$ . Comme le squelette de  $V(M)$  est géodésique dans le squelette de  $P$  (voir lemme 4.12), il existe une géodésique  $\gamma$  de  $G$  entre  $x_0$  et  $y_0$  contenue dans  $V(M)$ . Mais comme  $K$  est convexe dans  $G$ , on a  $\gamma \subset K$ .



Puisque  $x_0$  et  $y_0$  ne sont pas séparés par  $M$ , le chemin  $\gamma$  ne coupe pas le mur  $M$ . Donc  $(\gamma; b)$  est une géodésique de  $G$  entre  $x_0$  et  $y'_0$  (voir lemme 4.11). Le chemin  $(a; \sigma_M(\gamma))$  a les mêmes extrémités et la même longueur, mais il passe par  $x'_0 \notin K$ : ceci contredit la convexité de  $K$  dans  $G$ .  $\square$

**Lemme 5.5** Soient  $K$  un élément de  $F$  et  $M$  un mur coupant une arête  $a$  de  $K$ . Alors chaque arête de  $K$  touchant  $a$  est contenue dans  $V(M)$ , et l'ensemble de ces arêtes est invariant par  $\sigma_M$ .

**Preuve** Soient  $x_0$  et  $y_0$  les extrémités de  $a$ , et  $b$  une arête de  $K$  distincte de  $a$ , contenant  $y_0$ . Il s'agit de montrer que  $b$  est dans  $V(M)$ , et que  $\sigma_M(b)$  est dans  $K$ .

Soit  $(W; S)$  le système de Coxeter de graphe de Cayley  $G(W; S)$  isomorphe à  $K$ . Puisque  $W$  est transitif sur les sommets de  $G(W; S)$ , on peut trouver

un isomorphisme  $\gamma$  de  $G(W; S)$  sur  $K$  envoyant 1 sur  $x_0$ . Soient  $s$  et  $w$  les éléments de  $W$  dont l'image par  $\gamma$  sont  $y_0$  et  $z_0$ , la deuxième extrémité de  $b$ . D'abord,  $s \in S$ , puisqu'il est lié à 1 dans  $G(W; S)$  par l'arête  $\gamma^{-1}(a)$ . Ensuite, il existe  $t \in S$ ,  $t \neq s$ , tel que  $w = st$ . Considérons  $G_{s,t}$ , le sous-graphe plein de  $G(W; S)$  dont les sommets sont  $1; s; st; sts; \dots; 1$ . C'est un graphe homéomorphe à un cercle, contenant  $2m_{s,t}$  arêtes, où  $m_{s,t}$  désigne l'ordre du produit  $st$  dans  $W$ . Ce sous-graphe est une maille de  $G(W; S)$ , au sens suivant: une maille est un circuit de longueur  $2m$  totalement géodésique dans  $G(W; S)$ , tel que si deux de ses sommets sont à distance strictement inférieure à  $m$ , il y a une unique géodésique de  $G(W; S)$  les joignant (alors nécessairement contenue dans le circuit).

L'image de  $G_{s,t}$  dans  $K$  est une maille  $K_{s,t}$  de  $K$ ; par convexité de  $K$  dans  $G$ , c'est aussi une maille de  $G$ . L'arête  $a^b$  de  $K_{s,t}$  la plus éloignée de  $a$  est caractérisée par l'existence d'un sous-segment  $c$  de  $K_{s,t}$ , tel que  $c$  joint  $y_0$  à une extrémité  $y_0^b$  de  $a^b$ ,  $(a; c)$  et  $(c; a^b)$  sont géodésiques, mais  $(a; c; a^b)$  ne l'est pas.

Des trois dernières propriétés et de la proposition 4.11, il résulte que  $M(a) = M(a^b)$ .

D'après le lemme 4.12, il existe une géodésique de  $y_0$  à  $y_0^b$  contenue dans  $V(M)$ . Mais comme  $K_{s,t}$  est une maille, cette géodésique est  $c$ . Alors  $M(c)$  est une géodésique entre deux points de  $K_{s,t}$  à distance strictement inférieure à  $m_{s,t}$ , donc  $M(c) \subset K_{s,t}$ .  $\square$

**Lemme 5.6** Soient  $K$  un élément de  $F$  et  $C$  une cellule de  $P$  dont le squelette contient un sommet  $x_0$  de  $K$  tel que  $St(x_0; K) = St(x_0; i(C))$ . Alors  $K = i(C)$ .

**Preuve** On peut supposer la dimension de  $C$  au moins égale à deux, sinon il n'y a rien à montrer. Par connexité de  $C$ , il suffit de montrer que  $K$  est un ouvert de  $i(C)$ . Par connexité de  $K$ , il suffit de montrer que si  $x_0$  est un sommet de  $K$  tel que  $St(x_0; K) = St(x_0; i(C))$ , alors pour tout voisin  $y_0$  de  $x_0$  dans  $K$ , on a encore  $St(y_0; K) = St(y_0; i(C))$ .

Soit  $a$  l'arête de  $K$  d'origine  $x_0$  et d'extrémité  $y_0$ , et  $M$  le mur transverse à  $a$ . Comme  $M$  preserve  $i(C)$  et l'ensemble des arêtes de  $K$  touchant  $a$  (d'après le lemme 5.5), on a:

$$\begin{aligned} St(y_0; K) &= St(M(x_0); K) = M(St(x_0; K)) = \\ &= M(St(x_0; i(C))) = St(y_0; i(C)); \end{aligned} \quad \square$$

**Proposition 5.7** *L'application  $i: E \rightarrow F$  est surjective.*

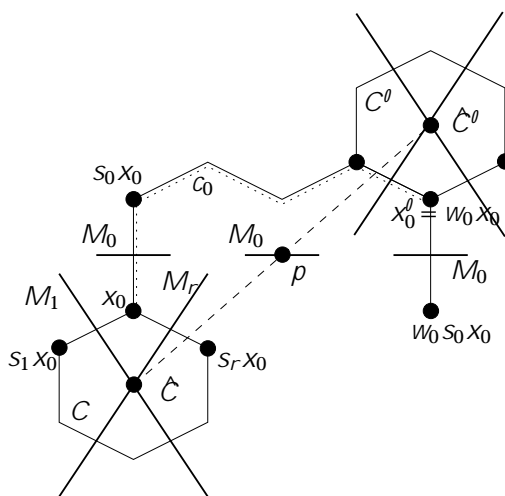
**Preuve** On raisonne par recurrence sur le rang du systeme de Coxeter dont  $K$  est le graphe de Cayley (cela correspond au degre du graphe regulier  $K$ ). Il n'y a rien a dire en rang 1.

Soit  $K \supseteq F$  de rang  $r + 1$  superieur ou egal a 2. Considerons un sommet  $x_0$  de  $K$ , et soient  $a_0; a_1; \dots; a_r$  les arêtes issues de  $x_0$ ; nous noterons  $M_i$  le mur transverse a l'arête  $a_i$ . Alors il existe un systeme de Coxeter fini  $(W; S = \{s_0; s_1; \dots; s_r\})$  et un isomorphisme de son graphe de Cayley  $G(W; S)$  sur  $K$  envoyant 1 sur  $x_0$  et l'arête issue de 1 preservere par  $s_i$  sur  $a_i$ . Considerons maintenant  $V$ , le sous-groupe special de  $(W; S)$  engendré par  $T = \{s_1; \dots; s_r\}$ . Il y a une unique copie de son graphe de Cayley contenue dans le graphe de Cayley de  $(W; S)$  et passant par 1; a ce sous-graphe correspond un sous-graphe  $L$  de  $K$ .

Un resultat classique sur les sous-groupes speciaux (cf. [5]) entraîne que  $L$  est convexe dans  $G$ . On peut donc appliquer l'hypothese de recurrence a  $L$ , et trouver une cellule  $C$  de  $P$  dont  $L$  est le squelette.

Comme  $(W; S)$  est fini, il possede un unique element  $w_0$  de longueur maximale: soit  $x_0^l$  le sommet correspondant de  $K$ .

**Fait 1** Notons d'abord que les arêtes de  $K$  issues de  $x_0^l$  sont traversees par les murs  $M_i$ , qui de plus separent  $x_0^l$  de  $x_0$ .



**Preuve** Pour tout  $s_i$  de  $S$ , l'element  $s_i w_0$  doit être lie a  $w_0$  dans  $G(W; S)$ , ce qui signifie qu'il existe un  $s_j \in S$  tel que  $s_i w_0 = w_0 s_j$ . Soit  $c_i$  une geodesique

de  $G(W; S)$  de 1 à  $w_0$  commençant par l'arête de 1 à  $s_j$ : la suite des murs de  $G(W; S)$  traversés par  $c_i$  est sans répétition. Alors le chemin  $c_i$  formé de  $c_i$  suivi de l'arête de  $w_0$  à  $s_j: w_0 = w_0: s_j$  n'est pas géodésique, car le premier mur qu'elle traverse est  $M(s_j) = M(w_0: s_j: w_0^{-1})$ , donc égal au dernier. On en déduit que le chemin  $c_i^l$  tel que l'arête de 1 à  $s_j$  suivie de  $c_i^l$  égale  $c_i$  est géodésique.

En prenant les images de ces trois chemins dans  $K$ , en utilisant la convexité de  $K$  dans  $G$  et la caractérisation des géodésiques combinatoires par la suite des murs traversés, on voit que le mur  $M_i$  coupe une arête issue de  $x_0^l$ , et sépare  $x_0$  de  $x_0^l$ .  $\square$

Comme ci-dessus, il y a une unique copie convexe de  $L$  dans  $K$  passant par  $x_0^l$ , coupée par les murs  $M_1; \dots; M_r$ : nous la noterons  $L^l$  et  $C^l$  sera la cellule de  $P$  dont le 1-squelette est  $L^l$ .

Les centres métriques des cellules  $C$  et  $C^l$  sont des points  $\hat{C}$  et  $\hat{C}^l$  de  $M_1 \setminus \dots \setminus M_r$ ; par convexité, la géodésique qui les joint est aussi dans cette intersection. D'autre part, la géodésique joignant  $\hat{C}$  à  $x_0$  ne coupe que les murs de  $C$ , donc pas  $M_0$  (d'après le lemme 5.2). Un résultat analogue étant vrai pour  $x_0^l$ , et  $M_0$  séparant  $x_0$  de  $x_0^l$ , la géodésique doit couper  $M_0$ . Comme  $\hat{C} \notin M_0$ , l'intersection de  $C$  avec  $M_0$  ne contient qu'un point  $\rho$ .

Soit  $D$  la cellule de  $P$  engendrée par  $C$  juste après  $\hat{C}$ ; comme  $C \setminus C = \hat{C}$ , la cellule  $D$  contient  $C$  comme face stricte.

**Fait 2** Le point  $\rho$  appartient à  $D$ .

**Preuve** Par l'absurde, supposons que  $\rho$  n'est pas dans  $D$ . Alors  $C$  ressort de  $D$  par un point  $q$  de son bord; ce point est dans  $M_1 \setminus \dots \setminus M_r$ . Comme  $\hat{C}$  reste dans l'intérieur de  $D$  entre  $\hat{C}$  et  $q$ , ces deux points ne peuvent être sur une même face du bord de  $D$ . Soit  $F$  la face stricte de  $D$  engendrée par  $q$ ; cette cellule paire est coupée par les murs  $M_i; 1 \leq i \leq r$ , donc invariante par les réflexions  $M_i$ , tout comme  $C$ .

Montrons que  $F$  est disjointe de  $C$ . Si  $F$  contenait un sommet de  $C$ , elle contiendrait toutes ses images par le groupe d'isométrie de  $D$  engendrée par les réflexions  $M_i; 1 \leq i \leq r$ . Mais ce groupe est (simplement) transitif sur l'ensemble des sommets de  $C$ . Donc  $F$  contiendrait tous les sommets de  $C$ , autrement dit  $C$  elle-même. Mais alors  $\hat{C}$  et  $q$  seraient dans une même face  $F$  du bord de  $D$ , ce qui n'est pas.

Considérons une géodésique combinatoire  $c$  de  $x_0 \notin C$  à un sommet de  $F$ , de longueur minimale. Par convexité de  $i(D)$ , on a  $c \subset D$ . Comme  $C \setminus F = \hat{C}$ , la

longueur de  $c$  est non nulle: donc  $c = (b; :::)$ , ou  $b$  est une arête de  $D$  issue de  $x_0$ . Comme  $M_i$  preserve  $F$ , il est évident, par minimalité, que  $b \notin C$ . Donc, d'après le lemme 5.2,  $M(b)$  ne peut pas couper  $C$ .

Maintenant, le mur  $M(b)$  ne peut pas non plus couper  $F$ : sinon en appliquant  $M(b)$  au sous-segment de  $c$  après  $b$ , on trouverait une géodésique de  $x_0$  à un sommet de  $F$ , de longueur inférieure à celle de  $c$ , en contradiction avec la minimalité de celle-ci.

Il en résulte que  $M(b)$  sépare les deux cellules  $C$  et  $F$ , donc en particulier les deux points  $\hat{C}$  et  $q$ . Alors  $M(b)$  sépare  $\hat{C}$  et  $\hat{C}^\theta$ ,  $C$  et  $C^\theta$ , donc  $x_0$  et  $x_0^\theta$ .

Le mur  $M(b)$  n'est pas le mur  $M_0$ : car celui-ci coupe la géodésique dans  $D$ , alors que celui-ci la coupe en  $\rho$ , suppose extérieur à  $D$ . Nous nous retrouvons avec un élément  $K$  de  $F$  et une arête  $b$  de  $P$  contenant un sommet de  $K$ , mais non contenue dans  $K$ , telle que  $M(b)$  sépare deux points de  $K$ : une contradiction avec le lemme 5.4. Cette absurdité prouve que  $\rho \notin D$ .  $\square$

Puisque l'arête  $a_0$  est issue d'un sommet  $x_0$  de  $D$  et que le mur  $M_0 = M(a_0)$  recoupe  $D$  (en  $\rho$ ), le lemme 5.2 entraîne que  $a_0 \notin D$ . Alors la sous-cellule  $E$  de  $D$  engendrée par les arêtes  $a_0; a_1; \dots; a_r$  vérifie  $St(x_0; K) = St(x_0; i(E))$ , donc  $K = i(E)$  d'après le lemme 5.6.  $\square$

**Corollaire 5.8** *Le morphisme de restriction de  $\text{Aut}(P)$  dans  $\text{Aut}(G)$  est un isomorphisme.*

**Preuve** Il suffit de montrer la surjectivité. Si  $\tau$  est un automorphisme de  $G$ , définissons un automorphisme  $\tau'$  de  $P$  de la façon suivante. Pour une cellule  $C$  de  $P$ , considérons l'élément  $K^\theta$  de  $F$  défini par  $K^\theta = \tau'(i(C))$ . D'après la proposition précédente, il existe une (unique) cellule  $C^\theta$  dont le squelette est  $K^\theta$ . Alors il existe un unique isomorphisme polyédral de  $C$  sur  $C^\theta$  prolongeant  $\tau'|_{i(C)}$ .

La collection d'isomorphismes polyédraux locaux  $\tau'_C$  ainsi obtenue se recolle pour donner l'automorphisme  $\tau'$ .  $\square$

Ce corollaire termine la preuve du théorème 5.1.  $\square$



## 5.2 Existence d'automorphisme non trivial fixant strictement un mur propre

Un automorphisme de  $P$  fixe strictement un mur  $M$  de  $P$  si et seulement s'il fixe  $M$  (point par point) et preserve chacune des deux composantes connexes de  $P \setminus M$ .

Le but de cette section est de donner des exemples de  $P$  dont le groupe  $\text{Aut}^+(P)$ , sous-groupe de  $\text{Aut}(P)$  engendré par les stabilisateurs stricts de murs propres est très gros.

**Remarque** (1) L'automorphisme  $f$  fixe strictement le mur  $M$  si et seulement s'il fixe point par point  $M[a]$ , où  $a$  est une arête transverse à  $M$ . Une condition équivalente est que  $f$  fixe  $V(M)$  point par point. Et un automorphisme de  $P$  fixe strictement un mur  $M$  si et seulement si l'automorphisme correspondant de  $(X_P; M_P)$  fixe strictement le mur correspondant à  $M$ .

(2) Soient  $P^+$  et  $P^-$  les adhérences des deux composantes connexes de  $P \setminus M$ . Alors le sous-groupe de  $\text{Aut}(P)$  formé des automorphismes fixant strictement  $M$  est le produit direct de  $\text{Fix}(P^+)$  et de  $\text{Fix}(P^-)$ .

**Lemme 5.9** Soit  $P$  un complexe polyédral pair CAT(0). Alors son espace à murs  $(X_P; M_P)$  vérifie la propriété  $(M^0)$ .

**Preuve** Soit  $f$  un automorphisme de  $P$  fixant strictement un mur  $M$  et  $A$  une des deux moitiés de  $X$  définies par  $M$ . Soit  $B$  une moitié de  $X$  telle que  $A \cap B$  et  $(X \setminus A) \cap B$  sont non vides. Notons  $N$  le mur de  $P$  dont le mur associé sur  $X$  est  $(B; X \setminus B)$ . Alors on voit que  $N$  contient des points séparés par  $M$ . Donc, par convexité,  $M \cap N$  est non vide. En particulier, il existe une cellule  $C$  de  $P$  coupée par  $M$  et  $N$ . Puisque  $f$  fixe strictement  $M$ , elle vaut l'identité sur  $C$ . Donc  $f$  fixe une arête transverse à  $N$ :  $f$  preserve globalement  $N$ , ainsi que les deux composantes connexes de  $X \setminus N$ .  $\square$

Nous allons étudier le cas où  $P$  est la réalisation géométrique de Davis-Moussong d'un système de Coxeter.

Soit  $(W; S)$  un système de Coxeter. Nous noterons  $N = N(W; S)$  le nerf fini de  $(W; S)$ . Nous munissons la première subdivision barycentrique  $N^0$  de  $N$  d'une fonction  $m$ , définie sur l'ensemble des milieux  $\hat{a}$  des arêtes  $a$  de  $N$  par la formule:  $m(\hat{a})$  est l'ordre du produit  $st$ , avec  $s$  et  $t$  les réflexions de  $S$  correspondant aux extrémités de  $a$ . Il est alors immédiat que les automorphismes

du graphe de Coxeter de  $(W; S)$  correspondent aux automorphismes de  $N^\theta$  qui proviennent d'un automorphisme de  $N$  et préservent la fonction  $m$ .

Notons  $P = jWj_0$  la réalisation de Davis-Moussong de  $(W; S)$ . On a  $P^\theta = (W \times (x_0, N^\theta)) =$  (voir section 3.2), et nous noterons  $[w; x]$  la classe de  $(w; x)$ . Les sommets de  $P$  sont les points  $[w; x_0]$  pour  $w \in W$ . Nous identifierons un point  $x$  de  $x_0, N^\theta$  avec son image  $[id; x]$  dans  $P^\theta$ . En particulier, le link de  $x_0$  dans  $P^\theta$  s'identifie avec  $N^\theta$ . L'action à gauche de  $W$  sur le produit passe au quotient, en une action simplement transitive sur les sommets  $wx_0$  de  $P$ . Mais on peut aussi construire, à partir de  $(W; S)$ , des éléments de  $\text{Aut}(P)$  fixant le sommet  $x_0$ .

Soit  $G(W; S)$  le groupe des automorphismes du diagramme de Coxeter de  $(W; S)$ . Tout élément  $f$  de  $G(W; S)$  agit sur  $N^\theta$  (en préservant  $m$ ), donc nous pouvons considérer son prolongement conique à  $x_0, N^\theta$ , encore noté  $f$ . D'autre part,  $f$  induit naturellement un automorphisme du groupe  $W$  (permutant  $S$ ), que nous noterons  $\bar{f}$ . Alors l'application  $(w; x) \mapsto (\bar{f}(w); f(x))$  est compatible avec  $\sim$ , donc induit un automorphisme  $\hat{f}$  de  $P^\theta$ . On a  $\hat{f}([w; x]) = [\bar{f}(w); f(x)]$ , donc  $\hat{f}(x_0) = x_0$ , et  $\hat{f}$  agit sur le link de  $x_0$  comme  $f$  sur  $N^\theta$ . En fait,  $\hat{f}$  provient d'un automorphisme de  $P$  (car  $f$  provient d'un automorphisme de  $N$ ).

Nous obtenons ainsi une représentation fidèle de  $G(W; S)$  dans  $\text{Aut}(P)$ , d'image contenue dans le stabilisateur de  $x_0$ . D'après la formule  $\hat{f}(w [w^\theta; x]) = \bar{f}(w) \hat{f}([w^\theta; x])$ , si  $\bar{f}$  fixe point par point un sous-ensemble  $T$  de  $S$ , alors  $\hat{f}$  commute avec l'action sur  $P$  du sous-groupe spécial engendré par  $T$ .

**Définition 5.10** Soient  $Q$  un complexe polyédral pair CAT(0), et  $a$  une arête de  $Q$ . La *facette* de  $Q$  transverse à  $a$  est la réunion des simplexes de  $Q^\theta$  (la première subdivision barycentrique de  $Q$ ) qui contiennent le milieu de l'arête  $a$ , mais aucune de ses extrémités. Nous la noterons  $\mathcal{M}(a)$ . Si  $x_0$  est un sommet de  $Q$ , le *bloc de centre*  $x_0$  est l'étoile de  $x_0$  dans  $Q^\theta$ .

**Lemme 5.11** *Le mur transverse à l'arête  $a$  est la réunion des facettes  $\mathcal{M}(b)$ , avec  $b$  parallèle à  $a$ . Les deux blocs centres sur les extrémités d'une arête  $a$  ont pour intersection la facette  $\mathcal{M}(a)$ .*

**Preuve** Vérifions d'abord que  $\mathcal{M}(a) = M(a)$ . Soit  $\sigma$  un simplexe de  $\mathcal{M}(a)$ . Considérons la plus petite cellule  $C$  contenant  $\sigma$  : les sommets de  $\sigma$  sont les centres métriques de certaines faces de  $C$  contenant l'arête  $a$ . Donc chacun de ces sommets est invariant par  $\mathcal{M}(a; C)$  : autrement dit  $\sigma \subset M(a; C)$ .

Pour achever de montrer la première assertion, il suffit de prouver que si  $C$  est un polyèdre pair et  $a$  une arête de  $C$ , alors  $M(a; C)$  est contenu dans l'union

des facettes  $(b)$ , avec  $b$  parallèle à  $a$  dans  $C$ . On raisonne par récurrence sur  $\dim(C)$ , la propriété étant évidente en dimension 1.

Soit  $x$  un point de  $M(a; C)$ . Si  $x = \hat{C}$  (le centre métrique de  $C$ ), alors  $x$  est dans toutes les facettes de  $C$ , en particulier dans  $(a)$ . Si  $x \notin \hat{C}$ , nous pouvons considérer la géodésique de  $\hat{C}$  à  $x$ , et la prolonger jusqu'au bord de  $C$ , qu'elle touche en un point  $y$ . Comme  $x$  et  $\hat{C}$  sont dans  $M(a; C)$ , le point  $y$  est aussi dans ce mur. Cela signifie que  $D$ , la face stricte de  $C$  engendrée par  $y$ , est coupée par  $M(a; C)$ . On applique alors l'hypothèse de récurrence à  $y \in D$ : il existe un simplexe  $\sigma_y$  de la facette d'une arête  $b$  de  $D$  telle que  $M(b; D) = M(a; C) \setminus D$  qui contient  $y$ . Alors  $b$  est parallèle à  $a$ , et  $x$  est dans  $\sigma_x$ , le joint de  $\sigma_y$  avec  $\hat{C}$ . Ceci conclut, car  $\sigma_x$  est dans la facette de  $b$  dans  $C$ .

Pour la seconde assertion, soit  $a$  une arête de  $Q$  d'extrémités  $x_0$  et  $y_0$ . Un sommet de  $Q^\theta$  est joignable aux extrémités de  $a$  si et seulement s'il est le centre métrique d'une face  $C$  contenant  $x_0$  et  $y_0$ . Ceci, par convexité, équivaut à dire que  $C$  contient  $a$ , autrement dit  $\hat{C} \in (a)$ .  $\square$

Si  $(W; S)$  est un système de Coxeter, nous appellerons *facette de  $(W; S)$*  (au sens de Davis{Moussong}) l'étoile dans  $N^\theta$  d'un sommet de  $N$ ; si ce sommet correspond à la réflexion  $s$ , nous noterons  $\sigma_s$  cette facette. Le système de Coxeter est dit *rigide* si le  $x$ ateur dans  $G(W; S)$  de toute facette de  $(W; S)$  est trivial. Tous les blocs de la réalisation géométrique de Davis{Moussong}  $P$  sont isomorphes au cône sur  $N^\theta$ ; l'intersection de deux blocs centres sur des sommets voisins de  $P$  est donc une facette de  $(W; S)$ .

**Theoreme 5.12** *Si  $(W; S)$  est rigide, alors  $\text{Aut}(P)$  est discret: c'est le produit semi-direct de  $W$  et de  $G(W; S)$ .*

Supposons que  $(W; S)$  n'est pas rigide, et que  $(W; S)$  est hyperbolique au sens de Gromov. Alors, pour tout automorphisme non trivial  $f$  de  $G(W; S)$  fixant une facette  $\sigma_s$ , le mur  $M_s$  passant par  $\sigma_s$  est propre. De plus, il existe un automorphisme  $\gamma$  de  $P$ , dont la restriction à l'étoile de  $x_0$  dans  $P$  est  $\hat{f}$ , et qui fixe strictement  $M_s$ . En particulier,  $\text{Aut}^+(P) \neq \text{flg}$ , et  $\text{Aut}(P)$  est non discret.

**Preuve** Supposons d'abord que  $(W; S)$  est rigide. Il s'agit de montrer que le stabilisateur de  $x_0$  est  $G(W; S)$ .

D'abord le  $x$ ateur de  $St(x_0; P^\theta)$  dans  $\text{Aut}(P)$  est trivial: car si  $F \in \text{Aut}(P)$  fixe l'étoile d'un sommet dans  $P^\theta$ , alors par rigidité  $F$  fixe l'étoile de tout sommet voisin.

Ensuite, si  $F \in \text{Aut}(P)$  fixe  $x_0$ , il induit un automorphisme du link de  $x_0$  dans  $P^\theta$  (isomorphe à  $N^\theta$ ), provenant d'un automorphisme de  $N$ , et préservant la fonction  $m$ . En effet, cette fonction a une interprétation géométrique:  $m(x)$  est simplement le diamètre combinatoire du bord de la 2-face dont  $x$  est le centre. Il existe donc un  $f \in G(W; S)$  tel que  $\hat{f}$  coïncide avec  $F$  sur le bloc de  $P$  de centre  $x_0$ . D'après la première partie,  $\hat{f} = F$ .

**Lemme 5.13** *Soit  $(W; S)$  un système de Coxeter hyperbolique. Alors l'ensemble des  $w \in W$  qui agissent trivialement au bord de  $W$  est un sous-groupe spécial fini  $W_F$  tel que le système  $(W_{SnF}; SnF)$  est irréductible, et tout élément de  $F$  commute avec tout élément de  $SnF$ . En particulier, si  $W$  est irréductible, alors  $W$  agit fidèlement sur son bord.*

**Preuve** Soit  $G$  le sous-groupe de  $W$  agissant trivialement sur  $\partial W$ : c'est un sous-groupe distingué fini de  $W$  (voir [13]). En tant que sous-groupe fini,  $G$  est contenu dans un conjugué d'un sous-groupe spécial fini  $W_T$ . Mais comme  $G$  est distingué, on a  $G \leq W_T$ , avec toujours  $G$  distingué dans  $W$ . En prenant l'intersection des sous-groupes spéciaux finis contenant  $G$ , on trouve un sous-groupe spécial fini  $W_F$  contenant  $G$ , et tel que, pour tout  $t \in F$ , il existe  $g \in G$  tel que  $t$  apparaisse dans une écriture de longueur minimale de  $g$ . Pour  $s$  n'appartenant pas à  $F$  et  $g \in G$ , on a  $s:gs \in G \leq W_F$ . Donc  $s$  commute avec tous les éléments  $t$  de  $F$  apparaissant dans une écriture géodésique de  $g$ . On en déduit que tout élément de  $F$  commute avec tout élément de  $SnF$ .

Il reste à montrer que  $(W_{SnF}; SnF)$  est irréductible. Supposons que  $SnF = T_1 \sqcup T_2$ , avec  $T_1 \cap T_2 = \emptyset$ ; et tout élément de  $T_1$  commute avec tout élément de  $T_2$ . On ne peut avoir  $W_{T_1}$  et  $W_{T_2}$  invariants, puisque  $W$  est hyperbolique et contient  $W_{T_1} \cup W_{T_2}$ . Si par exemple  $W_{T_1}$  est invariant, il commute à  $W_{T_2} \setminus F$ , donc agit trivialement au bord: d'où  $T_1 \leq W_{T_1} \leq G \leq W_F$ , et donc  $T_1 = \emptyset$ .  $\square$

Supposons maintenant que  $(W; S)$  est non rigide. Soient  $f \in G(W; S)$  et  $s \in S$  tels que  $f$  est non trivial et  $f$  fixe  $s$  (point par point). Le fait que  $M_s$  soit un mur propre de  $P$  résulte du lemme précédent. En effet, si  $M_s$  n'est pas propre, comme  $s$  permute les deux demi-espaces définis par  $M_s$ , le bord de  $M_s$  est égal à tout le bord de  $P$ , donc  $s$  agit trivialement sur le bord de  $P$ . Par le lemme,  $s$  appartient à  $F$ , et son étoile est égale à tout le nerf fini de  $(W; S)$ , ce qui contredit la non-trivialité de  $f$ .

Comme  $f$  fixe la facette  $\bar{s}$ ,  $\bar{f}$  fixe tous les  $t \in S$  tels que  $m_{s;t} < 1$ . Donc  $\hat{f}$  commute à tout produit de telles réflexions. Comme d'autre part  $\hat{f}$  fixe l'arête transverse à  $M_s$  passant par  $x_0$ , c'est donc que  $\hat{f}$  fixe toutes les arêtes de la

forme  $w:a_s$ , avec  $w \in W_{T_s}$ , ou  $T_s = \{t \in S \mid m_{s,t} < 1\}$ , et  $a_s$  est l'arête de  $P$  entre  $x_0$  et  $sx_0$ .

Soient  $@H$  la réunion de ces arêtes,  $H$  la réunion des chemins d'origine  $x_0$  dans le squelette  $G$  de  $P$ , qui ne traversent pas  $@H$ , et  $H^c$  le sous-graphe de  $G$  réunion des arêtes non dans  $H$ . La proposition 5.17 de la section suivante dit que  $H^c$  contient le demi-espace  $A$  de  $W$  de ni par  $M_s$  et contenant  $s$ . L'automorphisme  $\hat{f}$  vaut l'identité sur  $@H$ , et  $H \setminus H^c$  est contenu dans  $@H$ . Donc on peut définir un automorphisme  $\sigma$  de  $G$  qui coïncide avec l'identité sur  $H^c$ , et avec  $\hat{f}$  sur  $H$ . Comme  $A$  est contenu dans  $H^c$ ,  $\sigma$  vaut l'identité sur le demi-espace  $A$ , donc coupe strictement le mur  $M_s$ . En fait,  $\hat{f}$  agit sur l'ensemble  $\{a_t \mid t \in S \text{ n'fsg}\}$  des arêtes à la fois dans  $H$  et dans l'étoile de  $x_0$ , comme  $f$  sur  $S \text{ n'fsg}$ . Donc  $\sigma$ , qui coïncide avec  $\hat{f}$  sur l'étoile de  $x_0$ , est non trivial.  $\square$

### 5.3 Un resultat technique sur les groupes de Coxeter

Soit  $(W; S)$  un système de Coxeter, notons  $1$  son élément neutre et  $G = G(W; S)$  son graphe de Cayley.

Si  $t \in S$  et  $T \subseteq S$ , nous noterons  $a_t$  l'arête de  $G(W; S)$  entre  $1$  et  $t$  et  $G_T$  le sous-graphe de  $G$  réunion des arêtes reliant deux sommets de  $G$  appartenant au sous-groupe spécial  $W_T$  engendré par  $T$ . Alors  $G_T$  est isomorphe à  $G(W_T; T)$ , et c'est un sous-graphe convexe de  $G$  (voir [5]). On peut aussi voir  $G_T$  comme la réunion des chemins de  $G$  d'origine  $1$ , et dont toutes les arêtes ont un label dans  $T$  (i.e. sont de la forme  $wa_t$ , avec  $t \in T$ ).

Pour  $s \in S$  quelconque, soit  $T_s$  la partie de  $S$  formée des réflexions  $t$  telles que  $m_{s,t} < 1$ . Notons alors  $H = H_s$  la réunion des chemins  $c$  de  $G(W; S)$  d'origine  $1$ , et n'empruntant que des arêtes de la forme  $wa_t$ , avec  $t \notin s$ , ou de la forme  $wa_s$ , avec  $w \in W_{T_s}$ . Introduisons en fait  $A = A_s$ , l'ensemble des éléments de  $W$  séparés de  $1$  par le mur  $M_s$  de  $s$ .

Notre but est de montrer que  $H$  et  $A$  sont disjoints, ce qui est le résultat voulu dans la preuve du théorème 5.12.

Commençons par donner une description plus constructive de  $H$ . Posons

$$K_1 = \{1\}; H_1 = G_{S \setminus \{s\}}; \dots; \\ K_{n+1} = \left[ \begin{array}{c} w \in W_{T_s} \\ w \in H_n \end{array} \right]; H_{n+1} = \left[ \begin{array}{c} w \in G_{T_s} \\ w \in K_{n+1} \end{array} \right];$$

Alors  $H$  est la réunion croissante des  $H_n$ .

**Lemme 5.14** Soient  $w \in H$  et  $n = n(w)$  le plus petit indice  $i$  tel que  $w \in H_i$ . Alors il existe deux suites  $v_1^- \dots v_{n-1}^-$  et  $v_1^+ \dots v_{n-1}^+$  d'éléments de  $W$  appartenant à  $H$ , et une suite  $M_1 \dots M_{n-1}$  de murs de  $(W; S)$  tels que, pour  $1 \leq i < n$ ,

$$n(v_i^-) = i \text{ et } n(v_i^+) = i + 1;$$

$v_i^-$  et  $v_i^+$  sont congrus modulo  $W_{T_s}$ ,  $v_{i-1}^+$  et  $v_i^-$  sont congrus modulo  $W_{S_n fsg}$  (en posant  $v_0^+ = 1$ ), et  $v_{n-1}^+$  est congru à  $w$  modulo  $W_{S_n fsg}$ ;

$M_i$  est transverse à l'arête de type  $s$  d'origine  $v_i^-$ , et sépare  $v_i^- \cdot G_{S_n fsg}$  de  $v_i^+ \cdot G_{S_n fsg}$ .

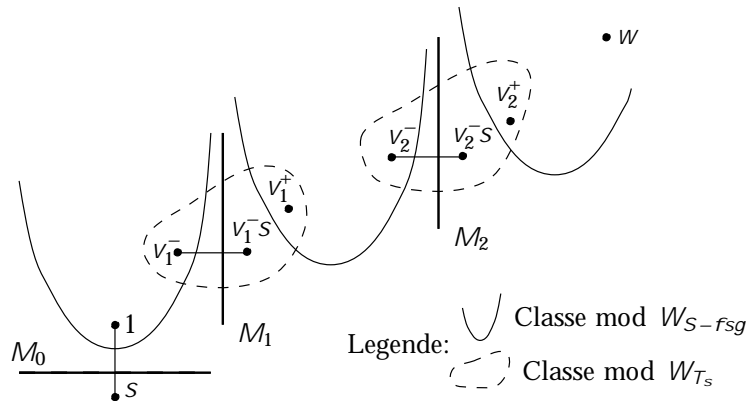


Figure 6: Description constructive de  $H$

**Preuve** Par récurrence sur  $n$ . Si  $n = 1$ , il n'y a rien à démontrer.

Supposons donc  $n > 1$ . Comme  $w \in H_n$ , il existe un  $v_{n-1}^+$  de  $K_n$  congru à  $w$  modulo  $W_{S_n fsg}$ ; puis il existe un  $v_{n-1}^-$  de  $H_{n-1}$  auquel  $v_{n-1}^+$  est congru modulo  $W_{T_s}$ . Quitte à multiplier  $v_{n-1}^-$  et  $v_{n-1}^+$  par des éléments convenables de  $W_{T_s n fsg}$  (ce qui ne change ni les classes modulo  $W_{T_s}$ , ni les classes modulo  $W_{S_n fsg}$ ), on peut supposer que  $d_W(v_{n-1}^- \cdot W_{T_s n fsg}, v_{n-1}^+ \cdot W_{T_s n fsg}) = d_W(v_{n-1}^-, v_{n-1}^+)$ .

Si  $v_{n-1}^-$  était dans un  $H_i$  avec  $i < n - 1$ ,  $w$  serait dans  $H_{n-1}$ , en contradiction avec la définition de  $n$ . De même,  $v_{n-1}^+ \notin H_n \cap H_{n-1}$  (en particulier,  $v_{n-1}^- \cdot W_{S_n fsg} \not\subset v_{n-1}^+ \cdot W_{S_n fsg}$ ). Donc, si on complète les suites fournies par la récurrence appliquée à  $v_{n-1}^-$  à l'aide de  $v_{n-1}^-$  et  $v_{n-1}^+$  d'une part, et d'autre part à l'aide du mur  $M_{n-1}$  fourni par le lemme suivant d'autre part, on obtient le résultat au rang  $n$ .  $\square$

**Lemme 5.15** *Supposons que  $v^- : W_{T_s} = v^+ : W_{T_s}$  et  $v^- : W_{Snfsg} \notin v^+ : W_{Snfsg}$ . Si de plus  $d_W(v^- : W_{T_s n fsg}; v^+ : W_{T_s n fsg}) = d_W(v^-; v^+)$ , alors le mur transverse à l'arête  $v^- : a_s$  issue de  $v^-$  separe  $v^- : G_{Snfsg}$  de  $v^+ : G_{Snfsg}$ .*

**Preuve** Quitte à multiplier par l'inverse de  $v^-$ , on peut supposer  $v^- = 1$ . On a alors  $v = v^+ \in W_{T_s} n W_{Snfsg}$ , et  $v$  est l'élément de plus petite longueur dans sa classe modulo  $W_{T_s n fsg}$  (cette longueur est non nulle, sinon  $v$  serait dans  $W_{T_s n fsg}$ , donc dans  $W_{Snfsg}$ ). En particulier, toute géodésique de 1 à  $v$  passe par  $a_s$ , et le mur  $M_s$  transverse à  $a_s$  separe 1 de  $v$ .

La convexité de  $G_{Snfsg}$  l'empêche d'être coupée par le mur  $M_s$ . Supposons que  $M_s$  soit transverse à une arête de  $v : G_{Snfsg}$ . Cela signifie qu'il existe  $t \in Snfsg$  et  $w \in W_{Snfsg}$  tels que  $s(vw) = (vw)t$ . Donc  $v^{-1}sv = wtw^{-1}$ : par convexité des sous-groupes spéciaux, la réflexion  $v^{-1}sv$  est donc dans  $W_{T_s} \setminus W_{Snfsg} = W_{T_s n fsg}$ . Alors l'élément  $v^j = v(v^{-1}sv) = s : v$  est congru à  $v$  modulo  $W_{T_s n fsg}$ , mais il est de longueur 1 de moins que  $v$ , puisque toute géodésique de 1 à  $v$  commence par  $s$ . Ceci contredit la minimalité supposée de  $jv$ .  $\square$

Nous allons montrer que, vus dans la réalisation de Davis-Moussong  $P$  de  $(W; S)$ , les murs apparaissant dans le lemme 5.14 sont disjoints, et ne separent pas deux points de  $A$ . Pour cela, nous faisons agir  $W$  sur un certain arbre.

Soient  $s, t$  dans  $S$  tels que  $m_{s,t} = 1$ . Alors  $W$  est le produit amalgamé  $W_{Snfsg} \underset{W_{Snfs;tg}}{W_{Snftg}}$ . Considérons le graphe biparti  $T_{s;t}$  ayant un sommet de type  $s$  pour chaque classe de  $W$  modulo  $W_{Snfsg}$ , un sommet de type  $t$  pour chaque classe de  $W$  modulo  $W_{Snftg}$ , avec une arête entre une classe modulo  $W_{Snfsg}$  et une classe modulo  $W_{Snftg}$  lorsque ces deux classes ne sont pas disjointes. Notons que si  $w$  appartient à  $uW_{Snfsg} \setminus vW_{Snftg}$ , alors  $wW_{Snfs;tg}$  est contenu dans  $uW_{Snfsg} \setminus vW_{Snftg}$ . La convexité des sous-groupes spéciaux entraîne alors que  $wW_{Snfs;tg}$  est égal à  $uW_{Snfsg} \setminus vW_{Snftg}$ . Ainsi, les arêtes de  $T_{s;t}$  correspondent bijectivement aux classes de  $W$  modulo  $W_{Snfs;tg}$ .

Le groupe  $W$  agit sur  $T_{s;t}$  par multiplication à gauche. Cette action est transitive sur les arêtes de  $T_{s;t}$ , le stabilisateur de  $x_s = W_{Snfsg}$  est  $W_{Snfsg}$ , le stabilisateur de  $x_t = W_{Snftg}$  est  $W_{Snftg}$ , et le stabilisateur de l'arête joignant ces deux sommets est  $W_{Snfs;tg}$ . Il résulte alors de la théorie de Bass {Serre [29]} que  $T_{s;t}$  est un arbre.

**Lemme 5.16** *Vus dans  $P$ , les murs  $M_{i-1}$  et  $M_i$  apparaissant dans le lemme 5.14 sont disjoints. Le mur  $M_i$  ne separe pas  $v_{i-1}^- : a_s$  de  $v_i^-$ . En  $n M_1 \setminus M(a_s) = \dots$*

**Preuve** Notons que  $v_{i-1}^+$  et  $v_i^-$  ne peuvent être dans la même classe modulo  $W_{T_s}$  (sinon  $w \in H_{n-1}$ ). Par  $W$ -homogénéité, il suffit donc de montrer le résultat suivant (lequel donne du même coup la dernière partie du lemme).

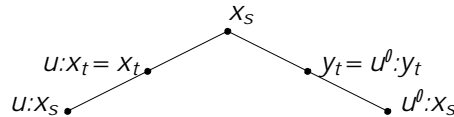
Soient  $v^- \in W_{S_n fsg} \cap W_{T_s}$  et  $M$  le mur d'une réflexion  $u$  de  $W_{T_s}$  ne coupant pas  $G_{S_n fsg}$ . Alors  $M$  est disjoint du mur  $M^\theta$  transverse à  $v^- : a_s$ .

Puisque  $v^- \notin W_{T_s}$ , il existe un  $t \in S$  tel que  $m_{s:t} = 1$  et  $v^- \notin W_{S_n fsg}$ . Nous raisonnons en considérant l'action de  $W$  sur l'arbre  $T_{s:t}$ .

D'abord, dire que  $M \cap G_{S_n fsg} = \emptyset$ , c'est dire que  $u \notin W_{S_n fsg}$ . Autrement dit,  $u : x_s \notin x_s$ . De même, si  $u^\theta$  est la réflexion par rapport à  $M^\theta$ , on a  $u^\theta : x_s \notin x_s$ .

Soit  $y_t$  la classe à gauche de  $v^-$  modulo  $W_{S_n fsg}$ . Alors  $u^\theta : y_t = y_t$ . D'autre part, comme  $T_s \in S_n fsg$ , on a aussi  $u : x_t = x_t$ .

En fin,  $y_t \notin x_t$ , et  $x_s$  est lié dans  $T_{s:t}$  à  $x_t$  et  $y_t$ .



Donc le produit  $u^\theta u$  agit comme une translation non triviale de l'arbre  $T_{s:t}$ , et est nécessairement d'ordre infini. Or, si les murs des deux réflexions  $u$  et  $u^\theta$  se coupaient dans  $P$ , le produit  $u^\theta u$  aurait un point fixe, donc devrait être d'ordre fini (l'action de  $W$  sur  $P$  est propre).

En fait, non seulement  $M \cap M^\theta = \emptyset$ , mais de plus  $M^\theta$  ne sépare pas 1 d'une arête  $a$  transverse à  $M$  et contenue dans  $G_{T_s}$  (ce qui achève de prouver le lemme). Car si c'était le cas, par convexité,  $M^\theta$  serait transverse à une arête  $a^\theta$  de  $G_{T_s}$ , et  $u^\theta$  serait une réflexion de  $W_{T_s}$ . Donc  $u^\theta$  fixerait  $x_t$ . Comme  $u^\theta$  fixe déjà  $y_t$ , elle fixerait l'unique sommet de type  $s$  lié à la fois à  $x_t$  et à  $y_t$ , c'est à dire  $x_s$ . Or nous avons vu que ce n'était pas le cas. □

**Proposition 5.17** *H est disjoint de A.*

**Preuve** Si  $w \in H$ , appliquons le lemme 5.14 pour trouver une suite  $s = v_0^- ; v_1^- ; \dots ; v_{n-1}^- ; v_n^- = w$  et une suite de murs  $M_0 = M_s ; M_1 ; \dots ; M_{n-1}$  tels que  $M_i$  sépare  $v_i^-$  de  $v_{i+1}^-$  et  $M_i$  est transverse à  $v_i^- : a_s$ . D'après le lemme 5.16, les murs  $M_i$  et  $M_{i+1}$  sont disjoints, et  $M_{i+1}$  ne sépare pas  $v_{i+1}^-$  de  $M_i$  (voir figure 6). Soit  $A_i$  la moitié de  $W$  délimitée par  $M_i$  contenant  $v_i^-$ . Il est maintenant immédiat que la suite des moitiés  $A_i$  est (strictement) croissante, avec  $A_0 = A$ , et  $w \in A_{n-1}$ . Donc  $w \in A$ . □



#### 5.4 Exemples de complexes polyedraux pairs $\text{CAT}(-1)$

(1) Soient  $k$  un entier pair avec  $k \geq 4$ , et  $L$  le graphe d'incidence d'un plan projectif sur un corps fini, ou plus généralement n'importe quel immeuble épais fini de rang 2 vérifiant la condition de Moufang (voir [27]). Cette condition (plus le fait que  $L$  soit épais) implique en particulier que le xateur de l'étoile d'un sommet de  $L$  est non trivial. Donc  $\text{Aut}^+(A(k; L))$  est non trivial, dès que  $W(k; L)$  est hyperbolique (au sens de Gromov), c'est-à-dire si  $k \geq 6$  ou  $k = 4$  et  $L$  n'est pas de type  $A_1 \times A_1$ . Ceci concerne donc l'immeuble de Bourdon  $I_{p,q}$ , avec  $p$  pair,  $p \geq 6$  et  $q \geq 3$ .

(2) Étant donné un polyèdre pair  $C$ , nous allons montrer comment construire un complexe polyédral pair  $\text{CAT}(-1)$  ayant un gros groupe d'automorphismes, et dont toute cellule maximale est isomorphe (combinatoirement) à  $C$ .

**Proposition 5.18** *Pour tout polyèdre pair  $C$ , il existe un complexe polyédral pair localement compact  $\text{CAT}(-1)$ , dont les cellules maximales sont combinatoirement isomorphes à  $C$ , admettant un groupe discret cocompact d'automorphismes, et dont le groupe des automorphismes engendré par les xateurs stricts de murs propres est non dénombrable. Si  $C$  n'est pas combinatoirement un produit, alors on peut de plus supposer que tous les murs sont propres.*

**Preuve** Soit  $(W; S)$  le système de Coxeter fini associé à  $C$  par la proposition 4.1. Considérons une fonction  $\pi$  de  $S$  dans l'ensemble des entiers strictement positifs, telle que, si  $\pi(s) > 1$  et  $\pi(t) > 1$ , on a  $m_{s,t} > 2$  (c'est-à-dire  $s$  et  $t$  sont liés par une arête dans le graphe de Coxeter de  $(W; S)$ ). Nous noterons  $K_\pi$  le sous-graphe complet du graphe de Coxeter de  $(W; S)$  dont les sommets  $s$  vérifient  $\pi(s) > 1$ . Remarquons que par le théorème de classification des systèmes de Coxeter fini (voir par exemple [5, p.193]),  $K_\pi$  est réduit à un seul sommet ou à une seule arête.

Définissons  $(\overline{W}; \overline{S})$ , l'unique système de Coxeter tel qu'il existe une application  $\pi: \overline{S} \rightarrow S$  avec

- i)  $\pi^{-1}(fsg)$  possède  $\pi(s)$  éléments;
- ii) si  $s \notin \overline{t}$ , ou bien  $\pi(s) = \pi(\overline{t})$ , et dans ce cas  $m_{s, \overline{t}} = 1$ , ou bien  $\pi(s) \neq \pi(\overline{t})$ , et dans ce cas  $m_{s, \overline{t}} = m_{\pi(s), \pi(\overline{t})}$ .

Il est immédiat que  $\pi$  s'étend en un homomorphisme de groupes de  $\overline{W}$  dans  $W$ , et est injective sur les parties  $\overline{T}$  de  $\overline{S}$  telles que  $\overline{W}_{\overline{T}}$  est fini. Donc les simplexes du nerf fini de  $(\overline{W}; \overline{S})$  sont les parties de  $\overline{S}$  sur lesquelles  $\pi$  est injective.

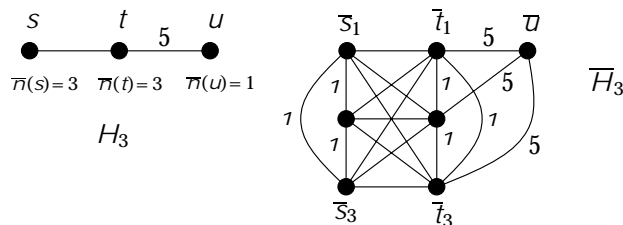


Figure 7: Exemple de systeme de Coxeter hyperbolique non rigide

Les permutations de  $\bar{S}$  laissant  $\bar{W}$  invariante donnent des automorphismes de  $(\bar{W}; \bar{S})$ . Si on suppose que  $\bar{\pi}$  atteint une valeur superieure ou egale a 3, on en deduit que  $(\bar{W}; \bar{S})$  n'est pas rigide.

Montrons que  $(\bar{W}; \bar{S})$  est hyperbolique. Si ce n'est pas le cas, d'apres Moussong,  $(\bar{W}; \bar{S})$  contient un sous-groupe special a ne de rang au moins 3, ou bien deux sous-groupes speciaux in nis qui commutent. Dans le premier cas,  $\bar{\pi}$  est necessairement injective sur le sous-groupe special (car le graphe d'un tel systeme de Coxeter ne contient pas d' 1), donc  $(\bar{W}; \bar{S})$  est in ni, contradiction. Dans le deuxieme cas, un argument analogue au precedent montre qu'il existe  $\bar{s}_1, \bar{s}_2, \bar{t}_1$  et  $\bar{t}_2$  tels que  $m_{\bar{s}_1; \bar{s}_2} = m_{\bar{t}_1; \bar{t}_2} = 1$  et  $m_{\bar{s}_i; \bar{t}_j} = 2$  pour tous  $i; j = 1; 2$ . Mais alors  $(\bar{s}_1) = (\bar{s}_2)$  commute avec  $(\bar{t}_1) = (\bar{t}_2)$ , en contradiction avec l'hypothese de depart sur  $\bar{\pi}$ .

En n, notons  $P(C; \bar{\pi})$  la realisation geometrique de Davis{Moussong de  $(\bar{W}; \bar{S})$ . Alors les cellules maximales de  $P(C; \bar{\pi})$  correspondent aux sous-groupes speciaux in nis maximaux de  $(\bar{W}; \bar{S})$ , lesquels sont tous isomorphes a  $(W; S)$ . Donc toutes les cellules maximales de  $P(C; \bar{\pi})$  sont isomorphes a  $C$ .

Supposons  $(W; S)$  irreductible. Par classi cation, son graphe de Coxeter contient au plus une arête ayant un label pair. Alors il existe une application  $\bar{\pi}$  telle que  $\bar{\pi}(s) = 3$  si  $s$  appartient a  $K_{\bar{\pi}}$ , et telle que s'il existe une arête de label pair (different de 2), alors  $K_{\bar{\pi}}$  consiste en cette arête. Rappelons que si deux sommets d'un graphe de Coxeter peuvent être joints par un chemin d'arêtes dont tous les labels sont impairs, alors les deux reflexions correspondantes sont conjuguees dans le groupe de Coxeter (voir [5]). Donc toute reflexion de  $(\bar{W}; \bar{S})$  est conjuguee a un element de  $\bar{\pi}^{-1}(K_{\bar{\pi}})$ . Or le mur de toute reflexion dans  $\bar{\pi}^{-1}(K_{\bar{\pi}})$  est propre. Par consequent, tout mur est propre.  $\square$

Par exemple, lorsque  $C$  est le polygone a  $p = 2k$  côtes et  $\bar{\pi}$  est constante egale a  $q \geq 3$ , le polyedre  $P(C; \bar{\pi})$  est l'immeuble de Bourdon  $I_{p; q}$ .

Lorsque  $C$  est un cube de dimension 3,  $P(C; \pi)$  est le produit d'un arbre régulier par un carré.

Lorsque  $C$  est le polyèdre pair du groupe  $H_3$ , de dimension  $\overline{H_3}$  comme dans la figure précédente. Alors toutes les faces de  $P(C; \pi)$  sont contenues dans 3 copies de  $C$ , sauf les décagones, qui ne sont contenus que dans une copie de  $C$ .

### 5.5 Automorphismes préservant le type de complexes polyédraux pairs

Dans toute cette section,  $P$  est un complexe polyédral pair CAT(0) dont toutes les cellules maximales (appelées *chambres* par la suite) sont isométriques à une cellule  $C$  fixe (par exemple,  $P$  est un  $(k; L)$ -complexe, au sens de [23, 4], voir aussi [3]). La codimension des faces de  $P$  est maintenant bien définie.

**Définition 5.19** Une *fonction type* de  $P$  dans  $C$  est une application polyédrale  $f : P \rightarrow C$  dont la restriction à chaque chambre de  $P$  est une isométrie.

**Exemples** (1) Supposons que  $C$  soit une cellule paire de l'espace  $E^n$  à courbure constante  $\leq 0$ , dont les faces de codimension 1 forment des angles dièdres de la forme  $\frac{\pi}{n}$ , avec  $n \geq 2$ . Alors, par le théorème de Poincaré (voir par exemple [24]), le sous-groupe  $W(C)$  des isométries de  $E^n$  engendré par les réflexions par rapport aux faces de codimension 1 de  $C$  est discret, et le quotient de  $E^n$  par  $W(C)$  s'identifie naturellement à  $C$ . Cela signifie que le pavage  $P(C)$  de  $E^n$  donné par les  $wC$ , avec  $w \in W(C)$ , admet une fonction type dans  $C$ .

(2) Plus généralement, tout immeuble  $P$  dont les appartements sont isométriques à  $P(C)$  admet une fonction type (on fixe une certaine copie  $A_0$  de  $P(C)$  dans  $P$ , ainsi qu'une certaine chambre  $C_0$  de  $A_0$ , puis on considère la retraction de  $P$  sur  $A_0$  basée en  $C_0$ , et on la compose par une quelconque fonction type sur  $A_0$ ).

(3) En fait, un arbre quelconque admet toujours une fonction type à valeur dans l'une de ses arêtes.

Appelons *galerie de  $P$*  toute suite de chambres  $(C_0; C_1; \dots; C_n)$  telles que  $C_i \cap C_{i+1}$  contient une cellule de codimension 1. Nous laissons au lecteur le soin de démontrer la proposition suivante, qui ne servira pas dans ce texte.

**Proposition 5.20** *Supposons que deux chambres de  $P$  sont jointes par au moins une galerie. Deux fonctions de type égales sur une chambre  $C_0$  de  $P$*

sont égales. S'il est non vide, l'ensemble des fonctions types sur  $P$  s'identifie avec l'ensemble (ni) des isométries de  $C_0$  sur  $C$ . Dans ce cas, le link d'une face de codimension 2 de  $P$  est biparti.

Reciproquement, si  $P$  est de dimension 2 avec 2-cellules régulières, et si le link de chaque sommet de  $P$  est un graphe biparti connexe, alors l'ensemble des fonctions types sur  $P$  est non vide.  $\square$

A partir de maintenant, nous supposons que  $P$  admet une fonction type dans un polyèdre pair  $C$ , et que deux chambres quelconques de  $P$  sont jointes par une galerie.

**De nition 5.21** Nous noterons  $\text{Aut}_0(P)$  le noyau de l'action par precomposition du groupe  $\text{Aut}(P)$  sur l'ensemble des fonctions types de  $P$  dans  $C$ . Nous dirons que ses éléments *préservent le type*.

**Remarque** Si  $C^\theta$  est isomorphe à  $C$ , un élément de  $\text{Aut}(P)$  préserve le type dans  $C$  si et seulement s'il préserve le type dans  $C^\theta$ . C'est ce qui justifie l'omission de  $C$  dans la notation  $\text{Aut}_0(P)$ . Remarquons que  $\text{Aut}_0(P)$  est d'indice fini dans  $\text{Aut}(P)$ .

Notons  $\text{Aut}_F(P)$  le sous-groupe caractéristique de  $\text{Aut}(P)$  engendré par les rotateurs de facettes (au sens de la définition 5.10). Ses éléments seront appelés *F-automorphismes*. Notons  $G_0$  et  $G_1$  les sous-groupes de  $G = \text{Aut}(P)$  engendrés par les intersections avec  $\text{Aut}_F(P)$  des rotateurs de chambres d'une part, et des rotateurs de cellules de codimension 1 d'autre part.

Il est clair que  $G_0 = G_1 = \text{Aut}_F(P)$ . Si  $M$  est un mur propre de  $P$ , son rotateur strict est dans  $G_0$ . Donc  $\text{Aut}^+(P)$  est contenu dans  $G_0$ . Si  $f \in \text{Aut}(P)$  envoie une face  $F$  de codimension 1 et envoie une chambre  $C_2$  contenant  $F$  sur  $C_1$ , alors  $f|_{C_2}$  commute avec la fonction type de  $P$  restreinte à  $C_1$  et à  $C_2$ . Par connexité par galeries de  $P$ ,  $f$  préserve alors le type. Donc  $G_1 = \text{Aut}_0(P)$ . En résumé,  $\text{Aut}^+(P) = G_0 = G_1 = \text{Aut}_0(P) \setminus \text{Aut}_F(P)$ .

Introduisons des propriétés de transitivité, globales ou locales:

- ( $T_0$ ) L'action de  $G_0$  sur l'ensemble des chambres de  $P$  est transitive.
- ( $T_1$ ) L'action de  $G_1$  sur l'ensemble des chambres de  $P$  est transitive.
- ( $TL_1$ ) Pour toute face  $F$  de codimension 1, le rotateur de  $F$  dans  $\text{Aut}_F(P)$  agit transitivement sur les chambres contenant  $F$ .

$(TL_0)$  Pour toute face  $\sigma$  de codimension 1, le sous-groupe de  $\text{Fix}(\sigma) \setminus \text{Aut}_F(P)$  engendre par les  $\text{Fix}(\sigma) \setminus \text{Aut}_F(P) \setminus \text{Fix}(C)$ , où  $C$  est une chambre de  $P$ , agit transitivement sur les chambres contenant  $\sigma$ .

Il est immédiat que  $(T_0)$  implique  $(T_1)$  et  $(TL_0)$  implique  $(TL_1)$ . D'autre part:

**Lemme 5.22** *Pour  $i = 0, 1$ , la condition  $(TL_i)$  implique  $(T_i)$ , qui implique que  $G_i = \text{Aut}_0(P) \setminus \text{Aut}_F(P)$ .*

**Preuve** La première implication découle de la connexité par galerie de l'ensemble des chambres de  $P$ . La deuxième de ce qu'un élément de  $\text{Aut}_0(P)$  préservant une chambre la fixe nécessairement.  $\square$

Si  $a$  et  $b$  sont deux arêtes adjacentes à un sommet  $x_0$  et contenues dans un même polygone de  $P$ , nous noterons  $m_{a,b}$  la moitié du nombre de côtes de ce polygone. Nous obtenons ainsi une fonction de l'ensemble des arêtes de  $lk(x_0; P)$  dans l'ensemble des entiers supérieurs ou égaux à 2. Il est clair qu'un automorphisme  $f$  de  $P$  envoie la fonction  $m$  du sommet  $x_0$  sur la fonction  $m$  du sommet  $f(x_0)$ . Nous noterons  $G_{x_0}$  le groupe des automorphismes de  $(lk(x_0; P); m)$  engendré par les rotateurs de facettes de  $lk(x_0; P)$ . Remarquons que si  $P$  est de dimension 2, alors  $m$  est constant (car tous les polygones ont le même nombre de côtes).

Voici maintenant deux propriétés de prolongement:

- $(P_0)$  Pour tout sommet  $x_0$  de  $P$ , tout élément de  $G_{x_0}$  s'étend à  $P$ .
- $(P^+)$  Pour tout sommet  $x_0$  de  $P$ , tout élément de  $G_{x_0}$  fixant une facette (voir définition 5.10) (transverse à une arête issue de  $x_0$ ) s'étend à  $P$  en un automorphisme fixant le mur  $M$  passant par  $x_0$  et fixant toute la moitié de  $P$  délimitée par  $M$  et ne contenant pas  $x_0$ .

Nous avons maintenant des conditions permettant d'identifier  $\text{Aut}^+(P)$  et  $\text{Aut}_0(P) \setminus \text{Aut}_F(P)$ , dans le cas où  $P$  est de dimension 2.

**Proposition 5.23** *Soit  $P$  un complexe polyédral pair CAT(0) de dimension 2 admettant un type et dont deux chambres sont jointes par au moins une galerie.*

- (1) *Supposons que, pour tout sommet  $x_0$  de  $P$ , le stabilisateur dans  $G_{x_0}$  d'un sommet de  $lk(x_0; P)$  agit transitivement sur les arêtes issues de ce sommet. Si  $P$  vérifie  $(P_0)$ , alors  $\text{Aut}_0(P) \setminus \text{Aut}_F(P) = G_1$ .*

- (2) Supposons que, pour tout sommet  $x_0$  de  $P$ , pour toute arête  $a$  issue de  $x_0$ , l'ensemble  $E(a)$  des polygones de  $P$  contenant  $a$  est de cardinal au moins trois, et que pour tout polygone  $c$  contenant  $a$ , le stabilisateur dans  $G_{x_0}$  de  $c$  agit transitivement sur  $E(a)$  nfcg. Si  $P$  vérifie  $(P_0)$ , alors  $G_0 = G_1 = \text{Aut}_0(P) \setminus \text{Aut}_F(P)$ .
- (3) Supposons que, pour tout sommet  $x_0$  de  $P$ , toute arête  $c$  de  $\text{lk}(x_0; P)$ , et tout  $f \in G_{x_0}$  fixant  $c$ , on a une décomposition  $f = f_1 \circ f_2$ , où  $f_1 \in G_{x_0}$  fixe toute une facette de  $\text{lk}(x_0; P)$  contenant une extrémité de  $c$ , et  $f_2 \in G_{x_0}$  fixe toute la facette de  $\text{lk}(x_0; P)$  contenant l'autre extrémité de  $c$ . Supposons que la restriction d'un  $F$ -automorphisme fixant un sommet  $x_0$  à  $\text{lk}(x_0; P)$  est dans  $G_{x_0}$ . Si  $P$  vérifie  $(P^+)$  et si tous ses murs sont propres, alors  $\text{Aut}^+(P) = G_0$ .

**Preuve** Pour la première assertion, il suffit de remarquer que l'hypothèse, plus la propriété  $(P_0)$ , entraînent la propriété  $(TL_1)$ . On applique alors le lemme 5.22 précédent.

Pour la deuxième, par le lemme 5.22, il suffit de vérifier que  $P$  satisfait  $(TL_0)$ . Soit  $a$  une arête de  $P$  contenue dans deux polygones  $c_1; c_2$ . Fixons un sommet  $x_0$  de  $a$  et un troisième polygone  $c$  contenant  $a$  distinct de  $c_1; c_2$ . Par hypothèse, soit  $f$  dans  $G_{x_0}$  fixant  $c$  et envoyant  $c_1$  sur  $c_2$ . La propriété  $(P_0)$  permet d'étendre  $f$  en un  $F$ -automorphisme de  $P$ , qui fixe  $a$  et  $c$ , et envoie  $c_1$  sur  $c_2$ , ce qui montre  $(TL_0)$ .

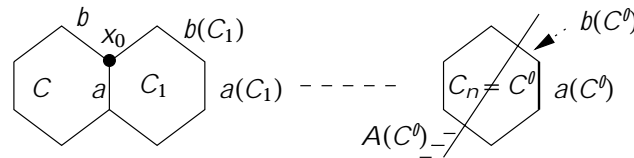
Montrons la troisième assertion. Comme  $\text{Aut}^+(P)$  est contenu dans le groupe engendré par les générateurs de chambres, il suffit de montrer que pour toute chambre  $C$  de  $P$ , le groupe  $\text{Fix}(C)$  est contenu dans  $\text{Aut}^+(P) \setminus \text{Aut}_F(P)$ . En fait, nous allons montrer que si  $\bar{f}$  est dans  $\text{Fix}(C)$  et si  $a$  et  $b$  sont deux arêtes du polygone  $C$  adjacentes en un sommet  $x_0$ , alors il existe  $\bar{f}_a$  et  $\bar{f}_b$  fixant strictement les murs  $M(a)$  et  $M(b)$  tels que  $\bar{f} = \bar{f}_b \circ \bar{f}_a$ .

**Assertion 1** Il existe un automorphisme  $\bar{f}_b$  de  $P$  fixant  $M(b)$  et toute la moitié de  $P$  délimitée par  $M(b)$  ne contenant pas  $x_0$ , tel que  $\bar{f}$  coïncide avec  $\bar{f}_b$  sur l'ensemble des chambres de  $P$  contenant l'arête  $a$ .

**Preuve** L'automorphisme  $\bar{f}$  fixe  $x_0$  et  $C$ , donc induit un automorphisme  $f$  de  $G_{x_0}$  fixant l'arête  $c$  entre les sommets du link correspondant aux arêtes  $a$  et  $b$  de  $P$ . Vu l'hypothèse sur  $P$ , il existe  $f_a$  et  $f_b$  dans  $G_{x_0}$  tels que  $f = f_b \circ f_a$ . D'après  $(P^+)$ , on peut prolonger ces deux automorphismes locaux en éléments  $\bar{f}_a$  et  $\bar{f}_b$  fixant strictement les murs  $M(a)$  et  $M(b)$  (ainsi que

les moitiés convenables). Maintenant l'égalité  $\bar{F} = \bar{F}_b \bar{F}_a$  sur l'étoile de  $x_0$  entraîne  $\bar{F} = \bar{F}_b$  sur l'ensemble des chambres de  $P$  contenant l'arête  $a$ , puisque  $\bar{F}_a$  agit trivialement sur cet ensemble.  $\square$

Appelons *galerie géodesique de  $M(a)$  d'origine  $(C; a)$*  toute galerie sans répétition  $(C_0; C_1; \dots; C_n)$  telle que  $C_0 = C$ ,  $C_0 \setminus C_1 = a$ , l'arête  $C_i \setminus C_{i+1}$  est parallèle à  $a$  et distincte de  $a_{i-1}$ . Comme  $M(a)$  est un arbre, deux galeries géodesiques de  $M(a)$  d'origine  $(C; a)$  et de mêmes extrémités sont égales. Nous noterons  $(C_n)$  la longueur  $n$  de cette galerie. Soit alors  $B_n^+(C)$  l'ensemble des polygones  $C^\ell$  de  $P$  qui sont extrémités d'une galerie géodesique de  $M(a)$

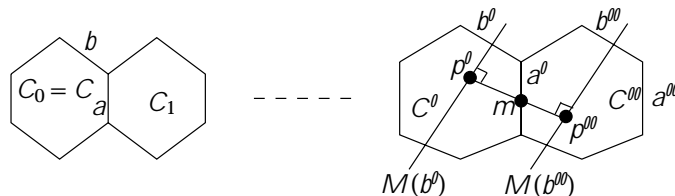


d'origine  $(C; a)$  de longueur au plus  $n$ . Nous noterons  $a(C)$  l'arête  $a$ ; pour  $C^\ell \in B_n^+(C)$ , avec  $(C^\ell) = n > 0$ , soit  $a(C^\ell)$  l'arête de  $C^\ell$  parallèle à  $a$ , non contenue dans un polygone de  $B_{n-1}^+(C)$ . Nous pouvons ensuite définir  $b(C^\ell)$  comme l'arête de  $C^\ell$  adjacente à  $a(C^\ell)$ , non séparée de  $b$  par  $M(a) = M(a(C^\ell))$ . Soient en  $n$   $A(C^\ell)$  la moitié fermée de  $P$  délimitée par  $M(b(C^\ell))$  ne contenant pas  $a(C^\ell)$ , et  $B^+(C)$  l'union des  $B_n^+(C)$ .

**Remarque 2** Les murs  $M(b(C^\ell))$  sont deux à deux disjoints; la moitié  $A(C^\ell)$  contient strictement le mur  $M(b(C^{\ell\ell}))$  (donc la chambre  $C^{\ell\ell}$ ), dès que la galerie géodesique de  $M(a)$  d'origine  $(C; a)$  et d'extrémité  $C^{\ell\ell}$  ne passe pas par  $C^\ell$ .

**Preuve** Prouvons d'abord que  $M(b(C^\ell)) \setminus M(b(C^{\ell\ell})) = \emptyset$ , lorsque  $C^\ell$  et  $C^{\ell\ell}$  sont deux chambres de  $B^+(C)$  telles que  $C^\ell \setminus C^{\ell\ell}$  est une arête, et  $(C^\ell) \not\subseteq (C^{\ell\ell})$ . Nous pouvons supposer les notations telles que l'arête  $a^\ell$  commune à  $C^\ell$  et  $C^{\ell\ell}$  est l'arête  $a(C^\ell)$  (autrement dit,  $(C^\ell) < (C^{\ell\ell})$ ). Pour alléger, nous notons alors  $a^{\ell\ell}$ ,  $b^\ell$  et  $b^{\ell\ell}$  les arêtes  $a(C^{\ell\ell})$ ,  $b(C^\ell)$  et  $b(C^{\ell\ell})$ . Pour voir que  $M(b^\ell) \setminus M(b^{\ell\ell}) = \emptyset$ , il suffit de voir que les deux murs ont une perpendiculaire commune (dans  $C^\ell \cap C^{\ell\ell}$ ): l'inégalité CAT(0) permet alors de conclure.

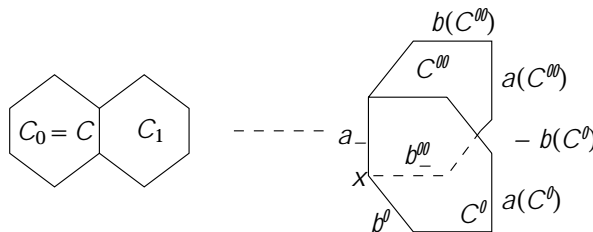
Soient  $m$  le milieu de  $a^\ell$ , et  $p^\ell$  (resp:  $p^{\ell\ell}$ ) la projection orthogonale de  $m$  sur  $M(b^\ell)$  (resp:  $M(b^{\ell\ell})$ ). Alors  $p^\ell$  s'obtient comme l'intersection avec  $M(b^\ell; C^\ell)$  de la géodesique de  $C^\ell$  joignant  $m$  à son image par  $(b^\ell; C^\ell)$ . En particulier,  $p^\ell$  est à l'intérieur de  $C^\ell$ , et  $p^{\ell\ell} \notin p^\ell$ . Il reste à montrer que la géodesique de  $P$  joignant  $p^\ell$  et  $p^{\ell\ell}$  passe par  $m$ .



La reunion de  $C^l$  et  $C^{ll}$  admet deux reflexions orthogonales:  $a^l$  qui echange les extremités de  $a^l$ , et  $a^{ll}$  qui echange  $a^l$  en echangeant les deux chambres  $C^l$  et  $C^{ll}$  (rappelons que  $P$  admet un type). Il est alors immediat que la symetrie centrale  $a^l a^{ll}$  envoie  $M(b^l; C^l)$  sur  $M(b^{ll}; C^{ll})$  en echangeant  $m$ , donc envoie le segment  $mp^l$  sur le segment  $mp^{ll}$ , de sorte que l'union de ces deux segments est encore une geodesique.

Il est maintenant clair que, si  $(C_0; C_1; \dots; C_n)$  est une galerie geodesique de  $M(a)$  d'origine  $(C; a)$ , la suite des demi-espaces fermes  $A(C_i)$  est strictement croissante. En particulier,  $A(C_n)$  contient strictement les murs  $M(b(C_i))$ , pour  $0 \leq i < n$ .

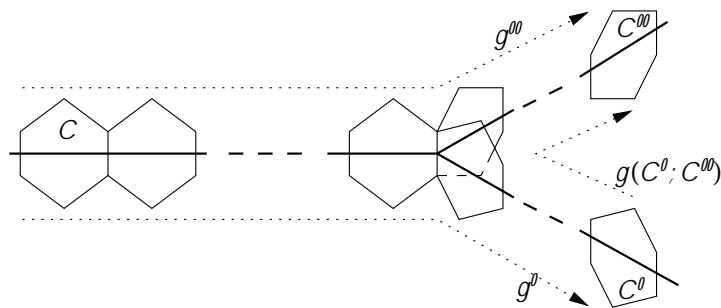
Montrons maintenant que  $M(b(C^l)) \cap M(b(C^{ll})) = \emptyset$ , lorsque  $C^l$  et  $C^{ll}$  sont deux chambres de  $B^+(C)$  telles que  $C^l \cap C^{ll}$  est une arête, et  $a(C^l) = a(C^{ll})$ . Dans ce cas, l'arête  $a_-$  formant  $C^l \cap C^{ll}$  est opposee a  $b(C^l)$  et  $b(C^{ll})$  dans  $C^l$  et  $C^{ll}$  respectivement. Il existe alors deux arêtes  $b^l_-$  et  $b^{ll}_-$  de  $C^l$  et  $C^{ll}$ , opposees a  $b(C^l)$  et  $b(C^{ll})$  respectivement, donc adjacentes a  $a_-$  en un sommet  $x$ , avec  $M(b^l_-) = M(b(C^l))$  et  $M(b^{ll}_-) = M(b(C^{ll}))$ .



Pour montrer que ces deux murs sont disjoints, on exhibe la aussi une perpendiculaire commune. Auparavant, on modifie la metrique CAT(0) sur  $P$ , en rendant tous les polygones de  $P$  reguliers a angle droit (donc hyperboliques, sauf si au depart on avait des carres). La nouvelle metrique est bien encore CAT(0) (et même souvent CAT(-1)), puisque tous les links de  $P$  sont des graphes bipartis ( $P$  admet un type), donc ont des circuits de longueur au moins 4. Alors  $b^l_- \cup b^{ll}_-$  est geodesique même en  $x$ , et perpendiculaire aux deux murs.



Il est alors évident que  $A(C^0)$  contient strictement la moitié fermée de  $P$  de nie par  $M(b(C^0))$  et contenant  $a(C^0)$  (i.e. dont la réunion avec  $A(C^0)$  est  $P$  entier).



Pour achever la preuve de l'assertion, soient  $C^0$  et  $C^00$  deux chambres distinctes de  $B^+(C)$ , telles que la galerie géodésique de  $M(a)$  d'origine  $(C; a)$  et d'extrémité  $C^00$  ne passe pas par  $C^0$ . Si  $g^0$  et  $g^00$  sont les galeries géodésiques de  $M(a)$  d'origine  $(C; a)$  et d'extrémité  $C^0$  et  $C^00$  respectivement, la galerie  $g(C^0; C^00)$  obtenue à partir de  $g^{0-1} \cdot g^00$  en ôtant les répétitions permet, compte tenu des résultats préliminaires ci-dessus, de construire une suite strictement décroissante de moitiés fermées dont la première est  $A(C^0)$  et la dernière est la moitié complémentaire de  $A(C^00)$ . Ceci conclut.  $\square$

Revenons à la preuve de la proposition. Pour  $\bar{F} \in \text{Fix}(C) \setminus \text{Aut}_F(P)$ , supposons avoir construit  $\bar{F}_b^n$  xant strictement le mur  $M(b)$ , et coïncidant avec  $\bar{F}$  sur chaque chambre de  $B_n^+(C)$  (c'est vrai pour  $n = 1$ , d'après l'assertion 1). Alors  $(\bar{F}_b^n)^{-1} \bar{F}$  agit trivialement sur chaque chambre de  $B_n^+(C)$ . Soient  $C^1; \dots; C^k$  les chambres de  $B^+(C)$  avec  $\text{card}(C^i) = n$ . En appliquant l'assertion 1 à la chambre  $C^1$ , aux arêtes  $a(C^1)$  et  $b(C^1)$ , on trouve  $\bar{F}^1$  xant toute la moitié  $A(C^1)$  et coïncidant avec  $(\bar{F}_b^n)^{-1} \bar{F}$  sur l'ensemble des chambres contenant  $a(C^1)$ . D'après l'assertion 2,  $\bar{F}^1$  xant strictement le mur  $M(b)$ , agit trivialement sur toutes les chambres de  $B_n^+(C)$ , et même sur les chambres de  $B^+(C)$  adjacentes à  $C^2; C^3; \dots$  ou  $C^k$ . Alors  $(\bar{F}^1)^{-1} (\bar{F}_b^n)^{-1} \bar{F}$  agit trivialement sur chaque chambre de  $B_n^+(C)$ , et sur chaque chambre contenant  $a(C^1)$ . En réutilisant les assertions 1 et 2, on trouve des automorphismes  $\bar{F}^2; \bar{F}^3; \dots; \bar{F}^k$  xant tous strictement  $M(b)$ , tels que  $\bar{F}_b^{n+1} = \bar{F}_b^n \bar{F}^1 \bar{F}^2 \dots \bar{F}^k$  agit comme  $\bar{F}$  sur  $B_{n+1}^+(C)$ . L'automorphisme  $\bar{F}_b^{n+1}$  xant strictement  $M(b)$  et coïncide avec  $\bar{F}$  sur chaque chambre de  $B_{n+1}^+(C)$ . En itérant ce processus, et quitte à extraire une sous-suite convergente, on trouve à la limite un  $\bar{F}_b^+$  xant

strictement le mur  $M(b)$  et coïncidant avec  $\bar{f}$  sur chaque chambre de  $B^+(C)$ . On peut imposer que  $\bar{F}_b^+$  fixe point par point la moitié de  $P$  de gauche par  $M(b)$  et ne contenant pas  $a$ .

En appliquant la construction précédente sur l'autre moitié de  $M(b)$ , on trouve un  $\bar{F}_b^-$  coïncidant avec  $\bar{f}$  sur chaque chambre de  $B^-(C)$ , et fixant point par point la moitié de  $P$  de droite par  $M(b)$  et contenant  $a$ . Si on pose  $\bar{F}_b = \bar{F}_b^+ \bar{F}_b^-$  et  $\bar{F}_a = (\bar{F}_b)^{-1} \bar{f}$ , on a  $\bar{f} = \bar{F}_b \bar{F}_a$ , avec  $\bar{F}_b$  fixant strictement le mur  $M(b)$ , et  $\bar{F}_a$  fixant strictement le mur  $M(a)$ .  $\square$

Soit  $k$  un entier pair au moins 4 et  $L$  un graphe fini de maille au moins 5 si  $k = 4$  et 4 si  $k \geq 6$ . Pour tout bloc  $B$  de  $A(k; L)$  (au sens de la définition 5.10), notons  $F_B$  le sous-groupe caractéristique des automorphismes de  $B$  engendré par les réflexions de facettes dans  $B$ . En fait, si  $x$  est le centre du bloc  $B$ , alors  $F_B = G_x$  avec les notations précédant la proposition 5.23. Remarquons que  $W(k; L)$  est un sous-groupe de  $\text{Aut}_F A(k; L)$ .

**Lemme 5.24** Soit  $B_0$  un bloc de  $A(k; L)$ . Si  $\bar{\cdot} =_{B_0}$  désigne le morphisme de restriction de  $\text{Stab}(B_0; \text{Aut} A(k; L))$  dans  $\text{Aut}(B_0)$ , alors

$$(\text{Stab}(B_0; \text{Aut}_F A(k; L))) = F_{B_0}:$$

**Preuve** Pour tout bloc  $B$  de  $A(k; L)$ , notons  $\underline{E}_B$  l'image réciproque de  $F_B$  par  $\bar{\cdot}_B$ . Par le prolongement  $W(k; L)$ -equivariant (voir les remarques avant la définition 5.10), on a  $\bar{B}(\underline{E}_B) = F_B$ .

D'autre part, si  $\bar{F}_B$  est le stabilisateur de  $B$  dans  $\text{Aut}_F A(k; L)$ , alors  $\underline{E}_B \subseteq \bar{F}_B$ . En effet, si  $\hat{\alpha} \in \underline{E}_B$ , par définition  $\bar{B}(\hat{\alpha})$  s'écrit  $\bar{B}(\hat{\alpha}) = \alpha_1 \dots \alpha_n$ , où les  $\alpha_i$  sont des automorphismes de  $B$  fixant une facette de  $B$ . Comme  $\bar{B}(\underline{E}_B) = F_B$ , il existe  $\hat{\alpha}_1; \dots; \hat{\alpha}_n$  éléments de  $\underline{E}_B$  prolongeant les  $\alpha_i$ . On a donc  $\hat{\alpha} = \hat{\alpha}_1 \dots \hat{\alpha}_n$ , où " $\cdot$ " vaut l'identité sur  $B$ . Chaque terme de la décomposition fixant une facette de  $B$ , on a  $\hat{\alpha} \in \text{Aut}_F A(k; L)$ .

Pour montrer l'inclusion réciproque  $\underline{E}_{B_0} \subseteq \bar{F}_{B_0}$ , introduisons le sous-groupe  $H$  de  $\text{Aut} A(k; L)$  engendré par  $W(k; L)$  et  $\underline{E}_{B_0}$ . Nous allons d'abord montrer que  $H = \text{Aut}_F A(k; L)$ , puis que  $\text{Stab}(B_0; H) = \underline{E}_{B_0}$ , ce qui achèvera la preuve du lemme.

D'abord, comme  $\underline{E}_{B_0} \subseteq \bar{F}_{B_0}$  et  $W(k; L) \subseteq \text{Aut}_F(A(k; L))$ , on a bien  $H \subseteq \text{Aut}_F A(k; L)$ . Réciproquement si  $f$  est un automorphisme de  $A(k; L)$  fixant une facette, il existe  $w$  dans  $W(k; L)$  tel que  $w(\cdot) \in B_0$ . Alors l'automorphisme  $wfw^{-1}$  fixe une facette  $f$  de  $B_0$ . Si  $s$  désigne la réflexion de

$W(k; L)$  par rapport au mur passant par cette facette, il existe un  $k \in \{0, 1, g\}$  tel que  $s^k w f w^{-1}$  preserve  $B_0$  et se fixe une facette  $f$  de  $B_0$ , donc est dans  $\underline{E}_{B_0}$ . Ainsi  $f \in H$ , et  $H$  contient  $\text{Aut}_F A(k; L)$ .

Montrons maintenant que  $\text{Stab}(B_0; H) = \underline{E}_{B_0}$ , c'est-à-dire  $\text{Stab}(B_0; H) = \underline{E}_{B_0}$ . Si nous vérifions que tout  $h \in H$  peut s'écrire  $h = wf$ , avec  $w \in W(k; L)$  et  $f \in \underline{E}_{B_0}$ , alors on aura  $h(B_0) = B_0$  implique  $w = 1$ , donc  $h \in \underline{E}_{B_0}$ . Pour établir que  $H$  coïncide avec l'ensemble  $H^0$  des automorphismes  $f$  de  $A(k; L)$  tels que  $w_0^{-1} f \in \underline{E}_{B_0}$ , pour  $w_0$  l'unique élément de  $W(k; L)$  tel que  $w_0(B_0) = f(B_0)$ , introduisons l'ensemble  $H^0$  des automorphismes  $f$  de  $A(k; L)$  tels que, pour tout bloc  $B$ ,  $w^{-1} f \in \underline{E}_B$ , avec  $w$  l'unique élément de  $W(k; L)$  tel que  $w(B) = f(B)$ . Il est clair que  $H^0$  est un sous-groupe de  $H$  contenu dans  $H^0$ . Pour conclure, montrons que  $H^0 = H$ . Comme  $W(k; L) \subseteq H^0$ , il suffit de montrer que  $\underline{E}_{B_0} \subseteq H^0$ , ce qui découle de l'argument suivante: si  $w_1^{-1} f$  est dans  $\underline{E}_{B_1}$  et si  $B_1 \setminus B_2$  est une facette, alors  $w_2^{-1} f$  est dans  $\underline{E}_{B_2}$  (avec  $w_i(B_i) = f(B_i) = B_i^f$ ). Pour voir ceci, soit  $s$  (resp.  $s^d$ ) la réflexion de  $W(k; L)$  échangeant  $B_1$  et  $B_2$  (resp.  $B_1^f$  et  $B_2^f$ ), alors  $w_2 = s^d w_1 s$ . Posons  $g = w_1^{-1} f$ . Par hypothèse sur l'automorphisme  $f$ , on a  $g$  est dans  $\underline{E}_{B_1}$ . Donc  $s^{-1} g s$  est dans  $\underline{E}_{B_2}$ . Or  $(s^{-1} g s)^{-1} w_2 = s f^{-1} w_1 s s w_1^{-1} s^d f = s f^{-1} s^d f$ . Ce dernier automorphisme se fixe la facette  $f$  et preserve le bloc  $B_2$ , donc est lui aussi dans  $\underline{E}_{B_2}$ , ce qui conclut.  $\square$

Appelons *facette de  $L$*  l'étoile d'un sommet de  $L$  dans la subdivision barycentrique  $L^0$ . Soit  $F$  le sous-groupe caractéristique de  $\text{Aut}(L)$  engendré par les rotateurs de facettes de  $L$ . Si  $L$  est le graphe biparti complet sur  $p+q$  sommets avec  $p, q \geq 3$ , alors  $\text{Aut}_0(L) \langle S_p, S_q \rangle = F$ .

**Corollaire 5.25** *Le quotient de  $\text{Aut}A(k; L)$  par son sous-groupe distingué  $\text{Aut}_F A(k; L)$  est isomorphe au quotient de  $\text{Aut}(L)$  par son sous-groupe distingué  $F$ .*

**Preuve** Le groupe  $\text{Aut}A(k; L)$  est transitif sur les sommets de  $A(k; L)$  car  $W(k; L)$  l'est. Donc pour tout sommet  $x_0$ , centre du bloc  $B_0$ , le quotient  $\text{Aut}A(k; L) / \text{Aut}_F A(k; L)$  est isomorphe à  $\text{Fix } x_0 = \text{Fix } x_0 \setminus \text{Aut}_F A(k; L)$ . Par restriction, on a un morphisme  $\text{Fix } x_0 \rightarrow \text{Aut}(B_0)$ , qui est surjectif par le paragraphe précédent la définition 5.10. Son noyau est contenu dans  $\text{Fix } x_0 \setminus \text{Aut}_F A(k; L)$ . De plus, par le lemme précédent, l'image de  $\text{Fix } x_0 \setminus \text{Aut}_F A(k; L)$  est exactement  $F_{B_0}$ . Donc  $\text{Fix } x_0 = \text{Fix } x_0 \setminus \text{Aut}_F A(k; L)$  est isomorphe au quotient  $\text{Aut}(B_0) = F_{B_0}$ .  $\square$

Soit  $G$  un groupe de Chevalley fini de rang 2, sur le corps fini  $K$ , de système de racines  $\Phi$ , de racines fondamentales  $\alpha_1, \alpha_2$ , de racines positives  $\Phi^+$  et de groupes de racines

$$X_i = \langle x_i(t) = t^{\pm 1} \rangle \leq K^g$$

pour  $i = 1, 2$ . Nous utiliserons les notations de [12]. En particulier,  $U$  est le sous-groupe de  $G$  engendré par les racines positives. On a un morphisme  $h : \text{Hom}(\mathbb{Z} \times \mathbb{Z}; K^*) \rightarrow \text{Aut}(G)$  qui, à un caractère du réseau des racines à valeurs dans le groupe multiplicatif de  $K$ , associe l'automorphisme de  $G$  induit par l'automorphisme

$$h(\chi) : x_i(t) \mapsto \chi(\alpha_i) x_i(t)$$

sur chaque groupe de racine de  $G$ . On rappelle (voir [12]) que  $G$  est sans centre, est engendré par les groupes de racines  $X_i$ , et que chaque racine est combinaison linéaire à coefficients entiers (tous du même signe) de  $\alpha_1, \alpha_2$ .

On identifie  $G$  à son image dans  $\text{Aut}(G)$  par les automorphismes intérieurs. On note  $\mathcal{H}$  l'image de  $h$ ,  $H = G \setminus \mathcal{H}$  et  $B = UH$ . Il existe alors (voir [12, page 101]) un sous-groupe  $N$  de  $G$  tel que  $(B; N)$  est une BN-paire de  $G$ . Soit  $L$  le  $m$ -gone généralisé associé à cette BN-paire, muni de son action de  $G$ , de sa chambre fondamentale  $c$  de chambre  $B$ , et de son appartement fondamental de chambre  $H$  [12, page 102]. On identifie  $c$  avec l'ensemble des demi-appartements de  $c$ , de sorte que  $\Phi^+$  corresponde à ceux contenant  $c$ , et que  $X_i$  soit le stabilisateur de la réunion de  $c$  et des arêtes de  $L$  rencontrant  $c$  en un sommet intérieur de  $c$ .

Notons que  $\mathcal{H}$  préserve chaque groupe de racine  $X_i$ . Par conséquent, il agit sur  $L$  en tournant (et en particulier en préservant le type). Pour  $i = 1, 2$ , notons  $x_i$  le sommet de  $c$  appartenant au bord de  $c_i$ ,  $c_i$  la chambre de  $c$  adjacente à  $c$  en  $x_i$ , et  $f_i$  la facette de  $L$  de centre  $x_i$ . Les arêtes de  $c_i$  sont les moitiés contenant  $x_i$  des chambres disjointes  $f_i c_i [f_i x_i(t) c_i = t^{\pm 1} \rangle \leq K^g$ , car  $X_i$  agit simplement transitivement sur l'ensemble des chambres contenant  $x_i$  disjointes de  $c$ . Tout caractère  $\chi : \mathbb{Z} \times \mathbb{Z} \rightarrow K^*$  s'écrit comme un produit de caractères  $\chi_1 \chi_2$  avec  $\chi_i$  valant 1 sur  $X_i$ . Comme  $h$  est un morphisme, on a donc  $h(\chi) = h(\chi_1)h(\chi_2)$ . De plus  $h(\chi_i)$  fixe  $c_i$  par la description précédente.

**Proposition 5.26** *Si  $F$  est le sous-groupe caractéristique de  $\text{Aut}(L)$  engendré par les stabilisateurs de facettes de  $L$ , alors*

- (1)  $F = G\mathcal{H}$ ,
- (2) Le stabilisateur  $\text{Fix}_F(c)$  de  $c$  dans  $F$  est  $U\mathcal{H}$ ,

- (3)  $\text{Aut}_0(L)=F$  est isomorphe au groupe  $\text{Aut}(K)$  des automorphismes du corps  $K$ .

**Preuve** (1) D'après les rappels précédents, l'inclusion de  $G\mathcal{H}$  dans  $F$  est claire. Soit  $\sigma$  une facette de  $L$  et  $f$  un automorphisme de  $L$  xant  $\sigma$ . On veut montrer que  $f$  appartient à  $G\mathcal{H}$ . Quitte à composer à gauche par un élément de  $G$ , on peut supposer que  $f$  fixe  $\sigma$  et l'une des facettes  $\sigma_1$  ou  $\sigma_2$ , disons  $\sigma_1$ . Comme  $f$  preserve  $\sigma_2$  en xant  $c$  et  $c_2$ , on peut écrire

$$f(x_{\sigma_2}(1)c_2) = x_{\sigma_2}(\tau)c_2$$

pour un certain  $\tau$  dans  $K - f0g$ . Soit  $\chi$  le caractère qui à  $\sigma_1$  associe 1 et à  $\sigma_2$  associe  $\tau$ . Montrons alors que  $f = h(\chi)$ . Posons  $\psi = h(\chi)^{-1}f$ . C'est un automorphisme de  $L$  xant  $\sigma_1$  et  $x_{\sigma_2}(1)c_2$ . Notons que  $\psi$  normalise  $G$ , et notons encore  $\psi$  l'automorphisme de  $G$  induit. Alors  $\psi$  preserve chaque  $X_i$ ,  $(x_{\sigma_1}(t)) = x_{\sigma_1}(t)$  pour tout  $t \in K$  et  $(x_{\sigma_2}(1)) = x_{\sigma_2}(1)$ . Il découle de la preuve du théorème 12.5.1 de [12, page 211] que l'ensemble des automorphismes de  $G$  qui preservent chaque  $X_i$ , et xent  $x_{\sigma_i}(1)$  pour  $i = 1;2$ , est un sous-groupe de  $G$  isomorphe à  $\text{Aut}(K)$ , et que si de plus  $(x_{\sigma_1}(t)) = x_{\sigma_1}(t)$  pour tout  $t \in K$ , alors  $\psi$  vaut l'identité.

(2) L'inclusion de  $U\mathcal{H}$  dans  $\text{Fix}_F(c)$  est claire. Réciproquement, soit  $f$  dans  $F$  xant  $c$ . Alors  $f = g\beta$  avec  $g \in G$  et  $\beta \in \mathcal{H}$  par (1). Comme  $\beta$  fixe  $c$ , on en déduit que  $g$  fixe  $c$ . Or le xateur de  $c$  dans  $G$  est  $B = UH$ , et comme  $H \subseteq \mathcal{H}$ , le résultat en découle.

(3) Il est clair que  $F$  est contenu et distingué dans  $\text{Aut}_0(L)$ . Soit  $f \in \text{Aut}_0(L)$ . Quitte à le multiplier par un élément de  $G$ , on peut supposer que  $f$  fixe  $\sigma$ . Quitte à le multiplier par un élément de  $\mathcal{H}$ , on peut supposer que  $f$  fixe  $x_{\sigma_i}(1)$  pour  $i = 1;2$ . Soit  $Z$  le xateur dans  $\text{Aut}_0(L)$  de  $\{fx_{\sigma_1}(1); x_{\sigma_2}(1)g\}$ . On a donc un isomorphisme entre  $\text{Aut}_0(L)=F$  et  $Z=Z \setminus F$ . Or si  $f = g\beta$  fixe  $\sigma$ , avec  $g \in G$  et  $\beta \in \mathcal{H}$ , alors  $g$  fixe  $\sigma$ . Donc  $g$  appartient au xateur de  $\sigma$  dans  $G$ , qui est  $H$ . Par conséquent  $f \in \mathcal{H}$ . Or un élément  $h(\chi)$  de  $\mathcal{H}$  xant  $x_{\sigma_1}(1)$  et  $x_{\sigma_2}(1)$  vaut l'identité, car on aurait  $(\chi_{\sigma_1}) = 1$  et  $(\chi_{\sigma_2}) = 1$ . D'où  $Z \setminus F = f1g$ , ce qui montre le résultat,  $Z$  étant isomorphe à  $\text{Aut}(K)$ , d'après le dernier argument de (1).  $\square$

**Corollaire 5.27** Pour  $i = 1;2$ , soit  $F_i$  le xateur de la facette  $\sigma_i$  dans  $\text{Aut}(L)$ . Alors

$$\text{Fix}_F(c) = F_1F_2 = F_2F_1.$$

**Preuve** L'égalité  $F_1 F_2 = F_2 F_1$  vient du fait que  $F_1$  et  $F_2$  évaluent  $c = \alpha_1 \setminus \alpha_2$  donc  $F_i$  préserve  $\alpha_{3-i}$ . L'inclusion de  $F_1 F_2$  dans  $\text{Fix}_F(c)$  est claire. Pour montrer l'inclusion inverse, comme  $\text{Fix}_F(c) = U \mathcal{H}$ , il suffit de le faire pour  $U$  et pour  $\mathcal{H}$ . Or  $U$  est engendré par les  $X$  pour  $\alpha$  racine positive, et un tel  $X$  est contenu soit dans  $F_1$ , soit dans  $F_2$ . De plus, on a vu avant la proposition 5.26 que pour tout caractère  $\chi$ ,  $h(\chi) = h(\alpha_1)h(\alpha_2)$  avec  $h(\alpha_i)$  évaluant  $\alpha_i$ .  $\square$

**Corollaire 5.28** *Si  $L$  est un  $m$ -gône généralisé épais fini classique, alors le groupe  $\text{Aut}_0 A(k; L) \setminus \text{Aut}_F(P)$  des  $F$ -automorphismes préservant le type de  $A(k; L)$ , coïncide avec le groupe  $\text{Aut}^+ A(k; L)$  des automorphismes de  $A(k; L)$  engendrés par lesérateurs stricts de murs propres, et est distingué dans  $\text{Aut}_0 A(k; L)$ , de quotient trivial si  $m = 2$ , et sinon isomorphe au groupe fini des automorphismes de corps du corps fini de définition de  $L$ .*

**Preuve** Nous allons vérifier les hypothèses de la proposition 5.23 (2) et (3) pour montrer que  $\text{Aut}^+ A(k; L) = G_0 = \text{Aut}_0(P) \setminus \text{Aut}_F(P)$ . Puisque  $A(k; L)$  est un immeuble, il admet un type. Puisque  $A(k; L)$  est la réalisation géométrique de Davis-Moussong d'un système de Coxeter, il vérifie la propriété  $(P^+)$ . Tous ses murs sont propres par le lemme 4.18. Par hypothèse,  $L$  est épais et de Moufang, et pour tout sommet  $x_0$  de  $A(k; L)$ , le bord du bloc de centre  $x_0$  s'identifie avec  $L$ , donc l'hypothèse de 5.23 (2) est vérifiée.

Par le lemme 5.24, si  $\iota$  est le morphisme de restriction à un bloc  $B_0$  de centre  $x_0$  des automorphismes de  $A(k; L)$  évaluant  $x_0$ , alors l'image  $I$  par  $\iota$  duérateur de  $x_0$  dans  $\text{Aut}_F A(k; L)$  est exactement  $G_{x_0}$ . L'inclusion de  $G_{x_0}$  dans  $I$  montre la propriété  $(P_0)$  et l'inclusion réciproque montre la deuxième hypothèse de 5.23 (3).

La première hypothèse de 5.23 (3) découle du corollaire 5.27 si  $m \geq 3$ , et est claire si  $m = 2$ .

Enfin, par le corollaire 5.25 et la proposition 5.26 (3) si  $m \geq 3$ , le quotient  $\text{Aut}_0 A(k; L) = \text{Aut}^+ A(k; L)$  est isomorphe à  $\text{Aut}(K)$ .  $\square$

## 6 Simplicité de groupes d'automorphismes d'espaces à murs

**Theoreme 6.1** *Soient  $(X; \mathcal{M})$  un espace à murs hyperbolique, de graphe associé  $G$ , et  $G$  un groupe d'automorphismes de  $(X; \mathcal{M})$ , dont l'action sur  $G$  est non élémentaire, d'ensemble limite égal à  $@G$ . Supposons que  $G$  vérifie la*

condition (P). Soit  $G^+$  le sous-groupe de  $G$  engendré par les  $x$ -ateurs stricts de murs propres et  $H$  un sous-groupe distingué de  $G^+$ . Alors ou bien  $H$  est contenu dans le noyau de l'action de  $G^+$  sur  $@G$ , ou bien  $H$  est égal à  $G^+$ .

**Corollaire 6.2** Si l'action de  $G^+$  sur  $@G$  est dérivée, alors  $G^+$  est simple.  $\square$

Remarquons que le sous-groupe  $G^+$  est distingué dans  $G$ , et qu'il peut être trivial.

**Preuve** Soit  $H$  un sous-groupe distingué non trivial de  $G^+$ . Supposons que  $H$  n'est pas contenu dans le noyau de l'action de  $G^+$  sur  $@G$ . Rappelons que  $X$  est le sous-ensemble des sommets de  $G$ .

**Lemme 6.3** Pour tout demi-espace  $A$  avec  $@X \cap @A$  non vide, il existe une chaîne propre  $(A_i)_{i \in \mathbb{Z}}$  et un élément  $h$  dans  $H$  tels que  $A = A_0 \cap A_1$ ,  $h(A_i) = A_{i+1}$  pour tout  $i$ .

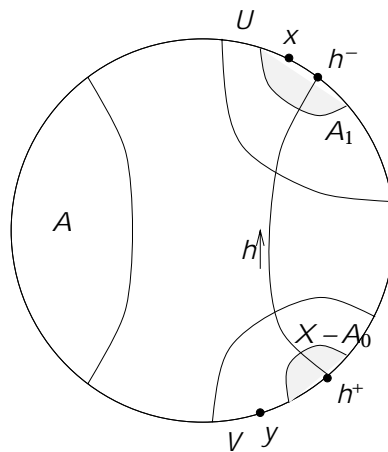


Figure 8: Construction de chaîne invariante par un élément hyperbolique

**Preuve** Puisque  $G = @G$  n'a pas de point isolé ( $G$  est non élémentaire), et par la condition (H), il existe (voir figure 8):

$x; y$  deux points distincts dans l'ouvert  $@X \cap @A = (\overline{X} \cap \overline{A}) \setminus @X$  de  $@X$ ,  
 $U; V$  deux ouverts disjoints de  $\overline{X}$ , contenus dans  $\overline{X} \cap \overline{A}$  et contenant respectivement  $x; y$ ,

$A_1$  un demi-espace contenu dans  $U$ , avec  $\overline{A_1}$  un voisinage de  $x$ , et dont le mur est propre.

Par une application double du lemme 2.1 (a  $G^+ = G$  et a  $H = G^+$ ), les couples des points fixes d'éléments hyperboliques de  $H$  sont denses dans  $@^2G$ . Soit donc  $h$  un élément hyperbolique de  $H$  dont un point fixe au bord est contenu dans l'intérieur de  $@A_1$ , et l'autre dans  $V$ . Quitte à remplacer  $h$  par une puissance suffisamment grande (en valeur absolue), pour que  $h(A_1)$  soit strictement contenu dans  $A_1$  et que  $h^{-1}(X \cap A_1)$  soit contenu dans  $V$ , la suite de demi-espaces  $(h^{i-1}(A_1))_{i \in \mathbb{Z}}$  est une chaîne. Le lemme est alors facile à vérifier.  $\square$

**Lemme 6.4** *Soient  $h \in H$  et  $C = (A_i)_{i \in \mathbb{Z}}$  une chaîne propre tels que  $h(A_i) = A_{i+1}$  pour tout  $i$ . Pour tout  $g \in G$  fixant strictement  $C$ , il existe  $f \in G^+$  tel que  $g = [h; f]$ .*

**Preuve** On note  $[u; v] = uvu^{-1}v^{-1}$ . Soient  $h, g$  comme dans l'énoncé. Si  $u \in G$  fixe strictement les  $M_i = fA_i; X \cap A_i g$ , notons  $u_i$  la restriction de  $u$  à  $A_i \cap A_{i+1}$ . Alors  $g = [h; f]$  si et seulement si, pour tout  $i \in \mathbb{Z}$ ,

$$g_i = hf_{i-1}h^{-1}f_i^{-1}$$

ou encore

$$f_i = g_i^{-1}hf_{i-1}h^{-1}.$$

Posons  $f_0$  la restriction à  $A_0 \cap A_1$  de l'identité de  $G$ . Alors la relation de récurrence ci-dessus (ou  $f_{i-1} = h^{-1}g_i f_i h$  pour les  $i$  strictement négatifs) permet de définir une application  $f_i$  sur  $A_i \cap A_{i+1}$ , qui est par récurrence restriction à  $A_i \cap A_{i+1}$  d'un élément  $f_i$  de  $G$  fixant strictement  $C$ . En effet, le fixateur strict de  $C$ , qui contient  $f_{i-1}$ , est distingué dans le stabilisateur de  $C$  (qui contient  $h$ ). Par la propriété (P), il existe un élément  $f$  dans  $G$  fixant strictement  $C$ , dont les restrictions sont les  $f_i$ , et la remarque préliminaire montre que  $g = [h; f]$ .

Par définition, le fixateur strict dans  $G$  d'une chaîne propre est contenu dans  $G^+$ . Ceci conclut la preuve.  $\square$

**Corollaire 6.5** *Le groupe  $H$  contient le fixateur strict dans  $G$  de tout mur propre.*

**Preuve** Soit  $M = fA; X \cap A g$  un mur propre, donc tel que  $@X \cap @A$  est non vide. Soit  $g \in G$  fixant strictement  $M$ . Par le lemme 3.4, pour montrer que  $g$



appartient à  $H$ , il suffit de le montrer en supposant de plus que  $g$  fixe (point par point)  $X \cap A$ . Par le lemme 6.3, il existe  $h \in H$  et une chaîne propre  $C = (A_i)_{i \in \mathbb{Z}}$  tels que  $h(A_i) = A_{i+1}$  et  $A = A_0 \cap A_1$ . En particulier  $g$  fixe strictement  $C$ . Par le lemme 6.4, il existe  $f$  dans  $G^+$  tel que  $g = [h; f] = h(fh^{-1}f^{-1})$ . Comme  $H$  est distingué dans  $G^+$ , il contient  $g$ , d'où le résultat.  $\square$

Le corollaire 6.5 démontre le théorème.  $\square$

## 7 Applications

**Théorème 7.1** *Soit  $P$  un complexe polyédral pair CAT(0), dont la métrique est hyperbolique au sens de Gromov, dont le groupe des automorphismes est non élémentaire et d'ensemble limite égal à  $@P$ . Soit  $\text{Aut}^+(P)$  le sous-groupe de  $\text{Aut}(P)$  engendré par les isométries strictes de murs propres et  $H$  un sous-groupe distingué de  $\text{Aut}^+(P)$ . Alors ou bien  $H$  est contenu dans le noyau de l'action de  $G$  sur  $@G$ , ou bien  $H$  est égal à  $\text{Aut}^+(P)$ .*

**Preuve** D'après le théorème 4.17, l'espace à murs  $(X_P; M_P)$  associé à  $P$  est un espace à murs hyperbolique, et le bord de  $P$  s'identifie au bord du graphe associé à  $(X_P; M_P)$ . D'après le théorème 5.1, le groupe des automorphismes de  $P$  (resp. le groupe engendré par les isométries strictes de murs propres de  $P$ ) coïncide avec le groupe  $G$  des automorphismes de l'espace à murs  $(X_P; M_P)$  (resp. le groupe engendré par les isométries strictes de murs propres de  $(X_P; M_P)$ ). Par le lemme 5.9, l'espace à murs  $(X_P; M_P)$  vérifie la condition  $(M^b)$ . Donc  $G$  vérifie la condition (P) par le lemme 3.5. Le résultat découle alors du théorème 6.1.  $\square$

**Corollaire 7.2** *Sous les hypothèses du théorème précédent:*

- (1) *Si  $P$  est localement compact alors  $H$  est relativement compact, ou égal à  $\text{Aut}^+ P$ .*
- (2) *Si le seul élément de  $\text{Aut}^+ P$  agissant trivialement sur le bord de  $P$  est l'identité, alors  $\text{Aut}^+ P$  est simple.*
- (3) *Si  $P$  est CAT(-1) et tout point de  $P$  est contenu dans une droite géodésique, alors  $\text{Aut}^+ P$  est simple.*

**Preuve** Si  $H$  est contenu dans le noyau de l'action sur le bord, et si  $P$  est localement compact, alors par le lemme 2.2,  $H$  est relativement compact.

Sinon, par le theoreme precedent on a  $H = \text{Aut}^+ P$ , ce qui montre (1) et (2). L'assertion (3) decoule de (2) par le lemme 2.2, car puisque  $\text{Aut}(P)$  est non elementaire, d'ensemble limite egal a tout  $@G$ , il n'y a pas de point isole dans  $@G$ .  $\square$

Le theoreme 1.4 de l'introduction decoule de ce corollaire et de la remarque precedant le lemme 2.2.

**Corollaire 7.3** *Soit  $(W; S)$  un systeme de Coxeter, avec  $W$  hyperbolique au sens de Gromov. Alors le quotient, par son sous-groupe distingue localement compact forme des elements xant l'in ni, du sous-groupe  $G^+$  des automorphismes du graphe de Cayley de  $(W; S)$  engendre par les xateurs stricts de murs propres, est simple. Il est non trivial (et donc non denombrable) si et seulement si  $(W; S)$  est non rigide.*

**Preuve** D'apres la remarque (1) de la section 4.2, le complexe polyedral  $jWj_0$  est pair. Il est localement compact, et  $W$  agit discretement avec quotient compact sur lui. Le resultat de simplicite decoule du theoreme precedent. La derniere assertion decoule du theoreme 5.12, la non trivialite de  $\text{Aut}^+ jWj_0$  impliquant sa non denombrabilite par le lemme 3.6.  $\square$

Le theoreme 1.3 de l'introduction decoule de ce corollaire, car le groupe des automorphismes du graphe de Cayley de  $(W; S)$  s'identi e avec le groupe des automorphismes polyedraux de la realisation geometrique au sens de Davis{Moussong de  $(W; S)$  (voir section 5.1).

Pour terminer, demontrons les theoremes 1.1 et 1.2 de l'introduction. Par le lemme 5.28, le groupe des  $F$ -automorphismes preservant le type des immeubles hyperboliques  $A(k; L)$  co'ncide avec le groupe engendre par les xateurs strict de murs propres, est d'indice ni dans  $\text{Aut}_0 A(k; L)$  et est simple par le corollaire 7.2 (3). Comme  $L$  est non rigide (par exemple si  $m = 3$ , un groupe de racine est non trivial et xe l'etoile d'un sommet), il est non denombrable, par le lemme 3.6. Il est evidemment ferme dans le groupe de tous les automorphismes, donc est localement compact.

En n, pour montrer que  $\text{Aut}^+ A(k; L)$  est non lineaire, il su t, par le theoreme de Schur{Kaplansky (voir par exemple [18, page 154]), de montrer qu'il contient un sous-groupe de type ni, de torsion et in ni. Supposons que  $k$  est multiple de 4 et que  $L$  est ou bien un graphe biparti complet  $K_{\rho; \rho}$ , ou l'immeuble spherique d'un groupe de Chevalley ni sur un corps  $F_q$  de caracteristique  $\rho$  di erente de 2. En utilisant les methodes de l'a rmation 2 de la proposition 5.23, il est alors possible de montrer que  $G$  contient une copie du  $\rho$ {groupe in ni a deux generateurs ; de Grigorchuk{Gupta{Sidki (voir [2, page 19]).

## Bibliographie

- [1] **E M Andreev**, *On convex polyhedra in Lobachevskii space*, Math. USSR Sb. 12 (1970) 413{440
- [2] **G Baumslag**, *Topics in Combinatorial Group Theory*, Lectures in Math. Birkhauser (1993)
- [3] **W Ballmann, M Brin**, *Polygonal complexes and combinatorial group theory*, Geom. Dedicata 50 Serie I (1994) 165-191
- [4] **N Benakli**, *Polygonal complexes I: Combinatorial and geometric properties*, J. Pure Appl. Alg. 97 (1994) 247{263
- [5] **N Bourbaki**, *Groupes et algèbres de Lie*, chap. 4,5,6, Hermann, Paris (1968)
- [6] **M Bourdon**, *Structure conforme au bord et flot géodésique d'un CAT(-1) espace*, L'Ens. Math. 41 (1995) 63{102
- [7] **M Bourdon**, *Immeubles hyperboliques, dimension conforme et rigidité de Mostow*, GAFA 7 (1997) 245{268
- [8] **M R Bridson**, *Geodesics and curvature in metric simplicial complexes*, dans: "Group theory from a geometrical viewpoint" (E Ghys, A Haefliger, A Verjovsky, éditeurs) World Scientific (1991) 373{463
- [9] **M R Bridson, A Haefliger**, *Metric spaces of non-positive curvature*, Grund. math. Wiss. 319, Springer-Verlag (1998)
- [10] **K Brown**, *Buildings*, Springer-Verlag (1989)
- [11] **M Burger, S Mozes**, *Finitely presented simple groups and products of trees*, C. R. Acad. Sci. Paris, Ser. I, 324 (1997) 747{752
- [12] **R W Carter**, *Simple groups of Lie type*, Pure Appl. Math. 28, Wiley (1972)
- [13] **C Champetier**, *L'espace des groupes de type  $ni$* , a paraître dans Topology
- [14] **R Charney, M Davis**, *Singular metrics of nonpositive curvature on branched covers of Riemannian manifolds*, Amer. J. Math. 115 (1993) 929{1009
- [15] **M Davis**, *Groups generated by reflections and aspherical manifolds not covered by Euclidean space*, Annals of Math. 117 (1983) 293{324
- [16] **M Davis**, *Negative curvature and reflection groups*, to appear in Handbook of Geometric Topology
- [17] **M Davis, T Januszkiewicz, R Scott**, *Nonpositive curvature of blow-ups*, to appear in Selecta Math.
- [18] **J Dixon**, *The structure of linear groups*, Van Nostrand (1971)
- [19] **D Gaboriau, F Paulin**, *Sur les immeubles hyperboliques*, prepublication 18, Univ. Orsay (Janv 1998)
- [20] **E Ghys, P de La Harpe**, éditeurs, *Sur les groupes hyperboliques d'après Mikhael Gromov*, Prog. in Math. 83, Birkhäuser (1990)

- [21] **M Gromov**, *Hyperbolic groups*, dans: "Essays in group theory", (S Gersten, editeur) MSRI Pub. 8, Springer-Verlag (1987) 75-263
- [22] **A Haefliger**, *Complexes of groups and orbifolds*, dans: "Group theory from a geometrical viewpoint" (E Ghys, A Haefliger, A Verjovsky, editeurs) World Scientific (1991) 504-540
- [23] **F Haglund**, *Reseaux de Coxeter-Davis et commensurateurs*, Ann. Inst. Fourier 48 (1998) 649-666
- [24] **P de la Harpe**, *An invitation to Coxeter groups*, dans: "Group theory from a geometrical viewpoint", (E Ghys, A Haefliger, A Verjovsky, editeurs) World Scientific (1991) 193-253
- [25] **G Moussong**, *Hyperbolic Coxeter group*, Doctoral Dissertation, Ohio State University (1988)
- [26] **G Niblo, L Reeves**, *Groups acting on CAT(0) cube complexes*, Geometry and Topology 1 (1997) 1-7
- [27] **M A Ronan**, *Lectures on buildings*, Persp. Math. 7, Academic Press (1989)
- [28] **M Sageev**, *Ends of group pairs and non-positively curved cube complex*, Proc. London Math. Soc. 71 (1995) 585-617
- [29] **J-P Serre**, *Arbres, amalgames,  $SL_2$* , Asterisque 46, Soc. Math. France (1983)
- [30] **E H Spanier**, *Algebraic topology*, Tata-McGraw-Hill (1966)
- [31] **J Tits**, *Sur le groupe des automorphismes d'un arbre*, dans: "Essays on Topology (Memoires dediees a G de Rham)", Springer-Verlag (1970) 188-211

Laboratoire de Topologie et Dynamique URA 1169 CNRS  
 Université Paris-Sud  
 Bât. 425 (Mathématiques)  
 91405 ORSAY Cedex  
 FRANCE

Email: haglund@math.u-psud.fr, Frederic.Paulin@math.u-psud.fr

Received: 17 November 1997      Revised: 29 November 1998